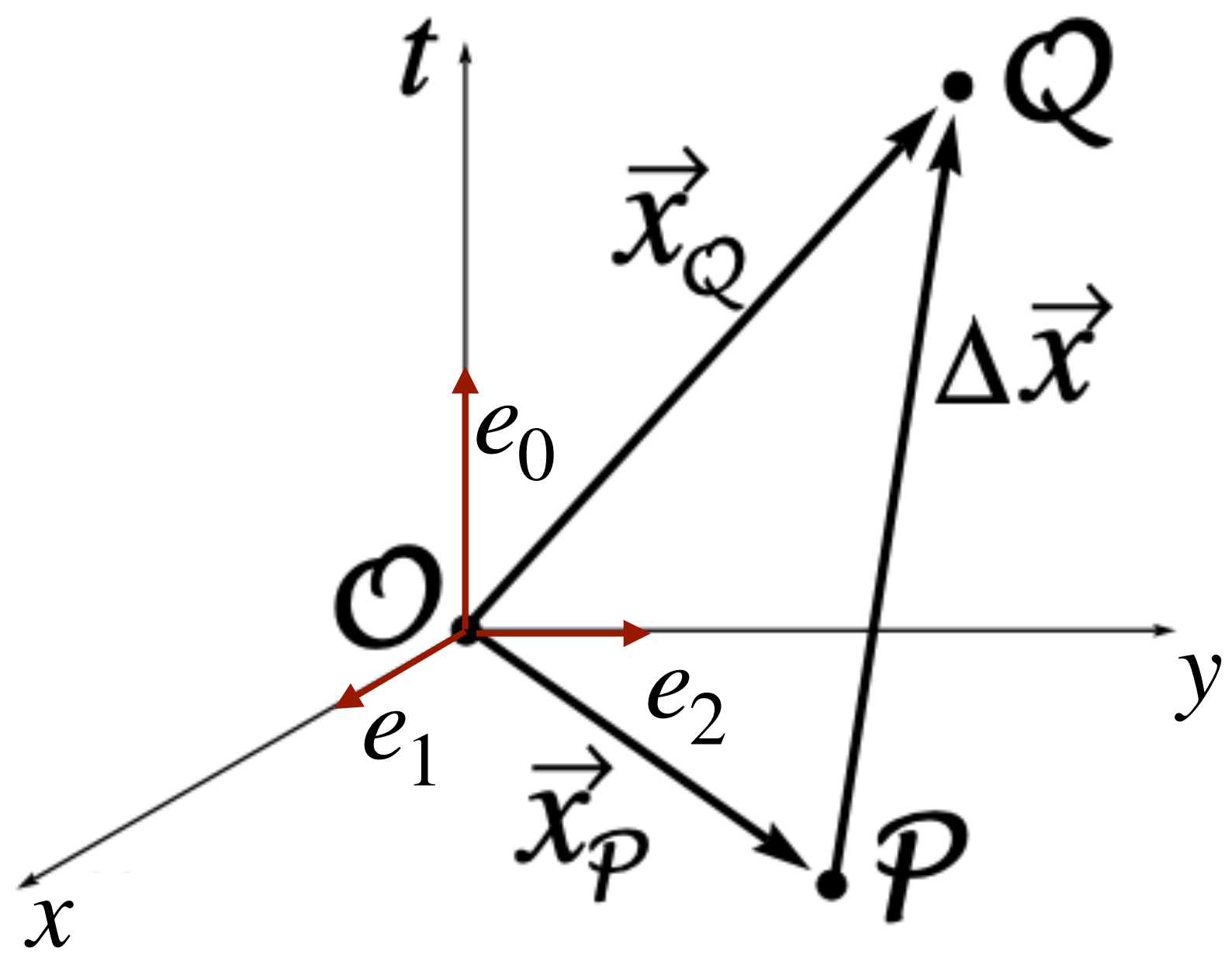


Alguns Aspectos Geométricos da Relatividade

O Espaço-Tempo de Minkowski



Espaço-Tempo de Minkowski: (\mathbb{R}^4, η)

A métrica η determina distâncias espaço-temporais:

$$\Delta s_{\mathcal{P}Q}^2 = \sum_{\mu, \nu} \eta_{\mu\nu} \Delta x_{\mathcal{P}Q}^{\mu} \Delta x_{\mathcal{P}Q}^{\nu}$$

além da estrutura causal do espaço-tempo (i.e., a relação causal entre os eventos).

Nas coordenadas cartesianas usuais (associadas à uma família de observadores inerciais):

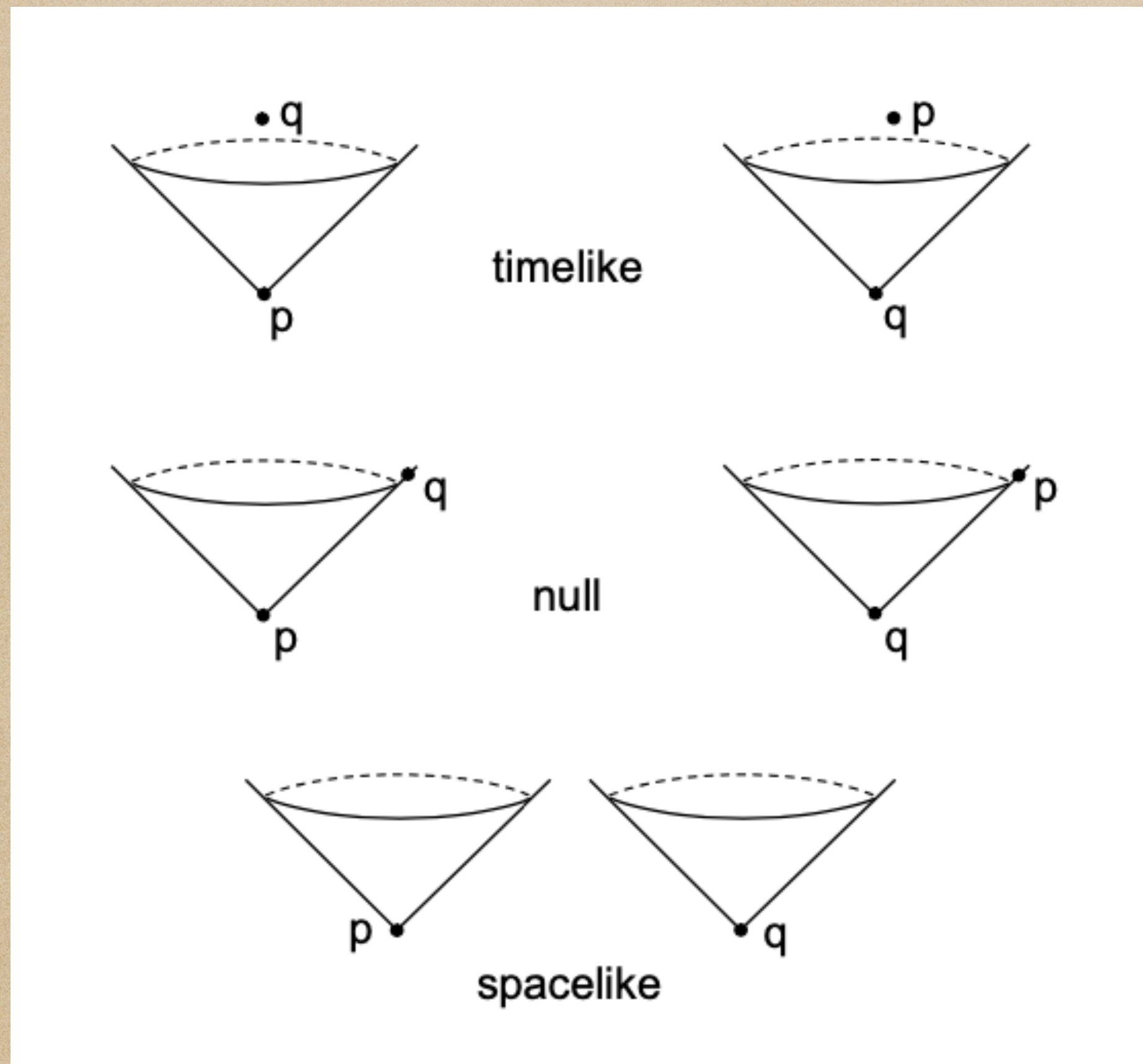
$$\Delta s_{\mathcal{P}Q}^2 = -\Delta t_{\mathcal{P}Q}^2 + \Delta \mathbf{x}^2 \rightarrow \eta_{\mu\nu} = \text{diag}(-+++)$$

$$x_Q = \sum_{\mu} x_Q^{\mu} e_{\mu} \quad x_P = \sum_{\mu} x_P^{\mu} e_{\mu}$$

$$\Delta x_{\mathcal{P}Q} = x_Q - x_P \equiv \sum_{\mu} \Delta x^{\mu} e_{\mu} = (\Delta t, \Delta \mathbf{x})$$

O Espaço-Tempo de Minkowski

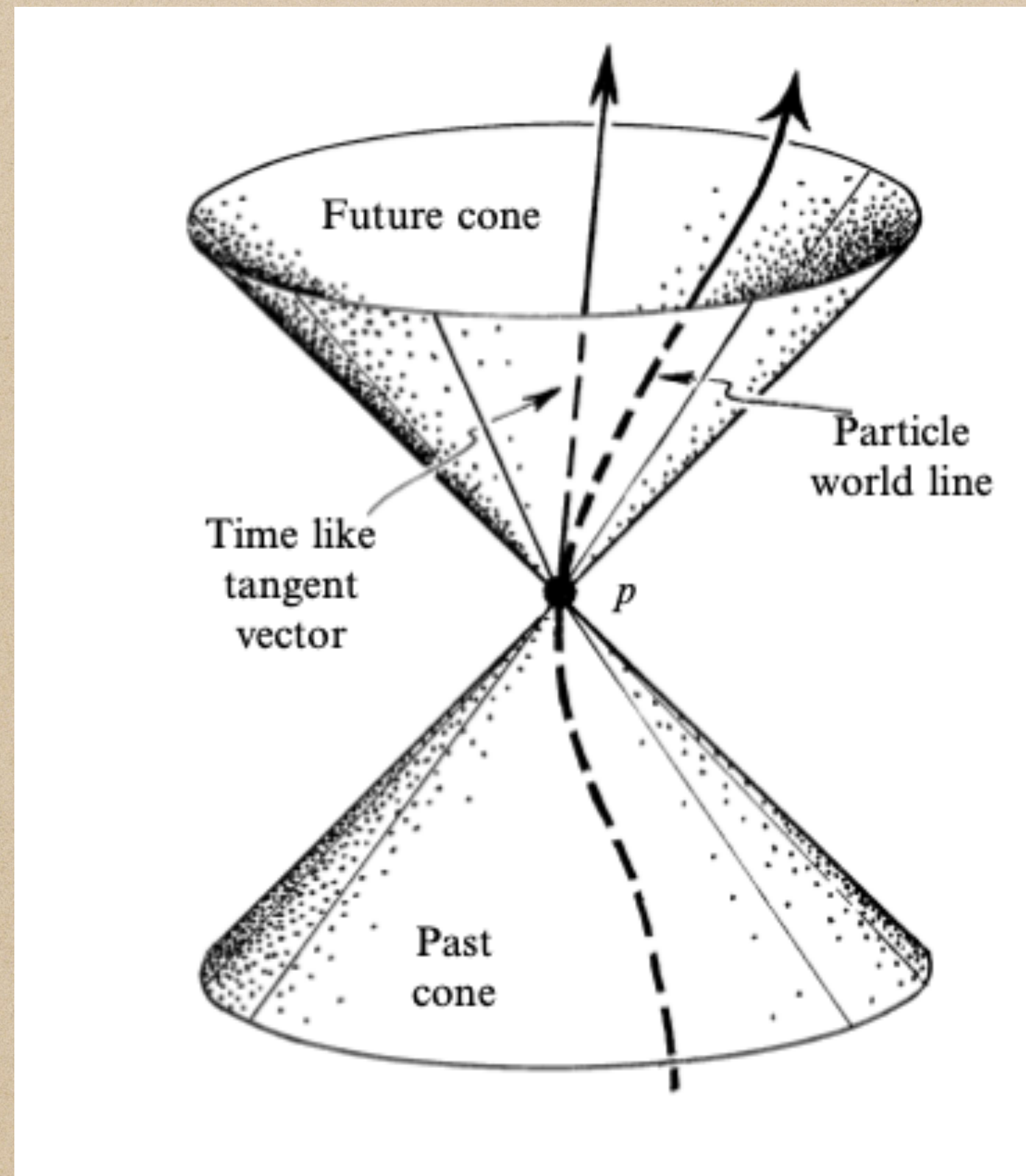
Espaço-Tempo de Minkowski: (\mathbb{R}^4, η)



- $\Delta s_{\mathcal{P}\mathcal{Q}}^2 < 0$: Eventos com separação tipo-tempo
- $\Delta s_{\mathcal{P}\mathcal{Q}}^2 = 0$: Eventos com separação tipo-luz
- $\Delta s_{\mathcal{P}\mathcal{Q}}^2 > 0$: Eventos com separação tipo-espaço

O Espaço-Tempo de Minkowski

Espaço-Tempo de Minkowski: (\mathbb{R}^4, η)



Se, para todos os pontos vizinhos \mathcal{P} e $\mathcal{Q} = \mathcal{P} + d\mathcal{P}$ ao longo de uma curva no espaço-tempo satisfaz:

$ds_{\mathcal{P}\mathcal{Q}}^2 < 0 \rightarrow$ Curva tipo-tempo

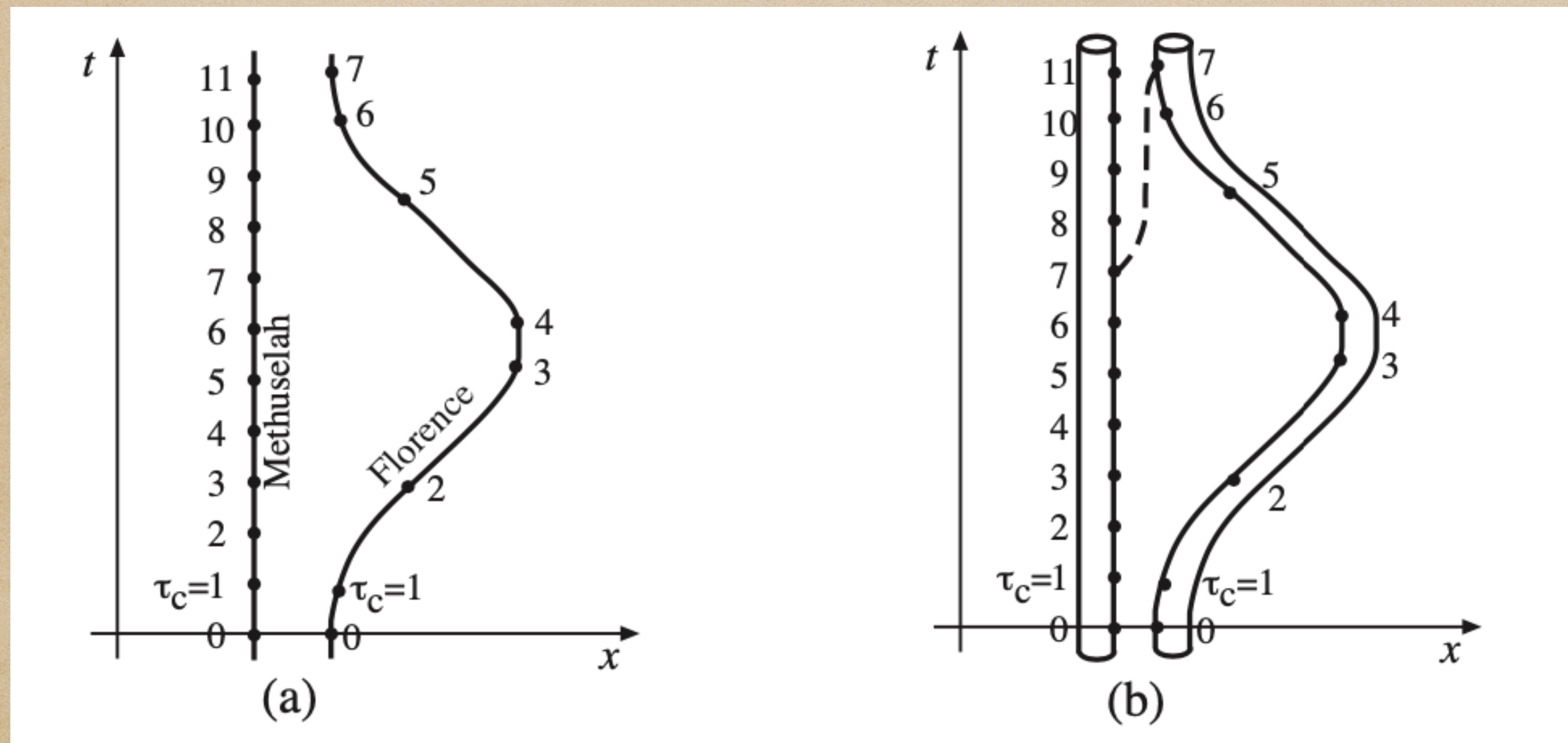
$ds_{\mathcal{P}\mathcal{Q}}^2 = 0 \rightarrow$ Curva tipo-luz

$ds_{\mathcal{P}\mathcal{Q}}^2 > 0 \rightarrow$ Curva tipo-espaço

Partículas com massa: movem-se em curvas tipo-tempo (chamadas de linhas de mundo)

Partículas sem massa: movem-se em curvas tipo-luz

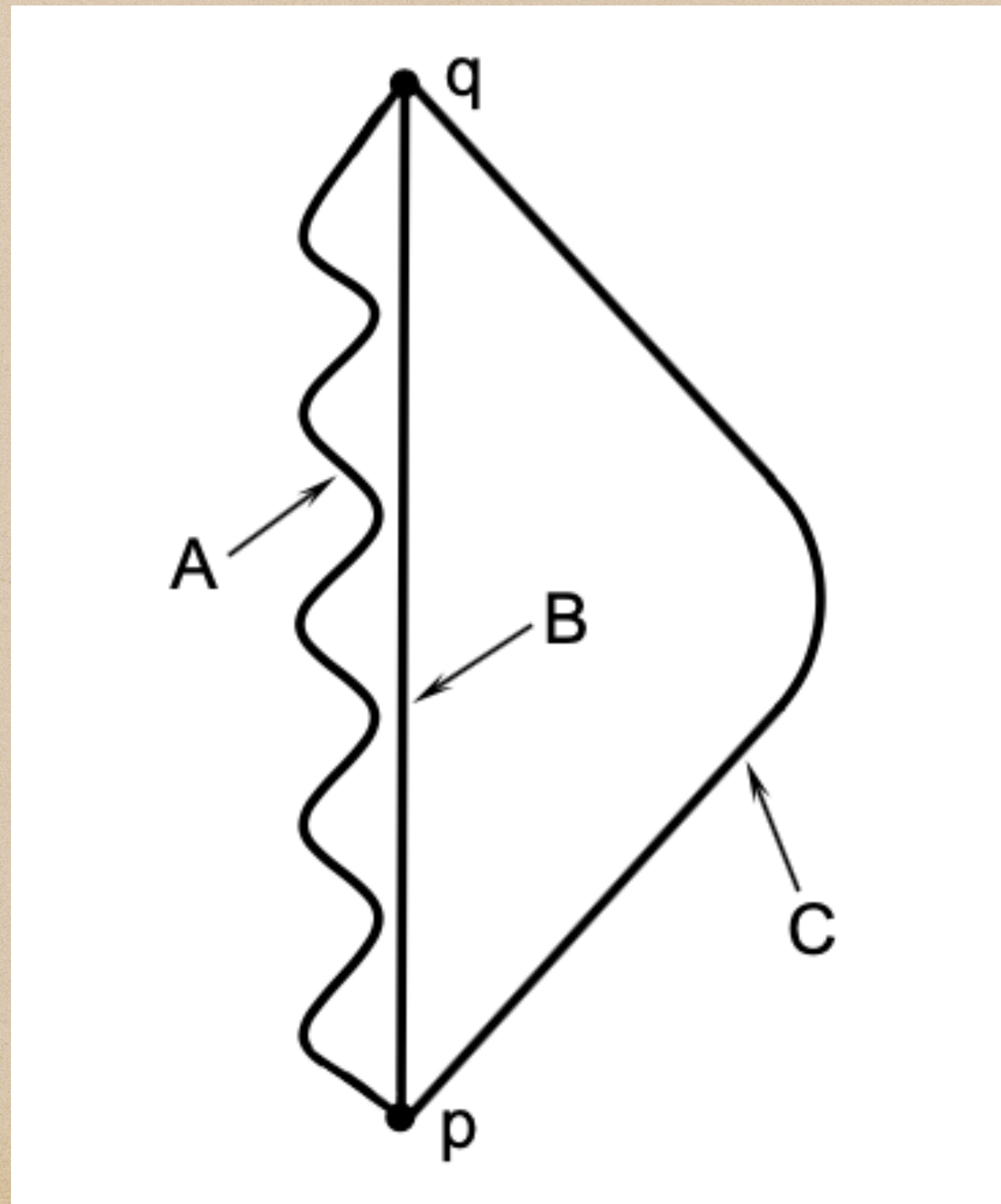
O Espaço-Tempo de Minkowski



Tempo-próprio: Comprimento de uma curva tipo-tempo γ que vai de um evento \mathcal{P} a um evento \mathcal{Q} [é o tempo medido por relógios honestos carregados pelo observador]

$$\tau = \int_{\gamma} \sqrt{-ds^2} = \int_{\lambda_{\mathcal{P}}}^{\lambda_{\mathcal{Q}}} \sqrt{-\sum_{\mu,\nu} \eta_{\mu\nu} \frac{dx^{\mu}}{d\lambda} \frac{dx^{\nu}}{d\lambda}} d\lambda$$

O Espaço-Tempo de Minkowski



O Espaço-Tempo de Minkowski

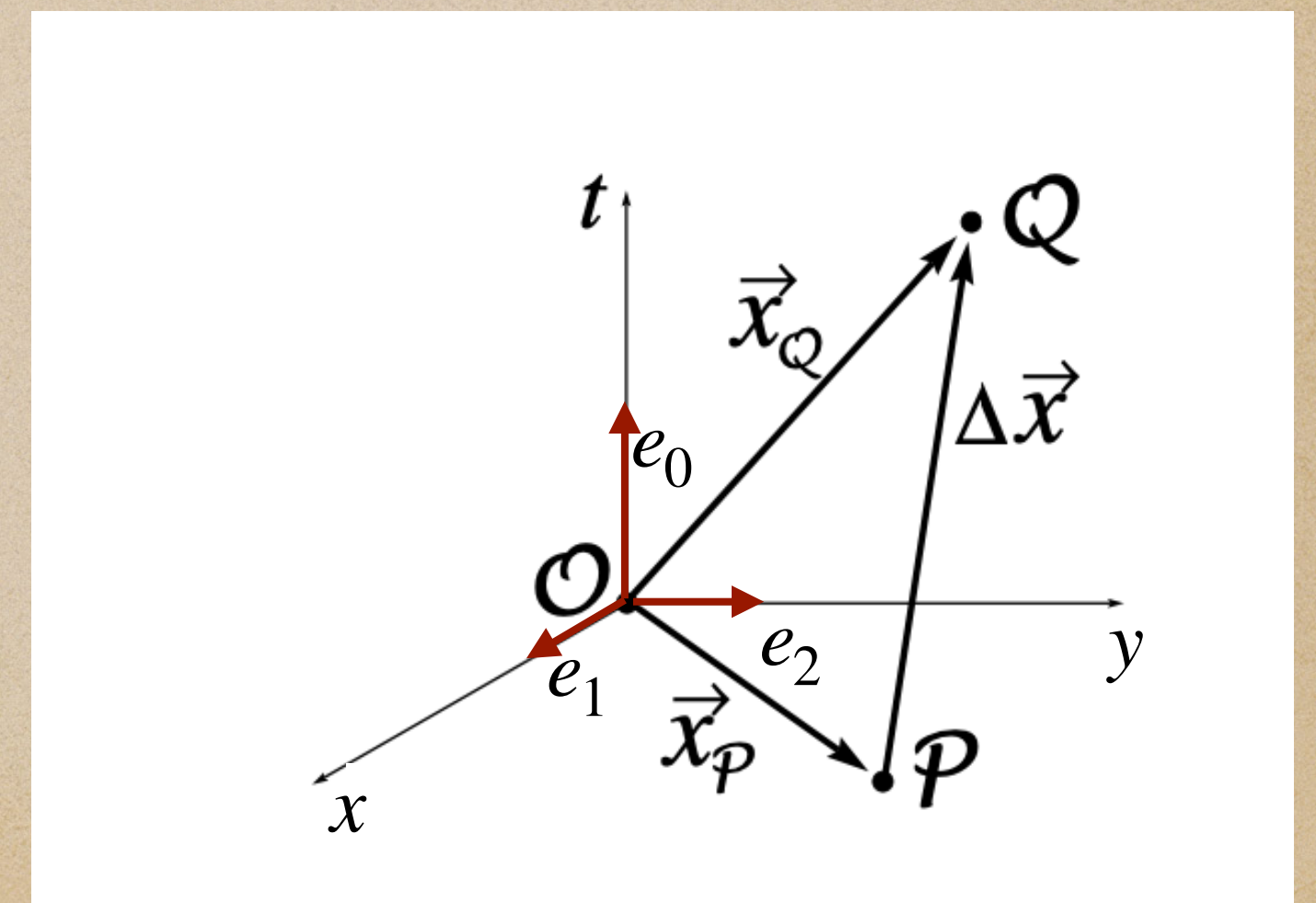
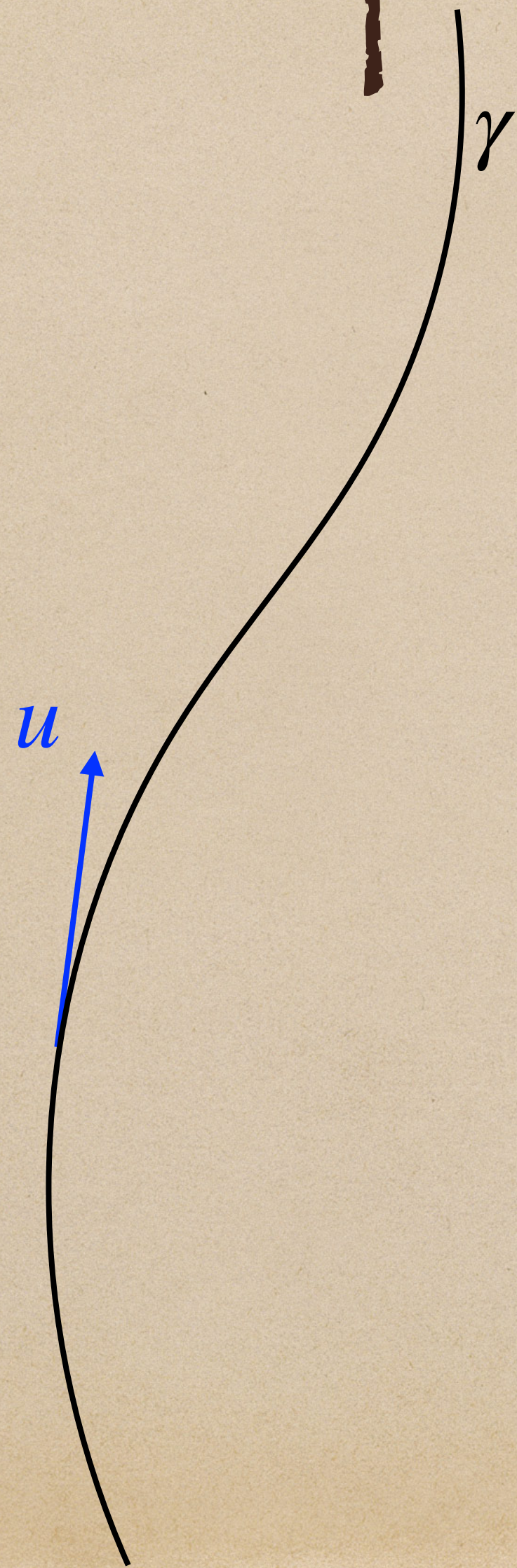
Espaço-Tempo de Minkowski: (\mathbb{R}^4, η)

Se a curva γ é parametrizada pelo tempo-próprio τ então

$$u = \frac{d\gamma}{d\tau} = \sum_{\mu} \frac{dx^{\mu}}{d\tau} e_{\mu}, \quad u^{\mu} = \frac{dx^{\mu}}{d\tau},$$

é chamada de 4-velocidade. Nesse caso

$$\sum_{\mu, \nu} \eta_{\mu\nu} u^{\mu} u^{\nu} \equiv \sum_{\mu, \nu} \eta_{\mu\nu} \frac{dx^{\mu}}{d\tau} \frac{dx^{\nu}}{d\tau} = -1$$



O Espaço-Tempo de Minkowski

Espaço-Tempo de Minkowski: (\mathbb{R}^4, η)

A métrica η pode ser vista como um "produto escalar" (sem a condição de positividade). Assim

$$\eta_{\mu\nu} \equiv \eta(e_\mu, e_\nu) \equiv \langle e_\mu, e_\nu \rangle_\eta$$

e então

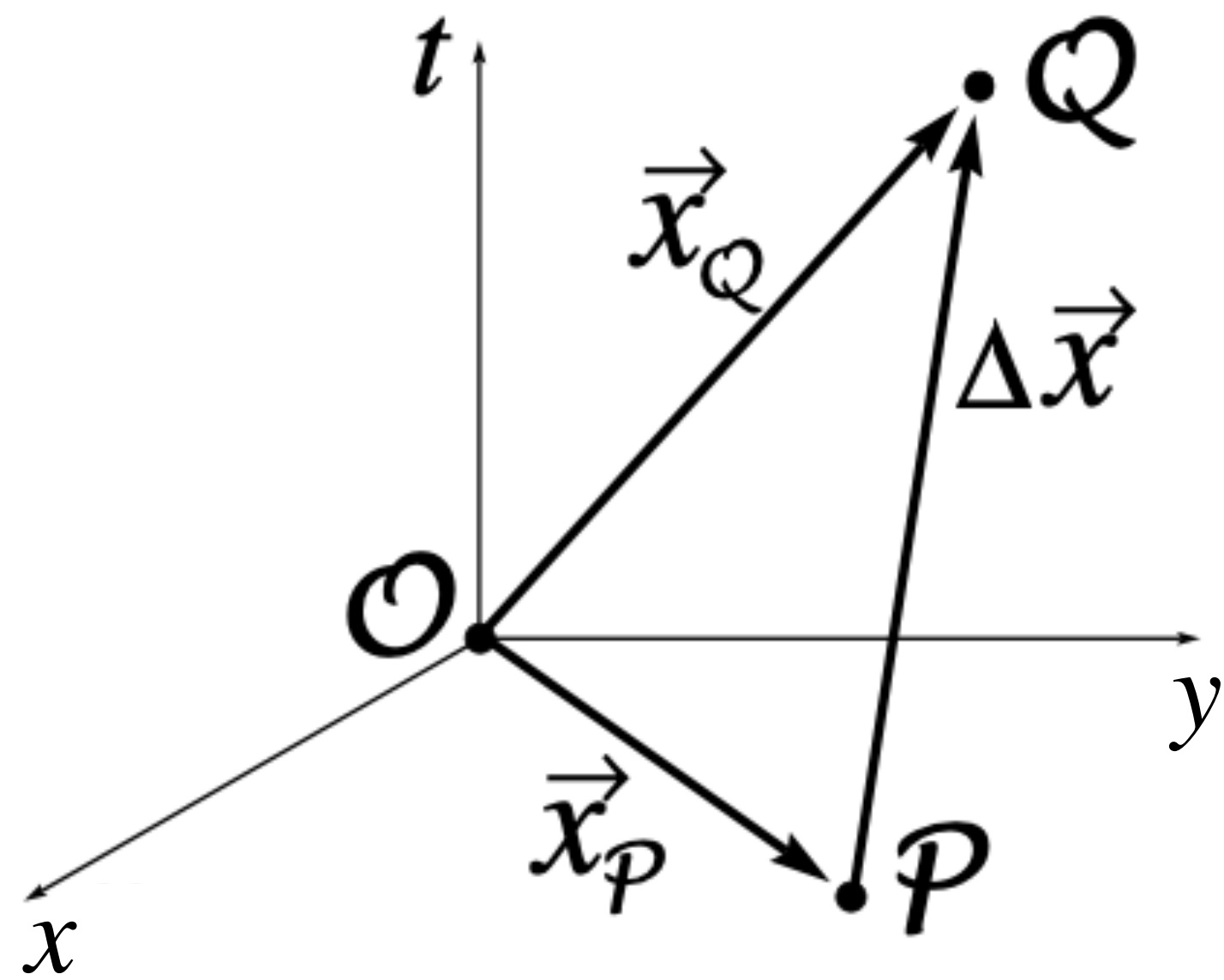
$$\Delta s_{\mathcal{P}Q}^2 = \sum_{\mu, \nu} \eta_{\mu\nu} \Delta x_{\mathcal{P}Q}^\mu \Delta x_{\mathcal{P}Q}^\nu = \eta(\Delta x_{\mathcal{P}Q}, \Delta x_{\mathcal{P}Q})$$

ou ainda

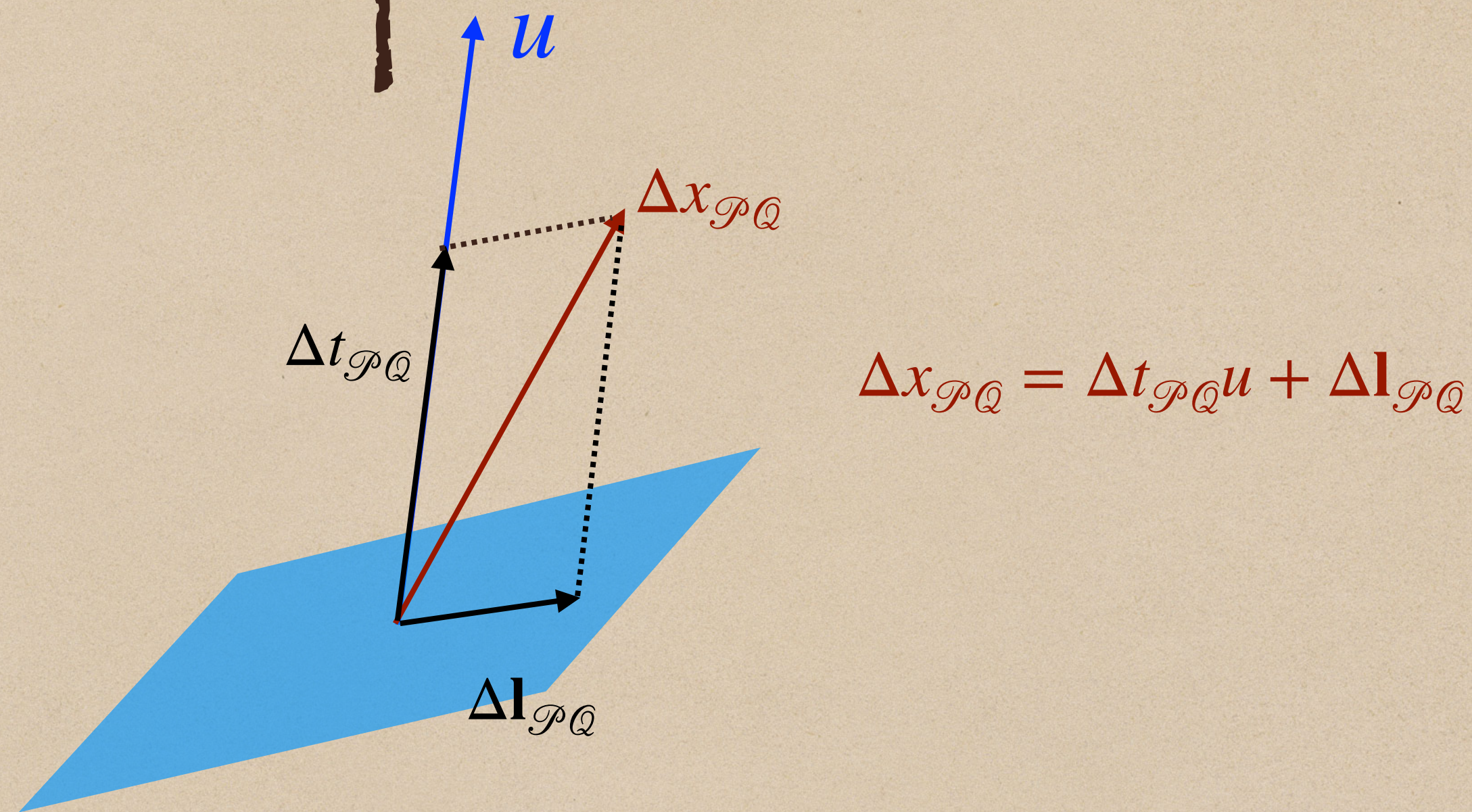
$$-1 = \eta(u, u) = \sum_{\mu, \nu} \eta_{\mu\nu} u^\mu u^\nu,$$

com

$$u = \sum_{\mu} u^\mu e_\mu = \sum_{\mu} \frac{dx^\mu}{d\tau} e_\mu$$



O Espaço-Tempo de Minkowski



Usando η como um "produto escalar" podemos "separar" os invariantes espaço-temporais nas quantidades usuais de tempo e espaço, energia e momento, etc. às quais estamos mais habituados.

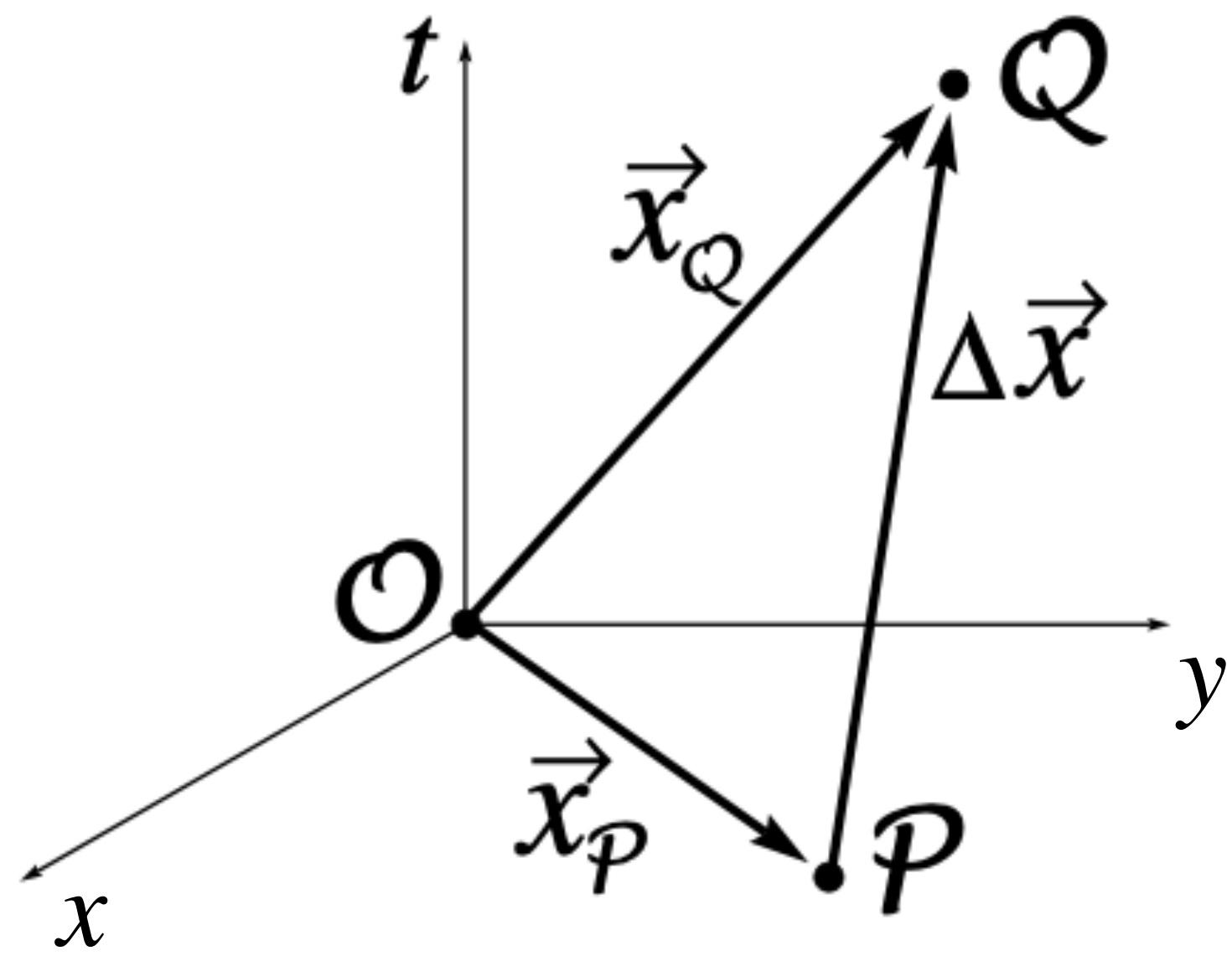
Intervalo de tempo entre \mathcal{P} e \mathcal{Q} como visto por um observador com 4-velocidade u : $\Delta t_{PQ} = -\eta(u, \Delta x_{PQ})$

Direções espaciais associadas a um observador com 4-velocidade u : 4-vetores \mathbf{l} tal que $\eta(u, \mathbf{l}) = 0$

Distância espacial entre \mathcal{P} e \mathcal{Q} como visto por um observador com 4-velocidade u : $\Delta l_{PQ} = \sqrt{\eta(\Delta \mathbf{l}_{PQ}, \Delta \mathbf{l}_{PQ})}$

onde $\Delta \mathbf{l}_{PQ} \equiv \Pi_u \Delta x_{PQ} \equiv \eta(u, \Delta x_{PQ}) u + \Delta x_{PQ}$

O Espaço-Tempo de Minkowski



Intervalo de tempo entre \$\mathcal{P}\$ e \$\mathcal{Q}\$ como visto por um observador com 4-velocidade \$u = e_0\$: $\Delta t_{\mathcal{P}\mathcal{Q}} = -\eta(e_0, \Delta x_{\mathcal{P}\mathcal{Q}}) = \Delta t$

Direções espaciais associadas a um observador com 4-velocidade \$u = e_0\$: 4-vetores \$\mathbf{l}\$ tal que $\eta(e_0, \mathbf{l}) = 0 \rightarrow \mathbf{l} = \sum_j l^j e_j$

Distância espacial entre \$\mathcal{P}\$ e \$\mathcal{Q}\$ como visto por um observador com 4-velocidade \$u = e_0\$: $\Delta l_{\mathcal{P}\mathcal{Q}} = \sqrt{\eta(\Delta \mathbf{l}_{\mathcal{P}\mathcal{Q}}, \Delta \mathbf{l}_{\mathcal{P}\mathcal{Q}})} = \sum (\Delta x^j)^2 \equiv \Delta \mathbf{x}^2$

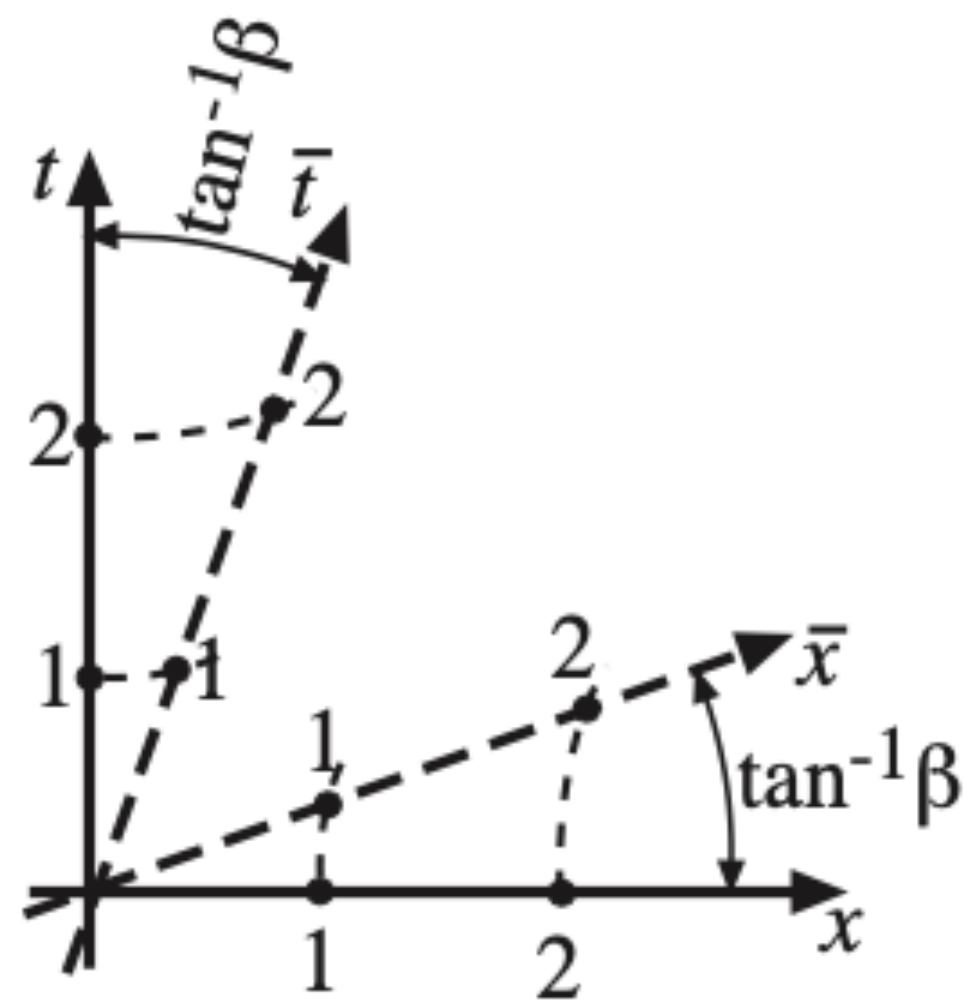
onde $\Delta \mathbf{l}_{\mathcal{P}\mathcal{Q}} \equiv \Pi_u \Delta x_{\mathcal{P}\mathcal{Q}} \equiv \eta(e_0, \Delta x_{\mathcal{P}\mathcal{Q}}) e_0 + \Delta x_{\mathcal{P}\mathcal{Q}} = \sum_j \Delta x^j e_j$

$$x_{\mathcal{Q}} = \sum_{\mu} x_{\mathcal{Q}}^{\mu} e_{\mu}$$

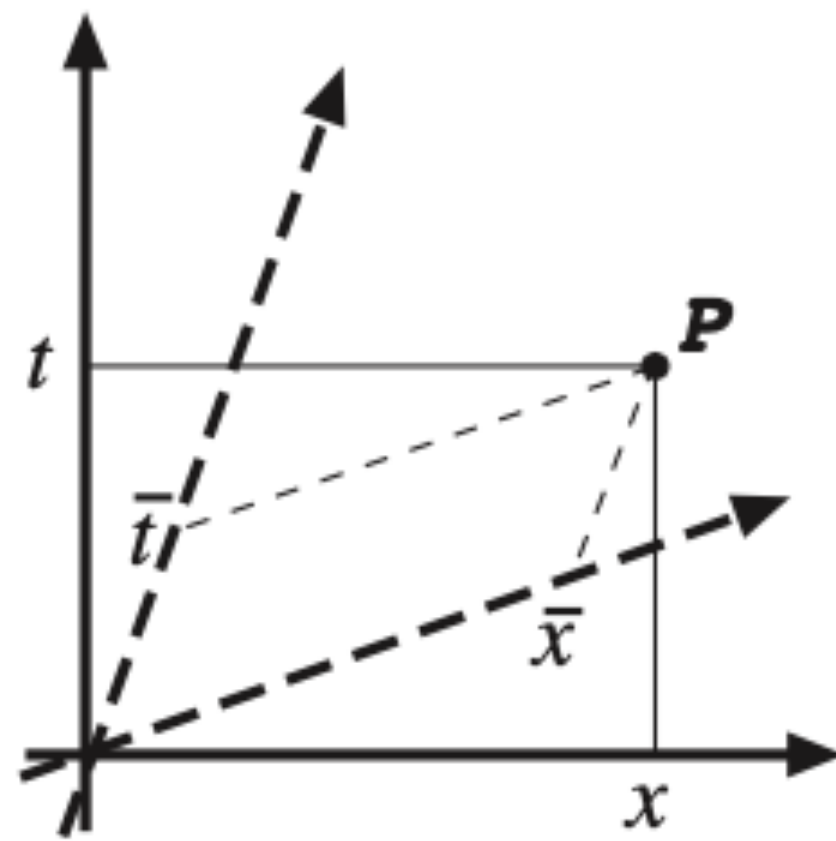
$$x_{\mathcal{P}} = \sum_{\mu} x_{\mathcal{P}}^{\mu} e_{\mu}$$

$$\Delta x_{\mathcal{P}\mathcal{Q}} = x_{\mathcal{P}} - x_{\mathcal{Q}} \equiv \sum_{\mu} \Delta x^{\mu} e_{\mu} = (\Delta t, \Delta \mathbf{x})$$

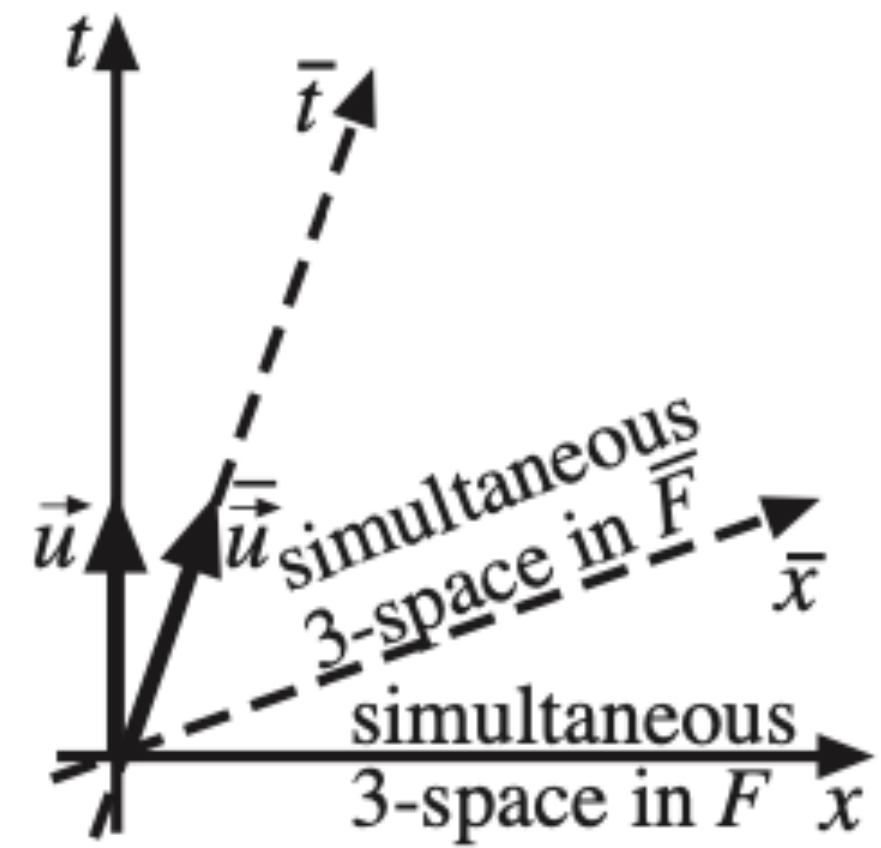
O Espaço-Tempo de Minkowski



(a)

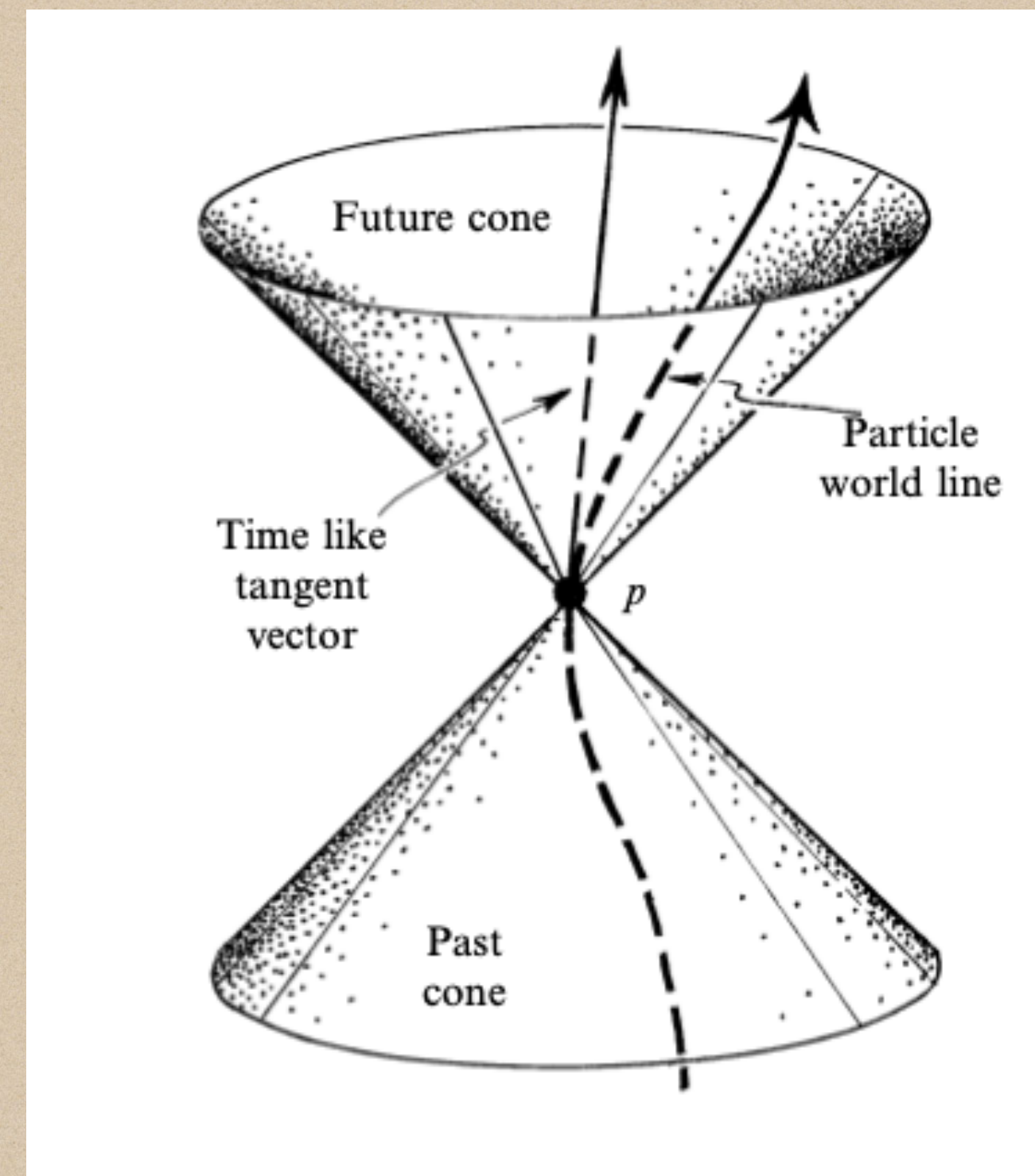
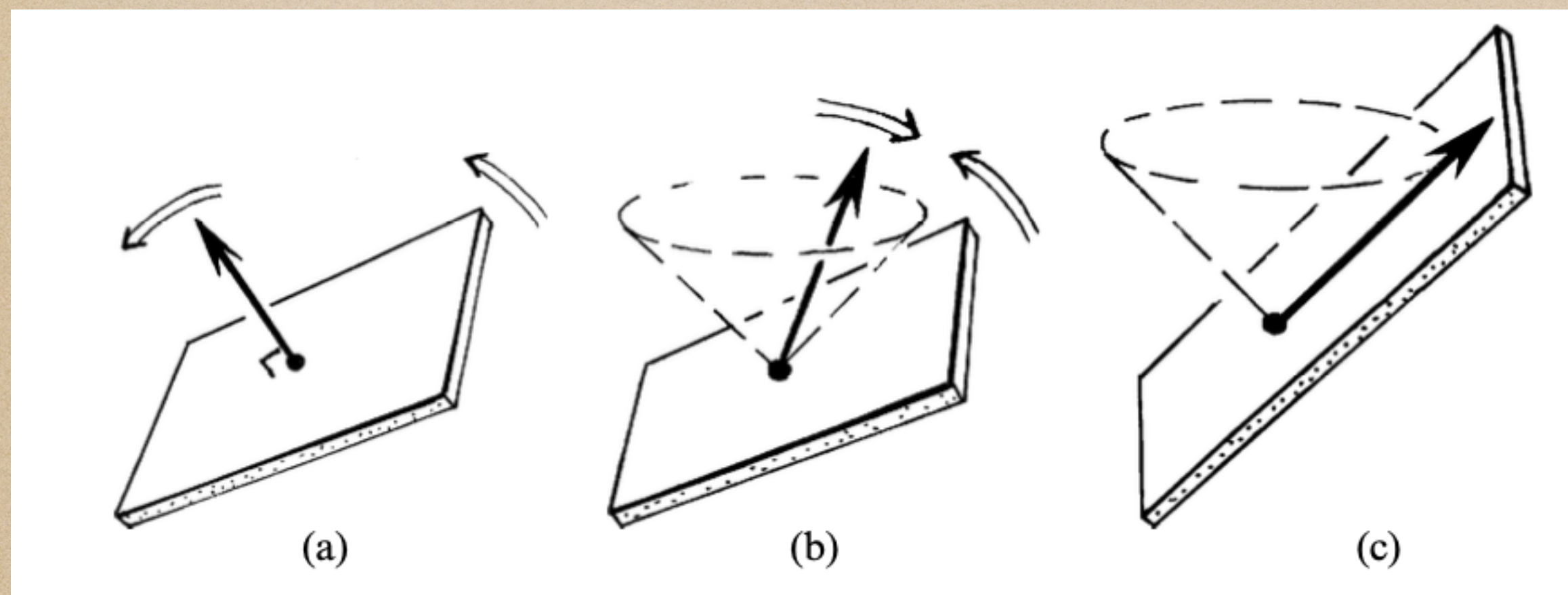


(b)



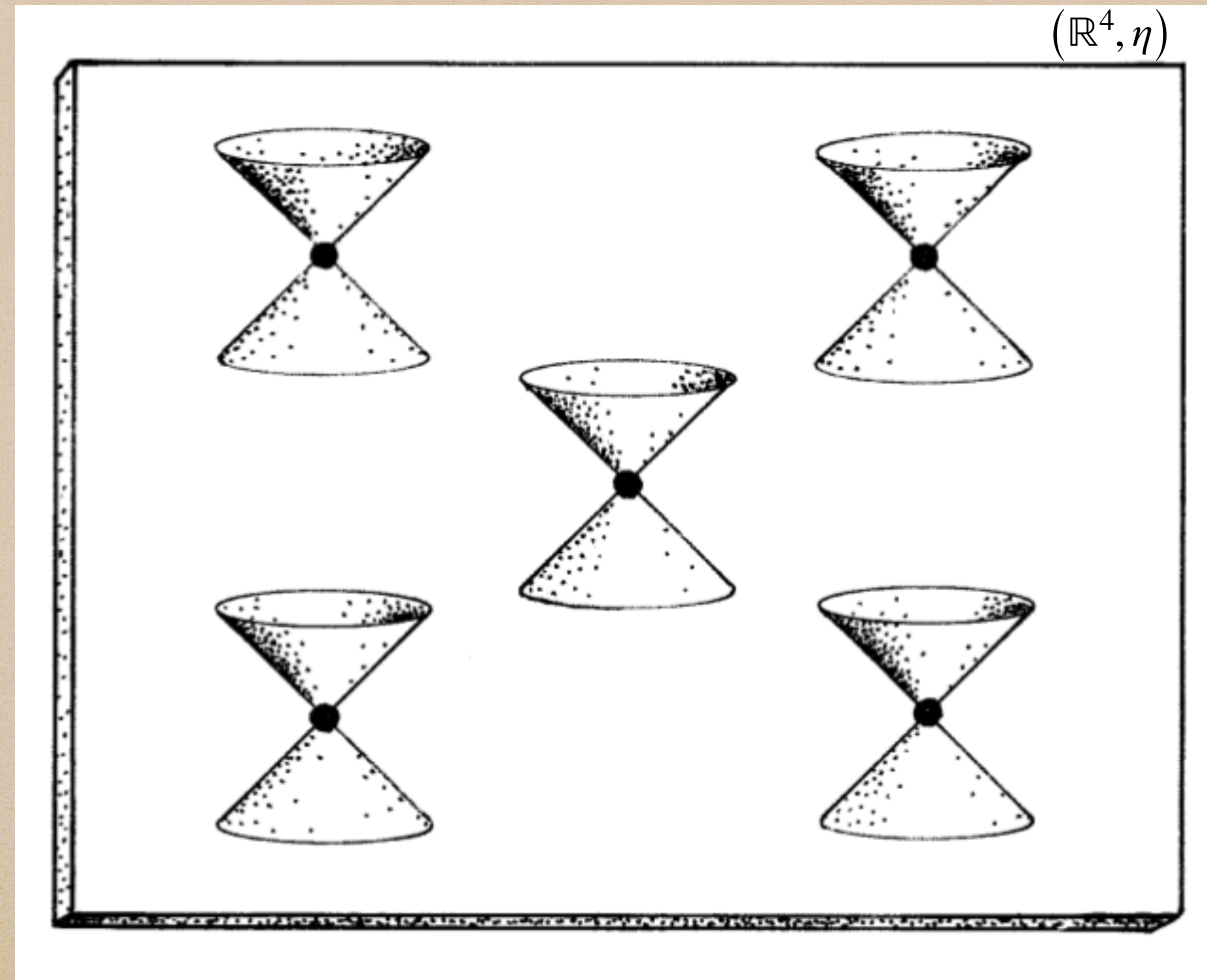
(c)

O Espaço-Tempo de Minkowski

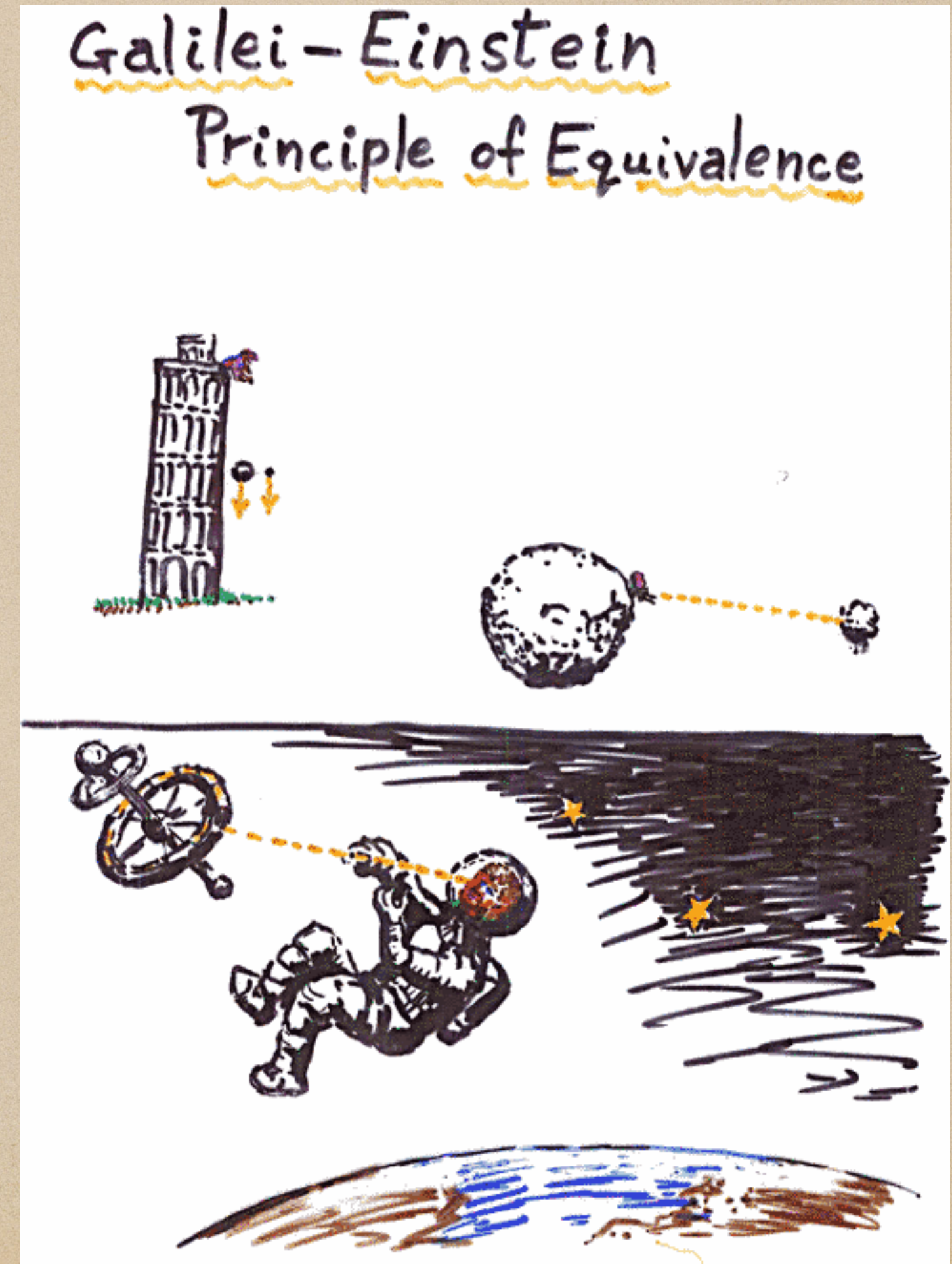
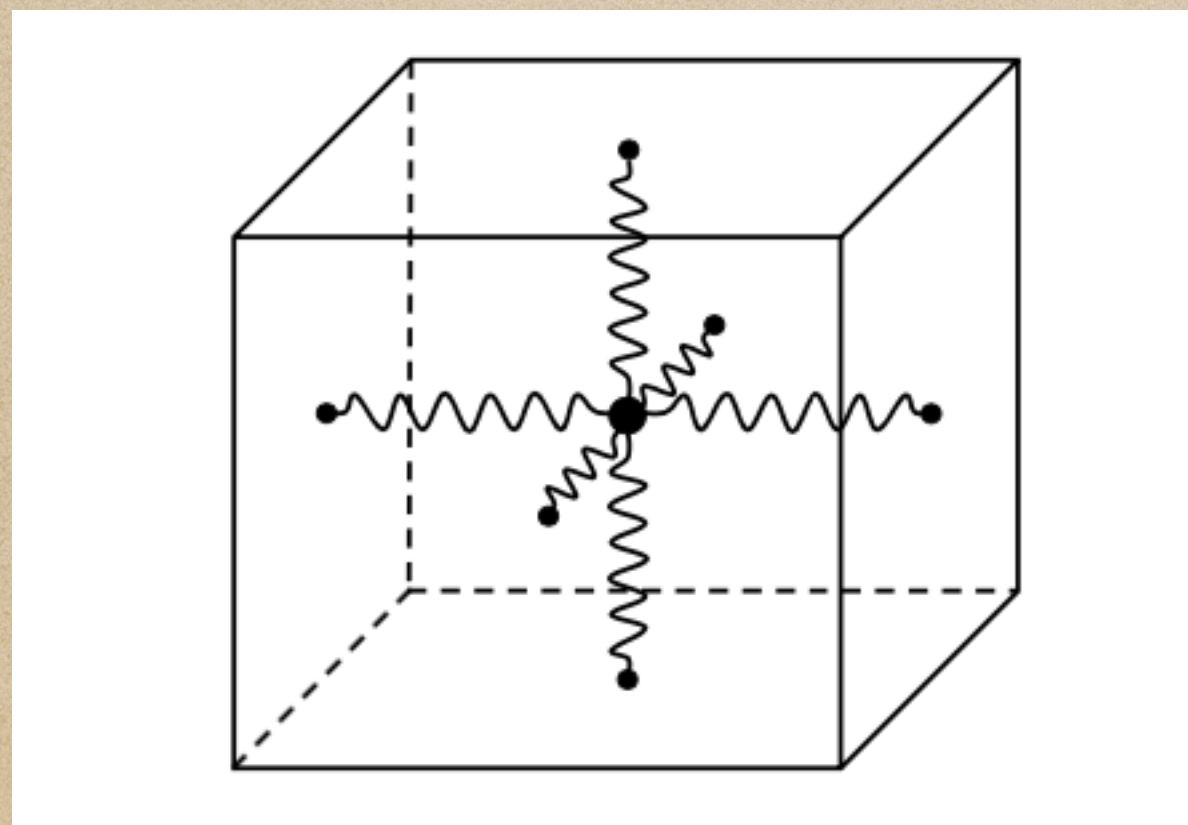
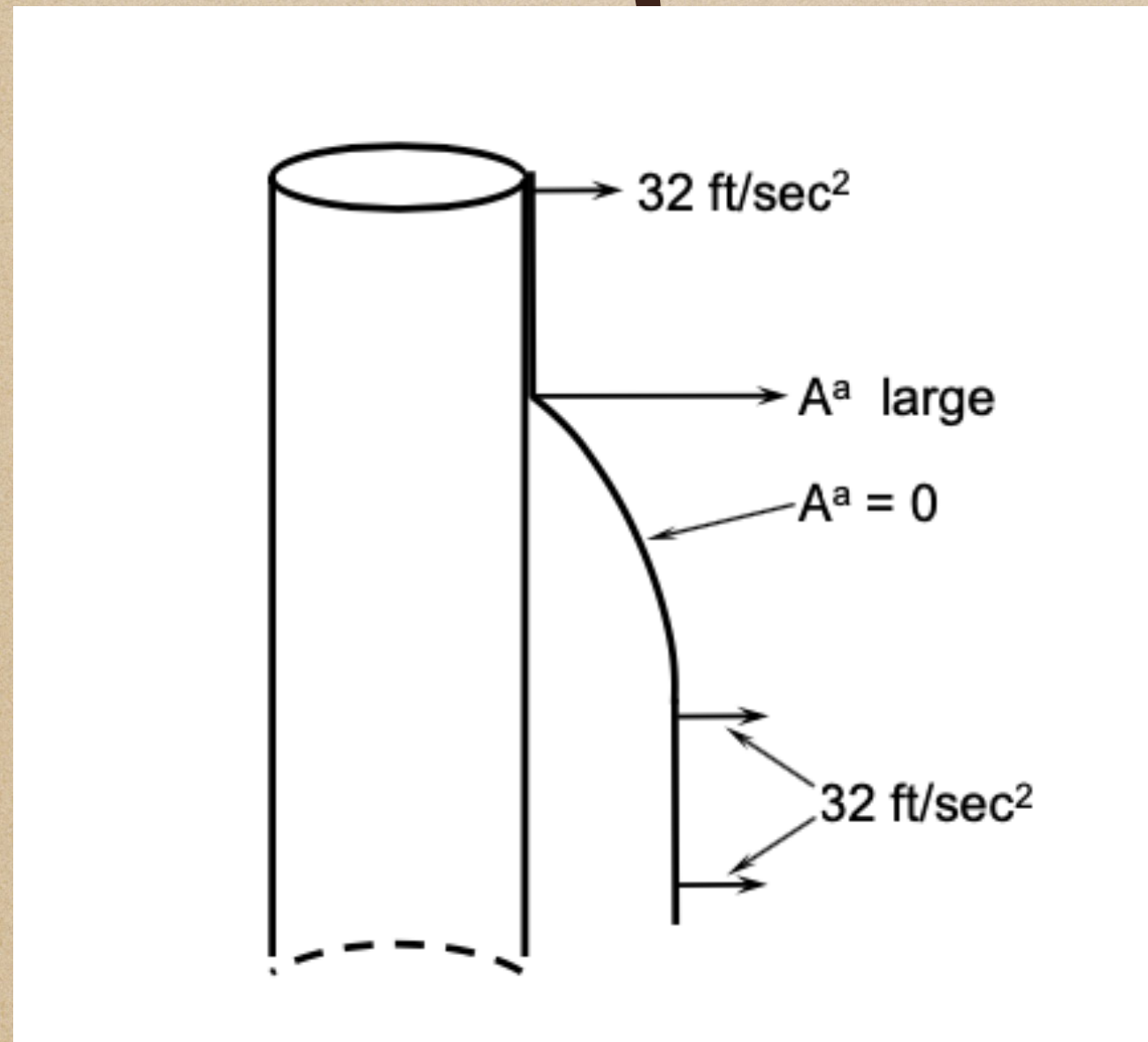


Cone de Luz de um evento P : Conjunto dos 4-vetores L com $\eta(L, L) = 0$

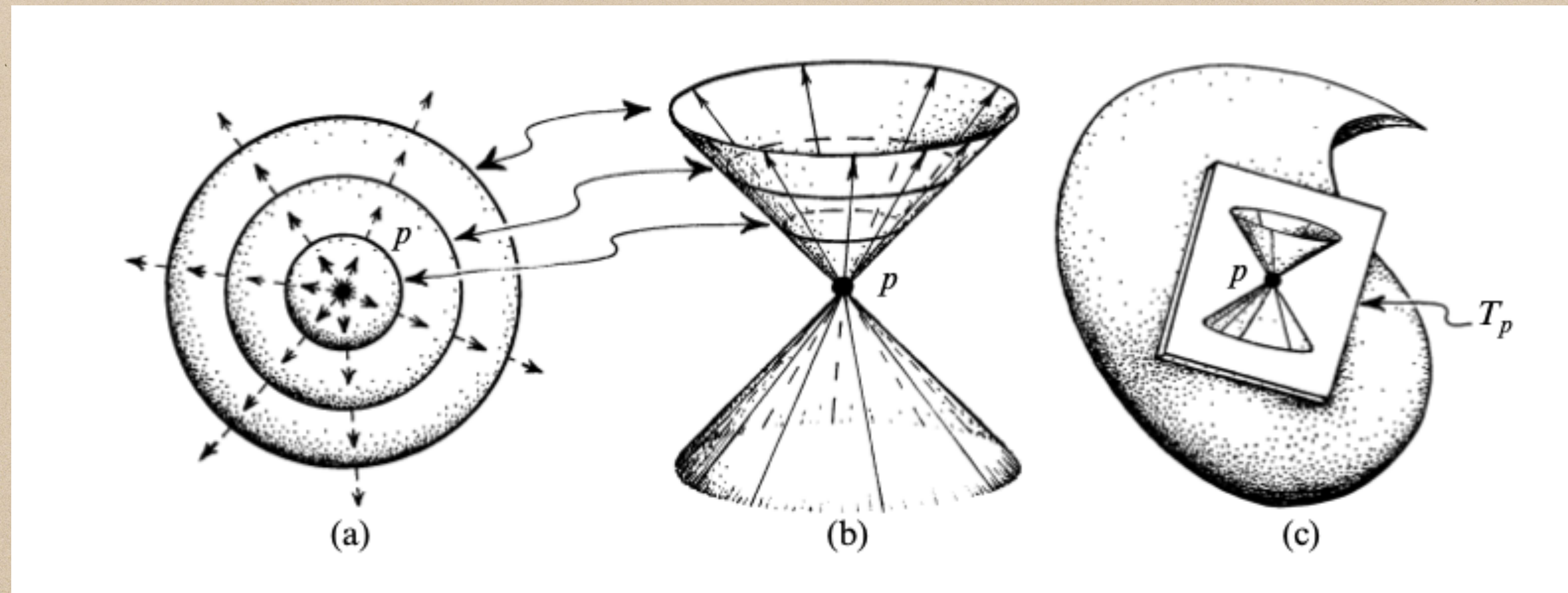
O Espaço-Tempo de Minkowski



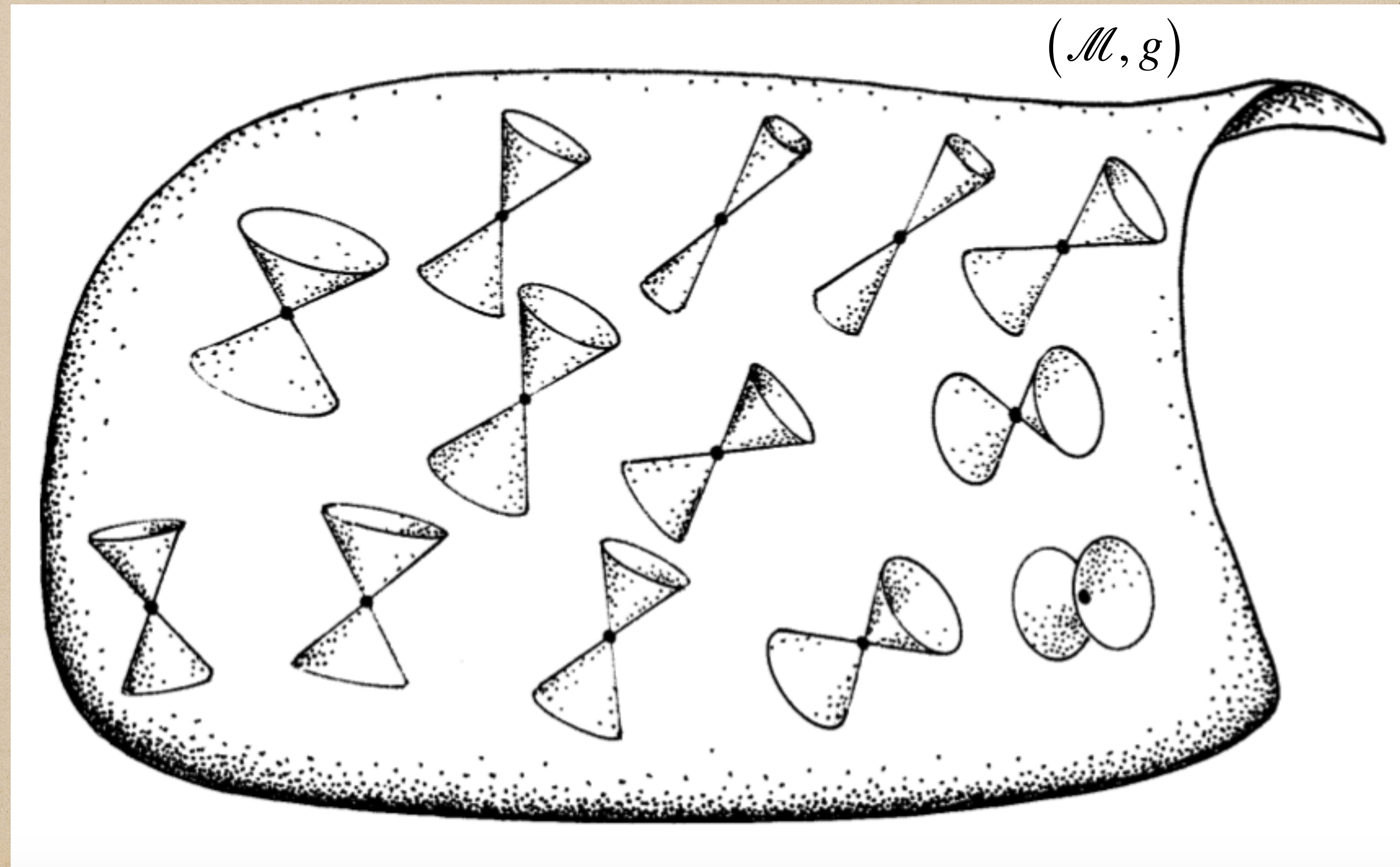
Espaços-Tempos Gerais



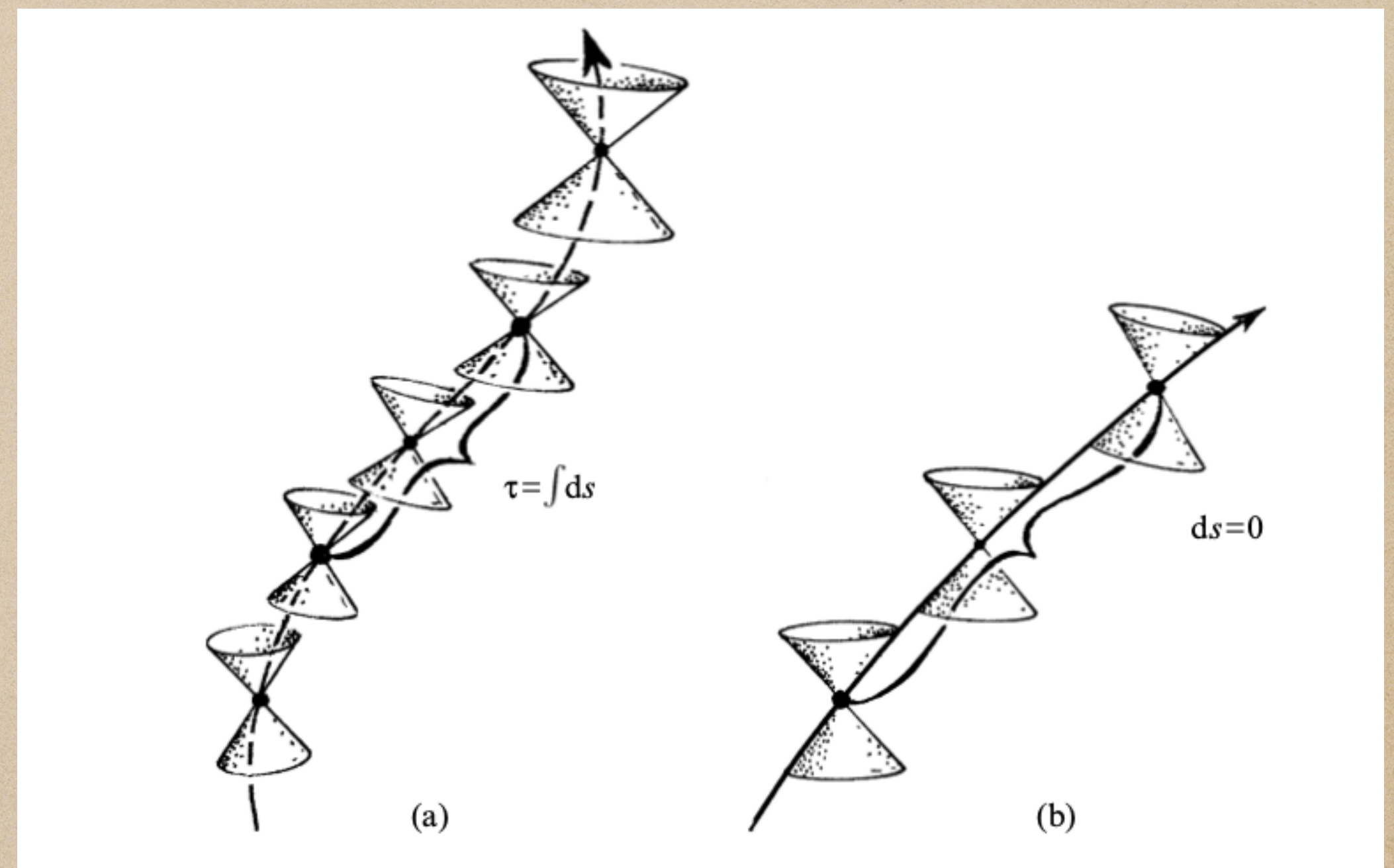
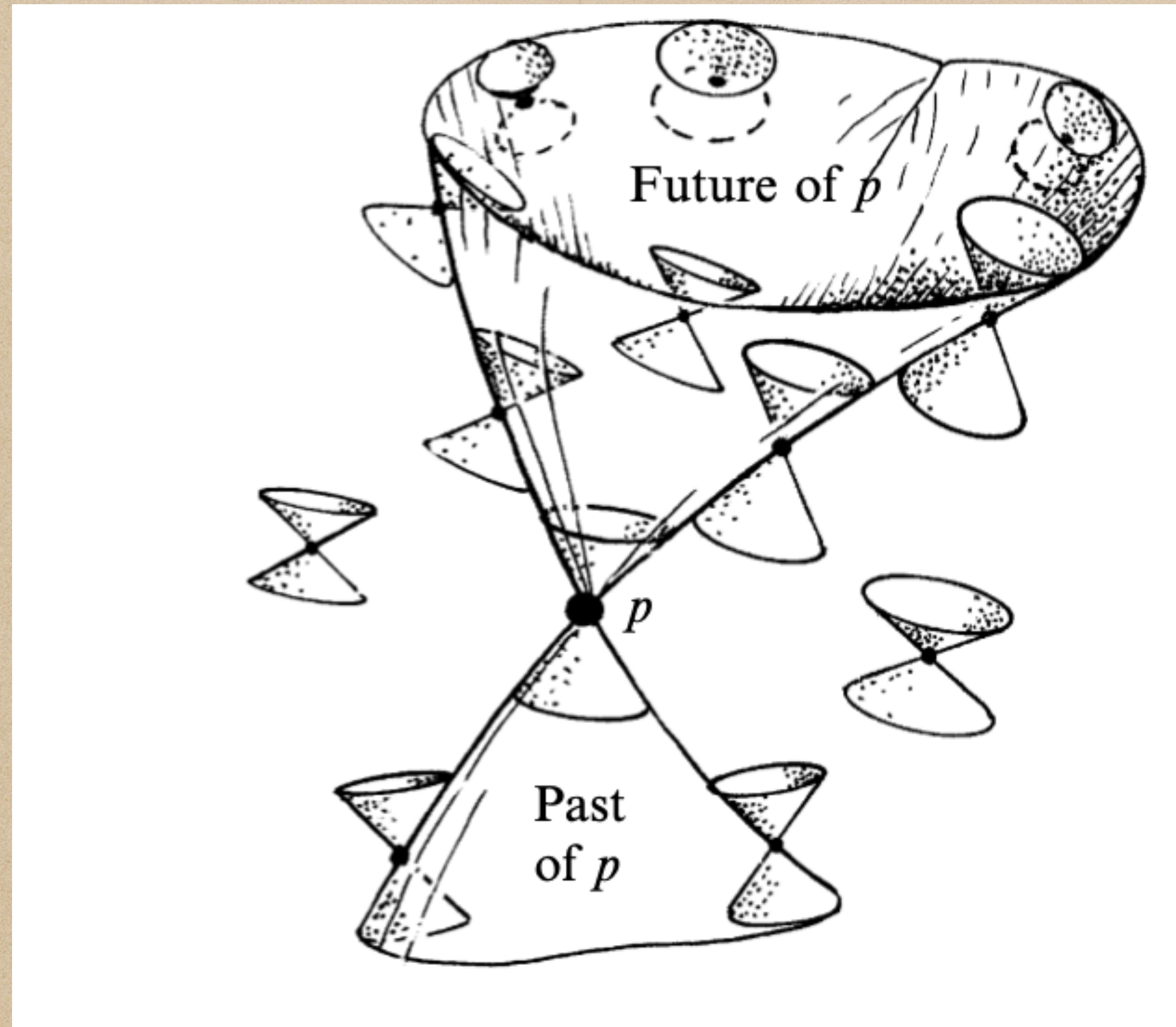
Espaços-Tempos Gerais



Espaços-Tempos Gerais



Espaços-Tempos Gerais



Vetores Tangentes

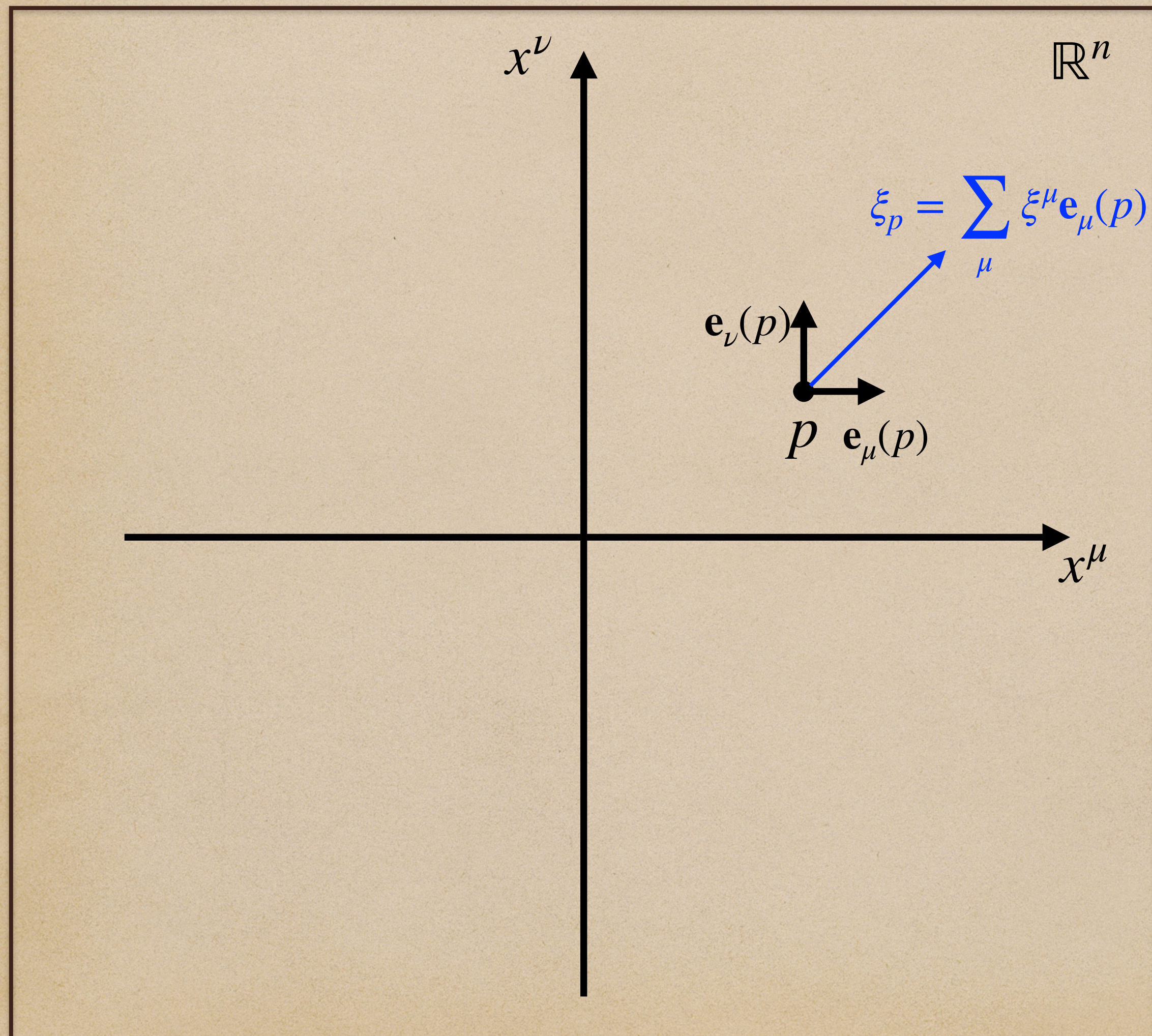
Motivação: Tomemos $\mathcal{M} = \mathbb{R}^n$

(1) Dado um vetor ξ_p em p , podemos calcular a derivada direcional de qualquer função ao longo de ξ_p no ponto p : $D_{\xi_p} f \equiv \xi_p \cdot \nabla f = \sum_{\mu} \xi^{\mu} \frac{\partial f}{\partial x^{\mu}}(p)$

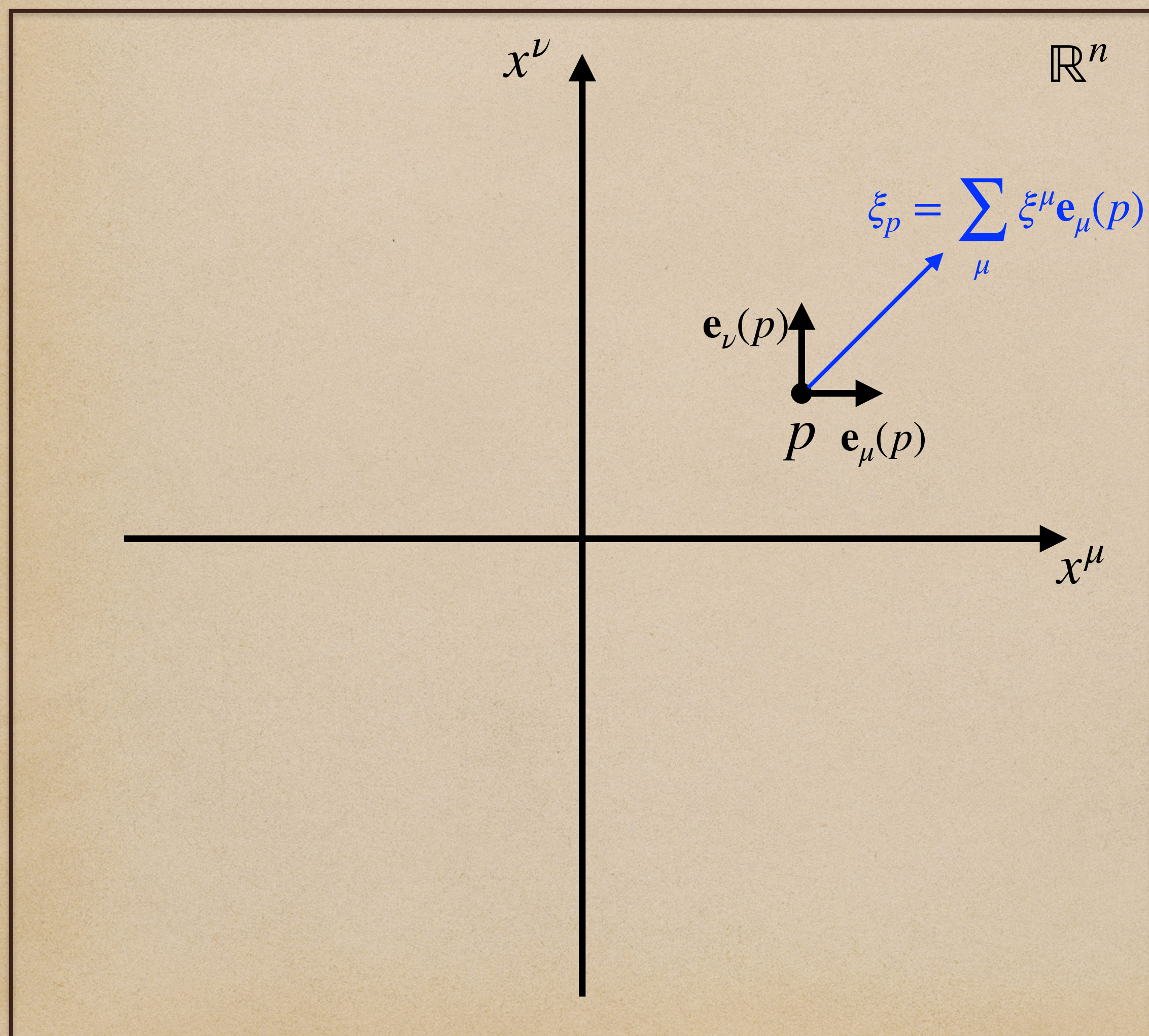
(2) Recíprocamente, se dermos como a derivada direcional D_{ξ_p} no ponto p age em qualquer função f , isso determina univocamente o vetor ξ_p : Tome x^{μ} (que é uma função em \mathbb{R}^n), então

$$c^{\mu} \equiv D_{\xi_p} x^{\mu} = \sum_{\nu} \xi^{\nu} \frac{\partial x^{\mu}}{\partial x^{\nu}} = \xi^{\mu}. \text{ Assim, fazendo isso}$$

para todo $\mu = 1, \dots, n$, determinamos todas as componentes de ξ_p e assim, tal vetor fica determinado univocamente



Vetores Tangentes

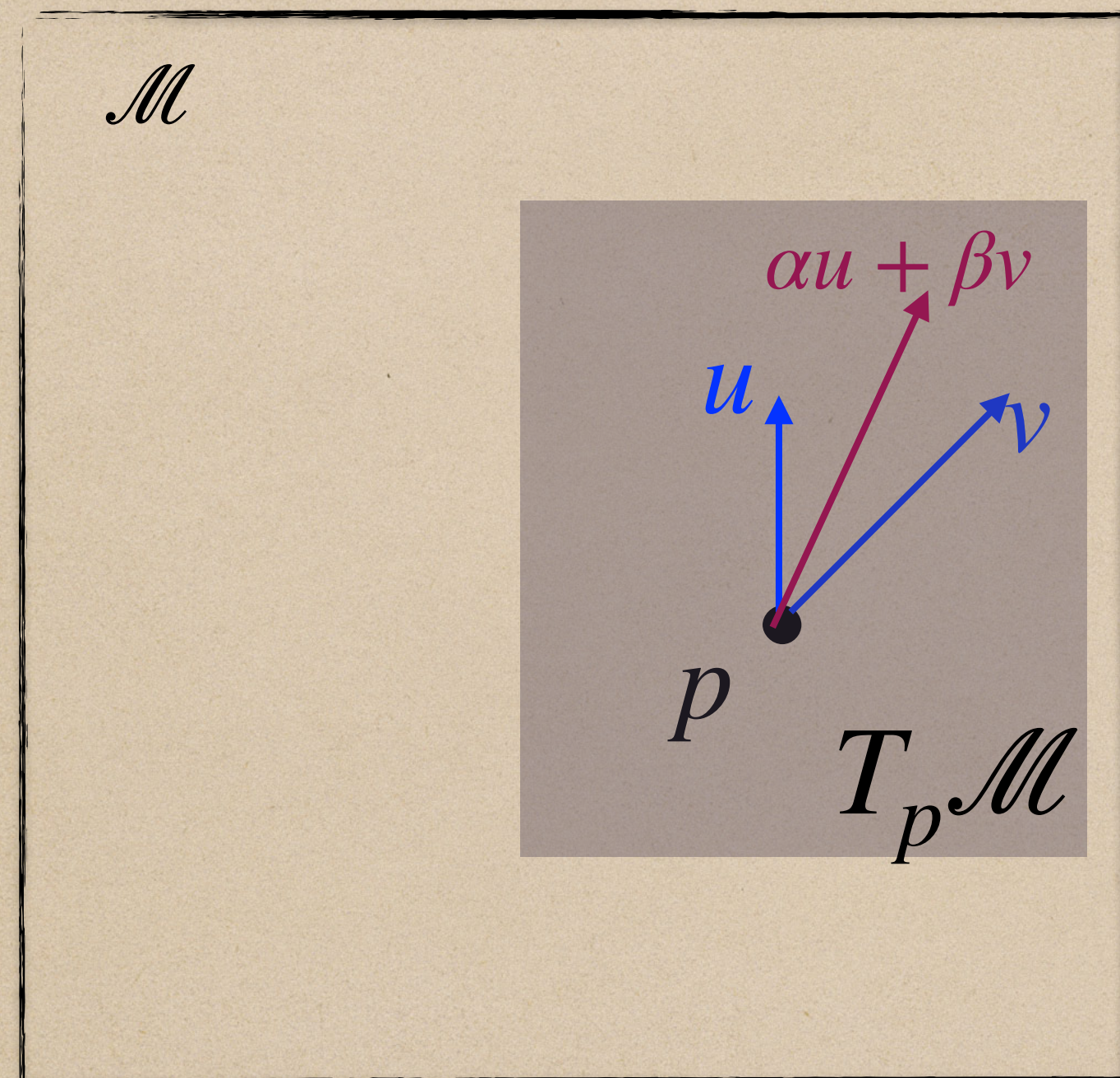


Motivação: Portanto, temos uma identificação entre vetores tangentes a um ponto p fixo e derivadas direcionais nesse ponto: $D_{\xi_p} \leftrightarrow \xi_p$. Como variedades diferenciáveis arbitrárias \mathcal{M} não tem estrutura de espaço vetorial, essa definição de vetor como uma derivada direcional em um ponto (definindo vetor tangente a um certo ponto) será muito mais conveniente.

Sabemos de cálculo que D_{ξ_p} satisfaz :

- (1) Linearidade: $D_{\xi_p}(\alpha f + \beta g) = \alpha D_{\xi_p} f + \beta D_{\xi_p} g$, com f, g diferenciáveis em p e $\alpha, \beta \in \mathbb{R}$
- (2) Regra de Leibniz: $D_{\xi_p}(fg) = f(p)D_{\xi_p} g + g(p)D_{\xi_p} f$, com f, g diferenciáveis em p

Vetores Tangentes



Vetor tangente a p : Seja \mathcal{M} uma variedade diferenciável de dimensão n . Um vetor tangente a p é uma derivação em \mathcal{M} , i.e., é uma função $v : f \in \mathcal{F}(\mathcal{M}) \rightarrow v(f) \in \mathbb{R}$ que satisfaz:

(1) Linearidade: $v(\alpha f + \beta g) = \alpha v(f) + \beta v(g)$, com f, g diferenciáveis em p e $\alpha, \beta \in \mathbb{R}$

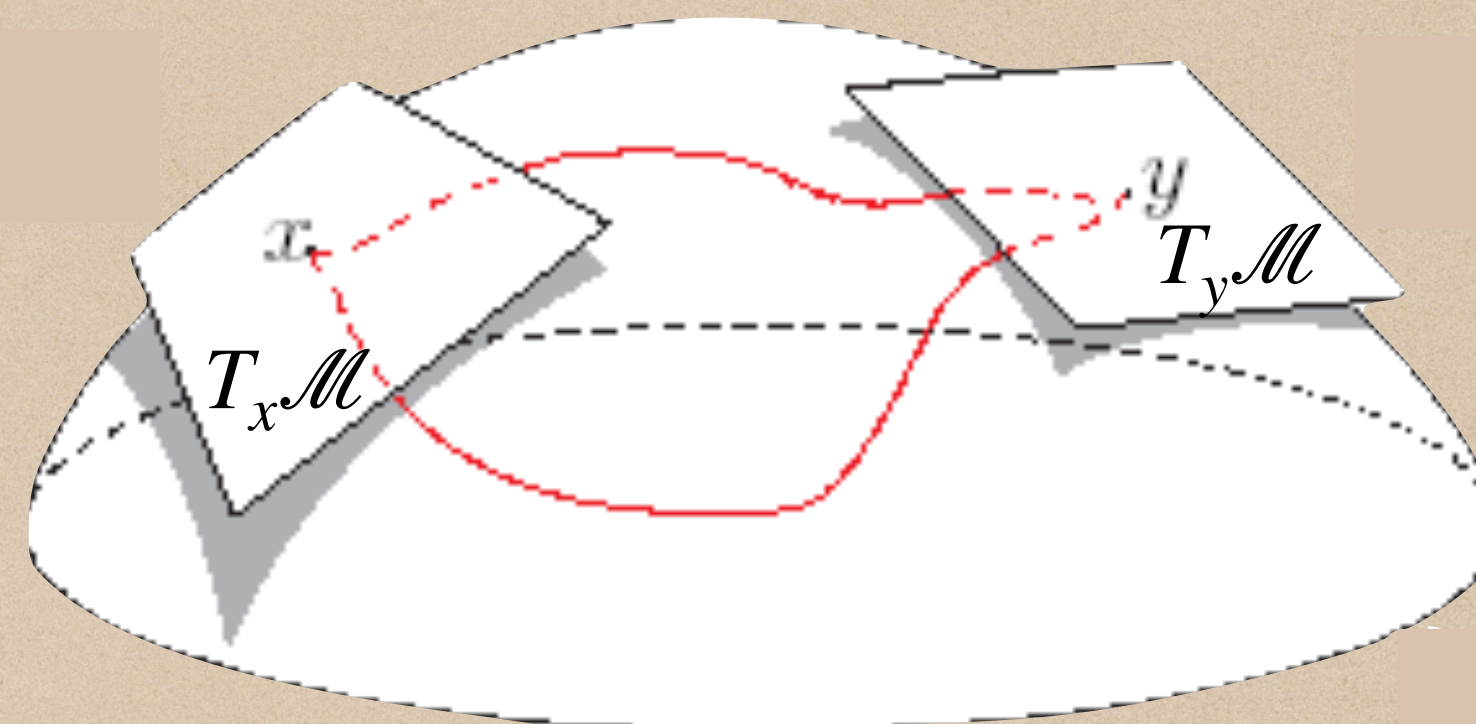
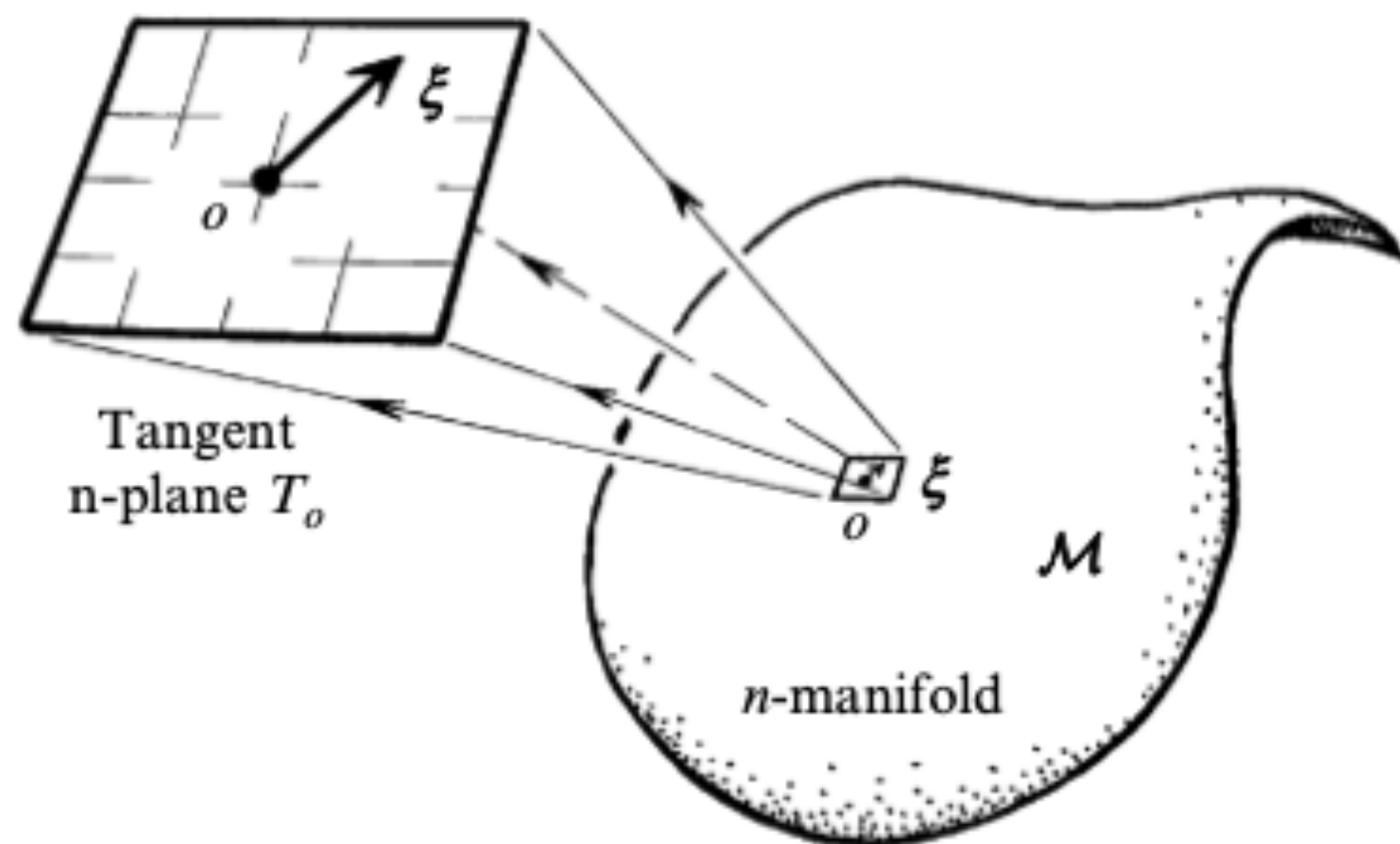
(2) Regra de Leibniz: $v(fg) = f(p)v(g) + g(p)v(f)$, com f, g diferenciáveis em p .

O conjunto de todos os vetores tangentes a p munido das operações de soma e produto por escalar:

$$(\alpha v + \beta u)(f) \equiv \alpha v(f) + \beta u(f), \forall f \in \mathcal{F}(\mathcal{M}), \alpha, \beta \in \mathbb{R}$$

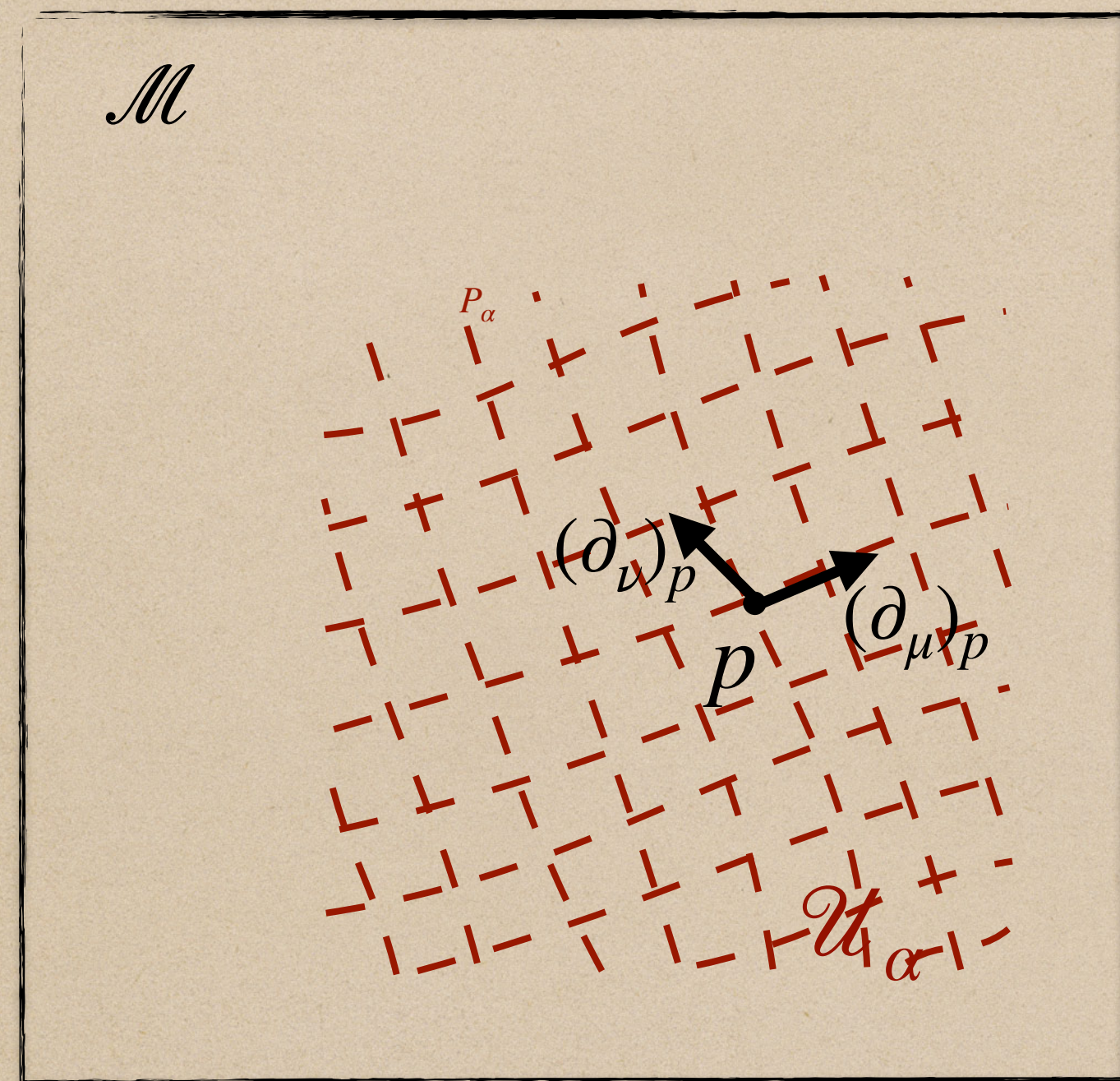
forma um espaço vetorial denotado por espaço tangente à p , $T_p \mathcal{M}$ (ou ainda V_p)

Vetores Tangentes



Vetor tangente: Cada ponto p tem associado um espaço tangente $T_p \mathcal{M}$ e não há conexão entre espaços tangentes diferentes (só faz sentido somar vetores e multiplicá-los por escalares dentro do mesmo espaço tangente)

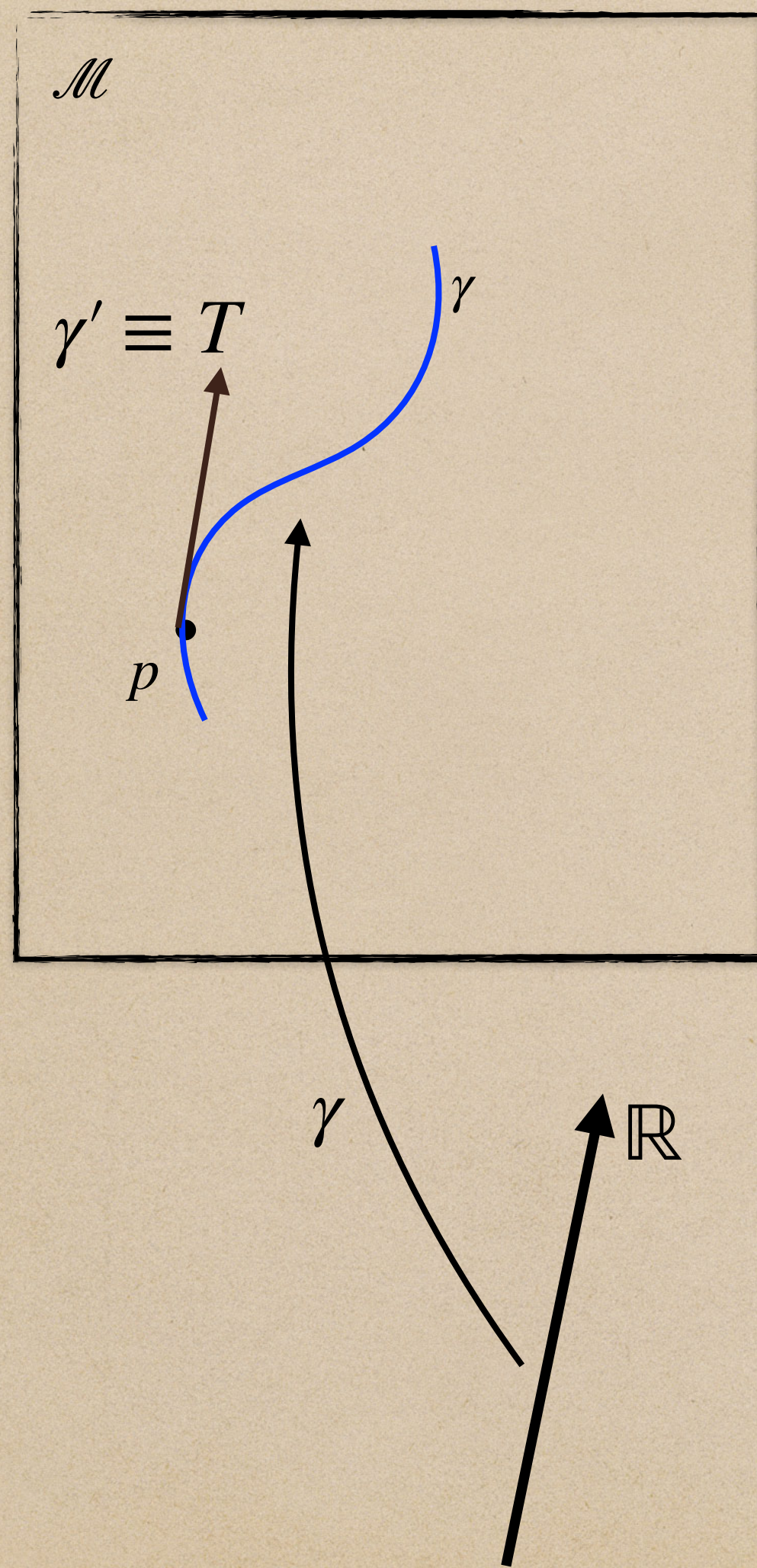
Vetores Tangentes



Vetor tangente: Um exemplo importante de vetor tangente são os vetores coordenados $\left(\frac{\partial}{\partial x^\mu}\right)_p \equiv (\partial_\mu)_p$. Eles são definidos da seguinte forma: Dado uma carta local qualquer ψ_α em p , que define coordenadas $\psi_\alpha(p) = (x^1, \dots, x^n)$, temos que

$$\left(\frac{\partial}{\partial x^\mu}\right)_p f \equiv \frac{\partial (f \circ \psi_\alpha^{-1})}{\partial x^\mu}(x^1, \dots, x^n)$$

Vetores Tangentes



Curvas: Uma curva suave é uma função (C^∞)

$\gamma : t \in I \subset \mathbb{R} \rightarrow \gamma(t) \in \mathcal{M}$. A tangente à γ em cada ponto $\gamma(t_0)$ é o vetor $\gamma' \equiv T \in T_{\gamma(t_0)}\mathcal{M}$ definido como

$$T(f) \equiv \left. \frac{df(\gamma(t))}{dt} \right|_{t=t_0}$$

Vetores Tangentes

Curvas: Dado uma carta local qualquer ψ_α em p , que define coordenadas $\psi_\alpha(p) = (x^1, \dots, x^n)$, temos que $\gamma(t) = \psi_\alpha^{-1}(x^1(t), \dots, x^n(t))$:

$$T(f) \equiv \left. \frac{df(\gamma(t))}{dt} \right|_{t=t_0} = \sum_{\mu=1}^n \frac{dx^\mu}{dt}(t_0) \frac{\partial (f \circ \psi_\alpha^{-1})}{\partial x^\mu}(x^1(t_0), \dots, x^n(t_0))$$

e, assim, pela definição de $(\partial_\mu)_p$ (onde tomamos $\gamma(t_0) = p$) temos

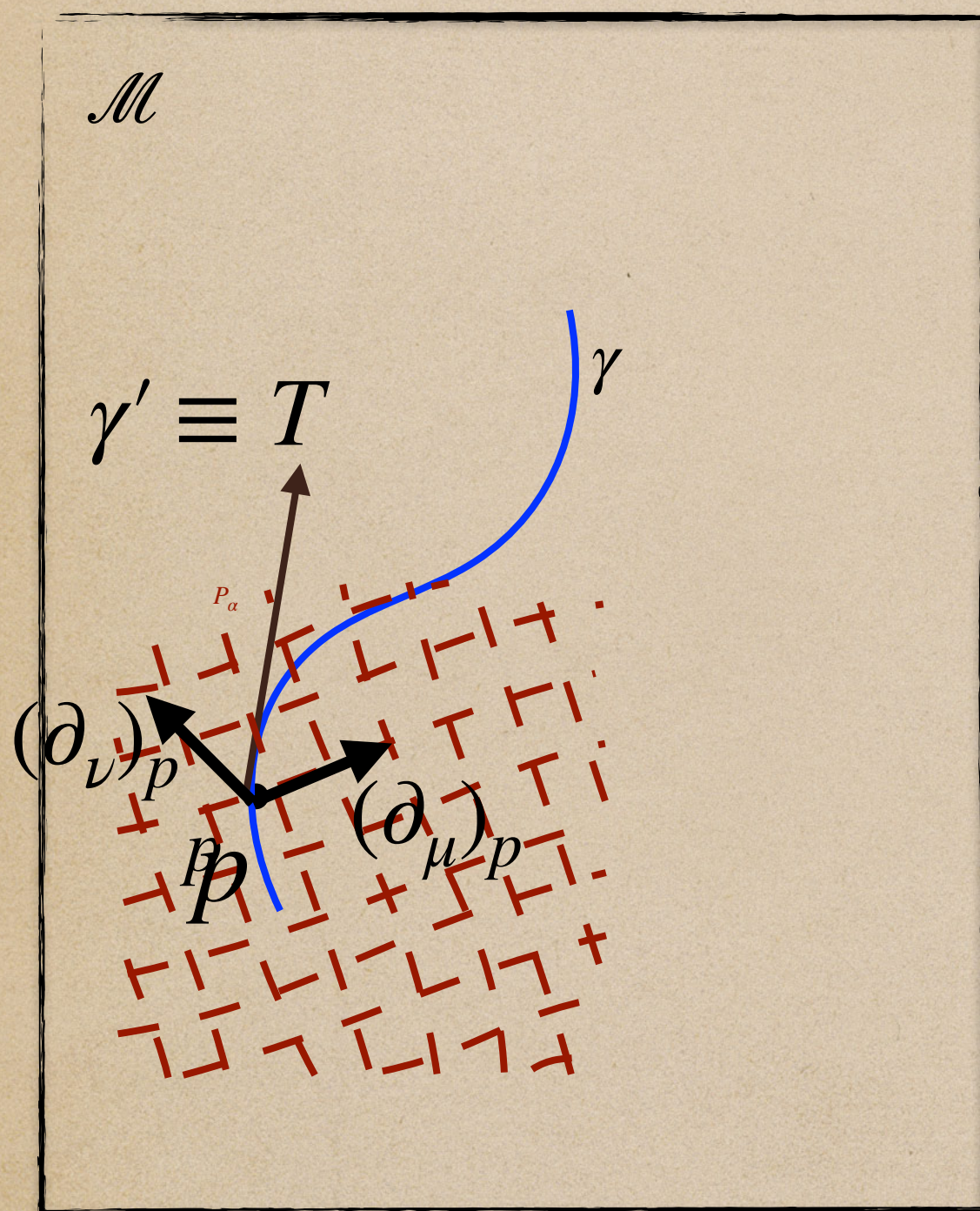
$$T(f) = \left[\sum_{\mu=1}^n \frac{dx^\mu}{dt}(t_0) (\partial_\mu)_p \right] f, \forall f \in \mathcal{F}(\mathcal{M})$$

Portanto

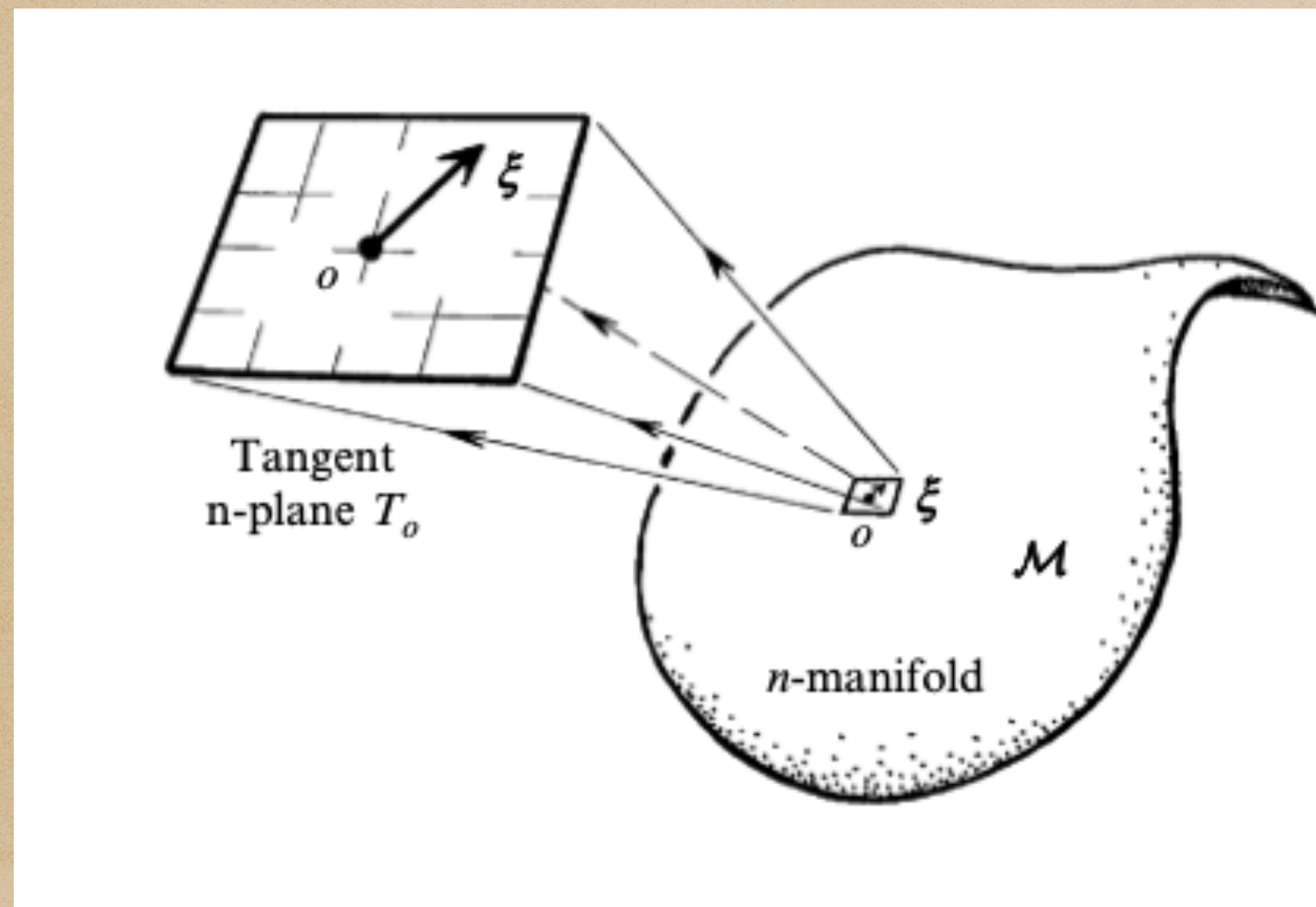
$$\gamma'(t) \equiv T_t = \sum_{\mu=1}^n \frac{dx^\mu(t)}{dt} \left(\frac{\partial}{\partial x^\mu} \right)_{\gamma(t)}$$

Note que, dado um $v \in T_p \mathcal{M}$ qualquer, sempre podemos construir uma curva cuja tangente em p é v , temos que os $\left\{ (\partial_\mu)_p : \mu = 1, \dots, n \right\}$ geram

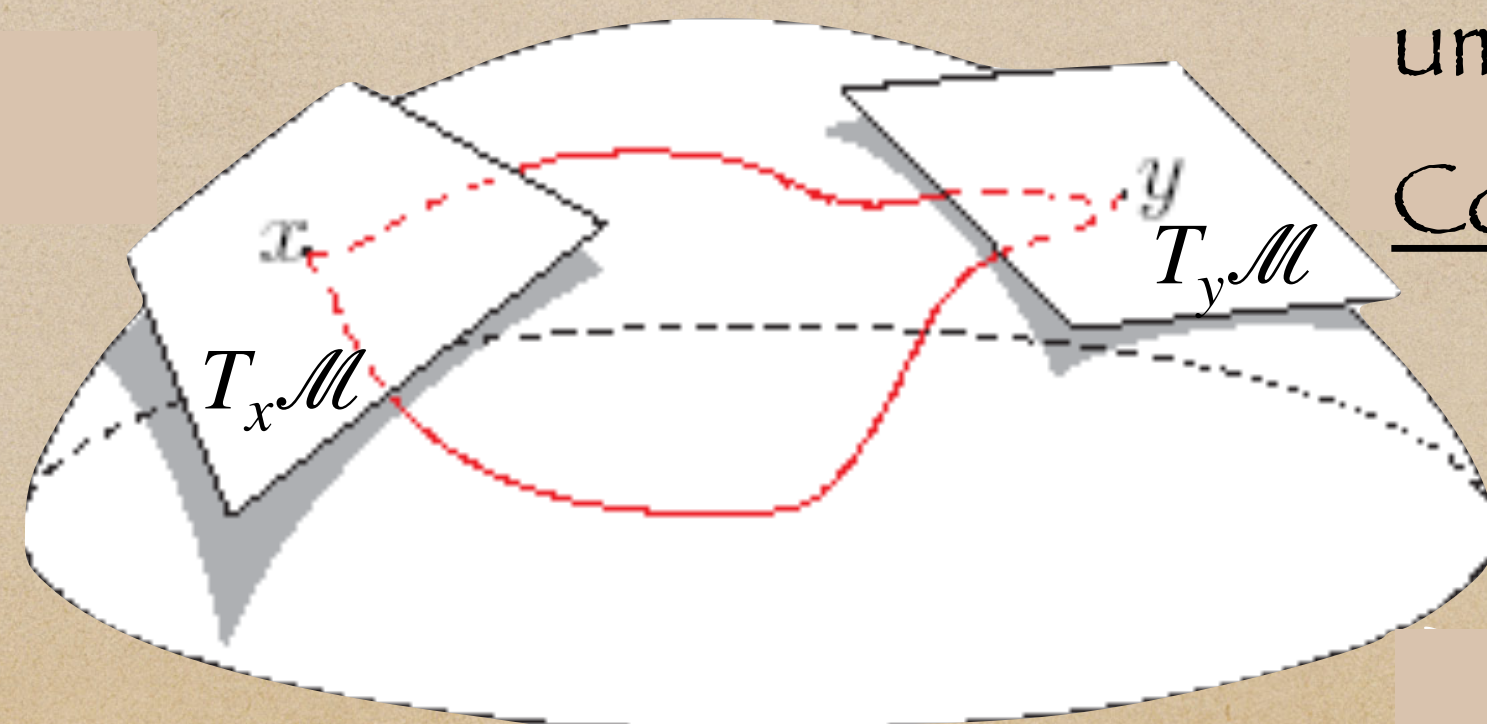
$$T_p \mathcal{M}, \text{ i.e., } v = \sum_{\mu} v^\mu (\partial_\mu)_p.$$



Derivada Covariante



Vetor tangente: Cada ponto p tem associado um espaço tangente $T_p\mathcal{M}$ e não há conexão entre espaços tangentes diferentes (só faz sentido somar vetores e multiplicá-los por escalares dentro do mesmo espaço tangente). Para "relacionarmos" vetores tangentes em espaços-tangentes diferentes (em particular, para calcularmos taxas de variações de campos tensoriais em diferentes pontos para diferentes direções), precisamos fornecer uma estrutura extra para a variedade, a chamada Derivada Covariante



Covetores (vetores duais)

Espaço Cotangente

$$T_p^* \mathcal{M} = \left\{ \omega : T_p \mathcal{M} \rightarrow \mathbb{R} \mid \omega : \text{funcional linear} \right\}$$

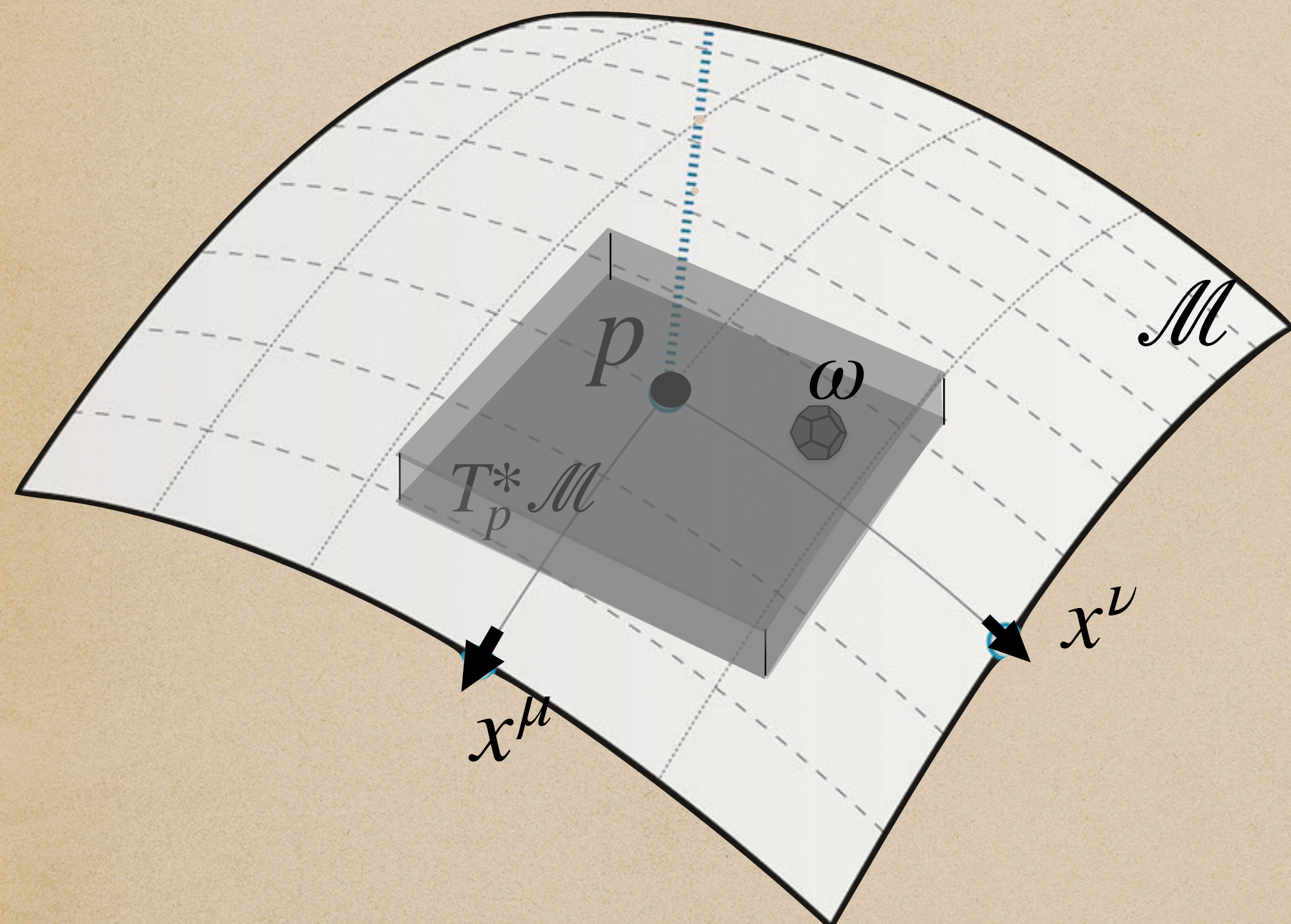
Espaço vetorial de funções lineares que "pegam" vetores em $T_p \mathcal{M}$ e transformam em números reais (seus elementos são chamados vetores duais—ou co-vetores, vetores covariantes ou ainda 1-formas em p). Ou seja, $\omega : v \in T_p \mathcal{M} \rightarrow \omega(v) \in \mathbb{R}$ com $\omega(\alpha v + \beta u) = \alpha \omega(v) + \beta \omega(u)$, $v, u \in T_p \mathcal{M}$, $\alpha, \beta \in \mathbb{R}$.

$\{dx_p^1, \dots, dx_p^n\}$ com $dx^\alpha(\partial_\beta) \equiv \delta_\beta^\alpha$, forma uma base de $T_p^* \mathcal{M}$ o que implica que dado um $\omega \in T^* \mathcal{M}$, temos que $\omega = \sum_\alpha \omega_\alpha dx_p^\alpha$.

Além disso note que, dando $v \in T_p \mathcal{M}$, temos

$$\varepsilon^\alpha(v) = \varepsilon^\alpha \left(\sum_\beta v^\beta e_\beta \right) \equiv \sum_\beta v^\beta \varepsilon^\alpha(e_\beta) = v^\alpha e, \text{ assim:}$$

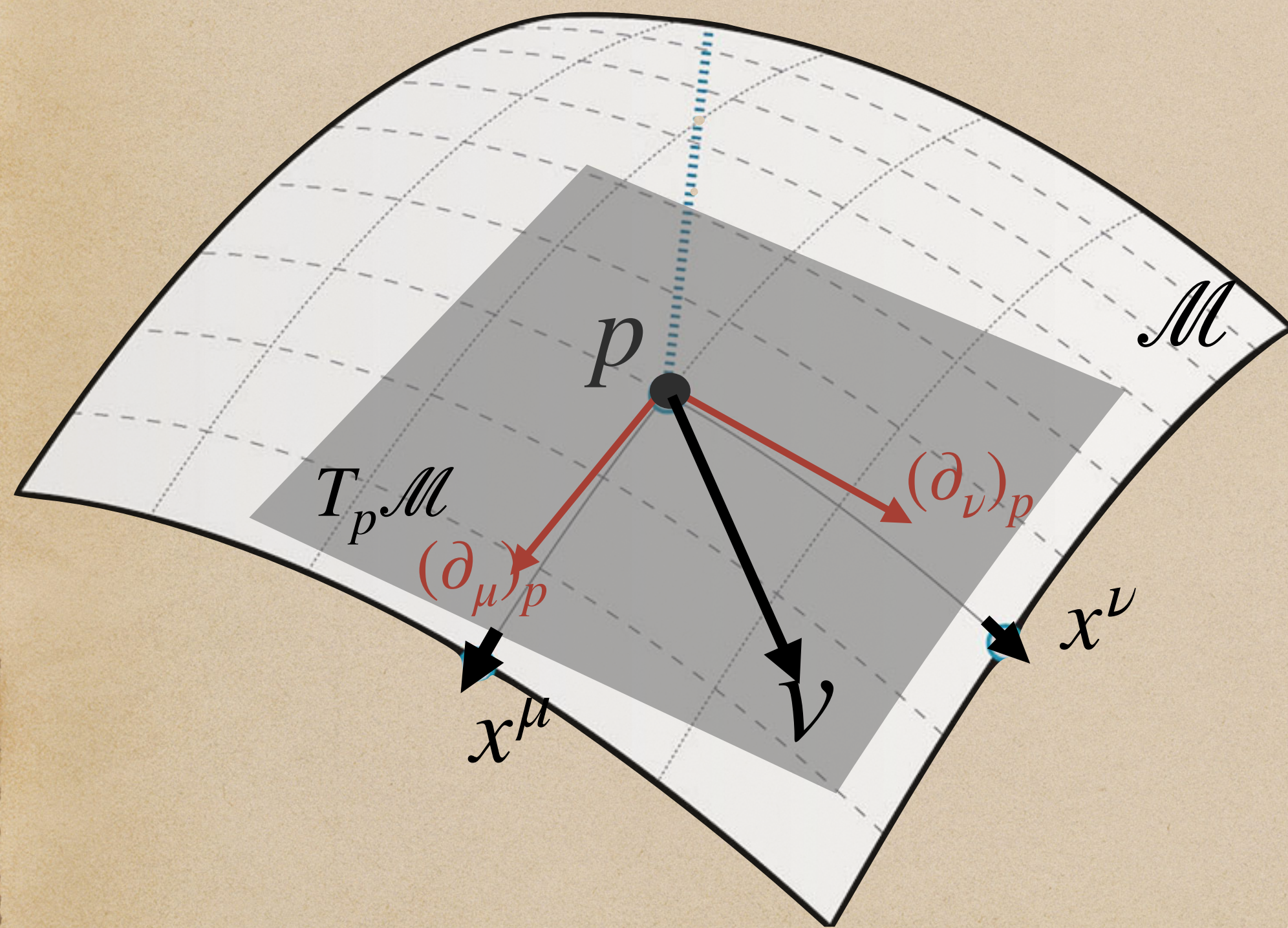
$$\omega(v) = \sum_\alpha \omega_\alpha \varepsilon_p^\alpha(v) = \sum_\alpha \omega_\alpha v^\alpha$$



Base: $\{\partial_1, \dots, \partial_n\} \subset T_p \mathcal{M}$

$$v \equiv \sum_\alpha v^\alpha \partial_\alpha$$

O Tensor Métrico



Tal isomorfismo é definido via:

$v \in T_p \mathcal{M} \rightarrow \omega_v \equiv g_p(v, \cdot) \in T_p^* \mathcal{M}$ [cuja inversa é dada por $\omega \in T_p^* \mathcal{M} \rightarrow v_\omega \equiv g_p^{-1}(\omega, \cdot) \in T_p \mathcal{M}$]. As componentes de $\omega_v \equiv g_p(v, \cdot)$ em uma base $\{\varepsilon^1, \dots, \varepsilon^n\} \subset T_p^* \mathcal{M}$ (dual à base $\{e_1, \dots, e_n\} \subset T_p \mathcal{M}$ de $T_p \mathcal{M}$) é dada por:

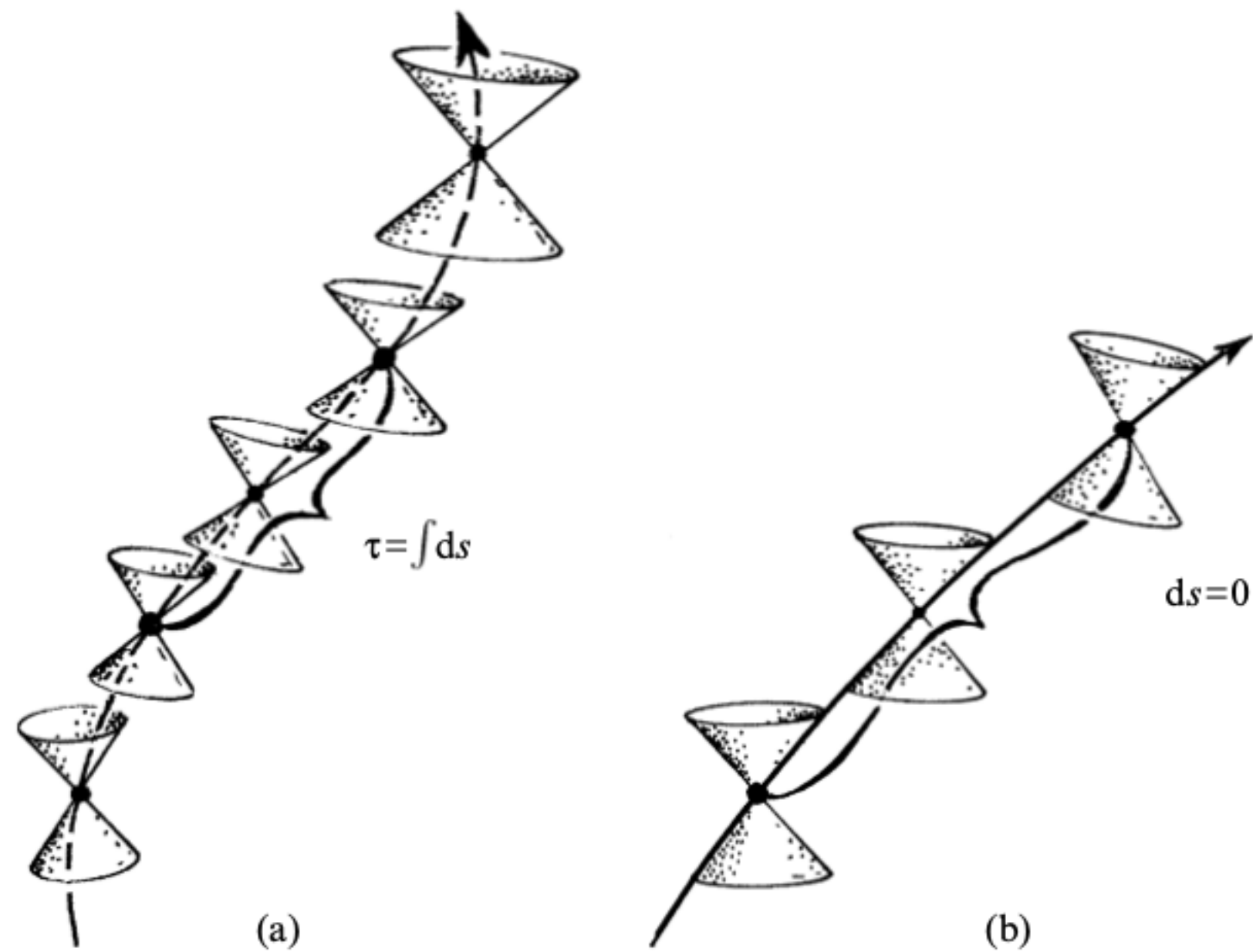
$$(\omega_v)_\mu \equiv \omega_v(e_\mu) \equiv g_p \left(\sum_{\sigma} v^\sigma e_\sigma, e_\mu \right) = \sum_{\sigma} g_{\mu\sigma} v^\sigma,$$

onde usamos que $v = \sum_{\mu} v^\mu e_\mu$. É comum denotar $(\omega_v)_\mu$ por

v_μ e, assim, $v_\mu = \sum_{\sigma} g_{\mu\sigma} v^\sigma$. Analogamente, mostra-se que

$$v_\omega \equiv g_p^{-1}(\omega, \cdot) \text{ tem componentes } (v_\omega)^\mu \equiv \omega^\mu = \sum_{\sigma} g^{\mu\sigma} \omega_\sigma$$

Espaços-Tempos Gerais



Espaço-Tempo: (\mathcal{M}, g)

Distância espaço temporal entre pontos vizinhos \mathcal{P} e

$$Q = \mathcal{P} + d\mathcal{P}$$

$$ds_{\mathcal{P}Q}^2 = \sum_{\mu\nu} g_{\mu\nu} dx^\mu dx^\nu: \{x^\mu\} \text{ coordenadas arbitrárias em } \mathcal{M}.$$

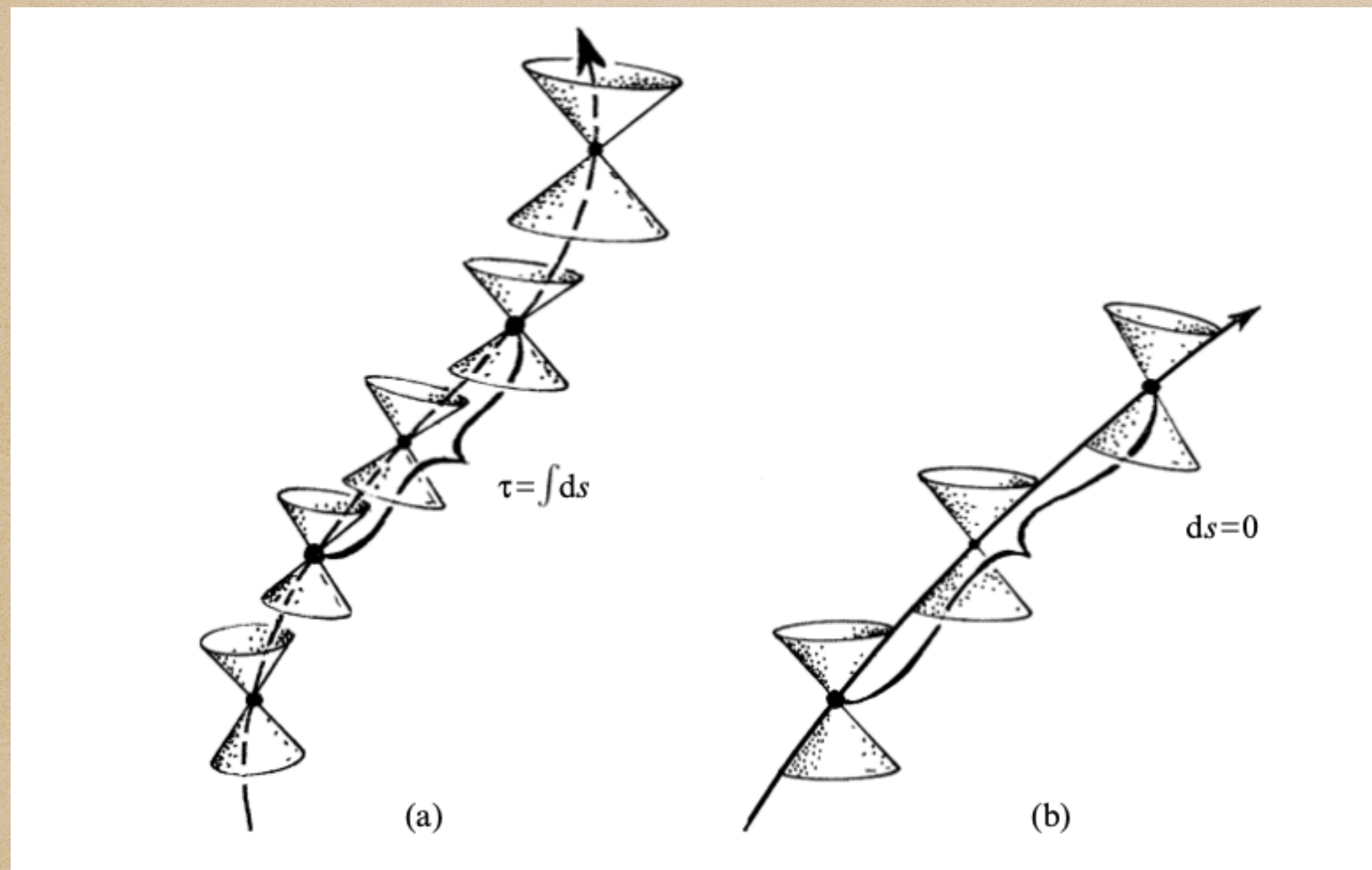
Curva γ em \mathcal{M} . Deslocamento ao longo da curva $dx^\mu = \frac{dx^\mu}{d\lambda} d\lambda$

$$ds_{\mathcal{P}Q}^2 < 0 \rightarrow \text{Curva tipo-tempo}$$

$$ds_{\mathcal{P}Q}^2 = 0 \rightarrow \text{Curva tipo-luz}$$

$$ds_{\mathcal{P}Q}^2 > 0 \rightarrow \text{Curva tipo-espaço}$$

Espaços-Tempos Gerais



Para curvas tipo-tempo definimos o tempo-próprio τ como:

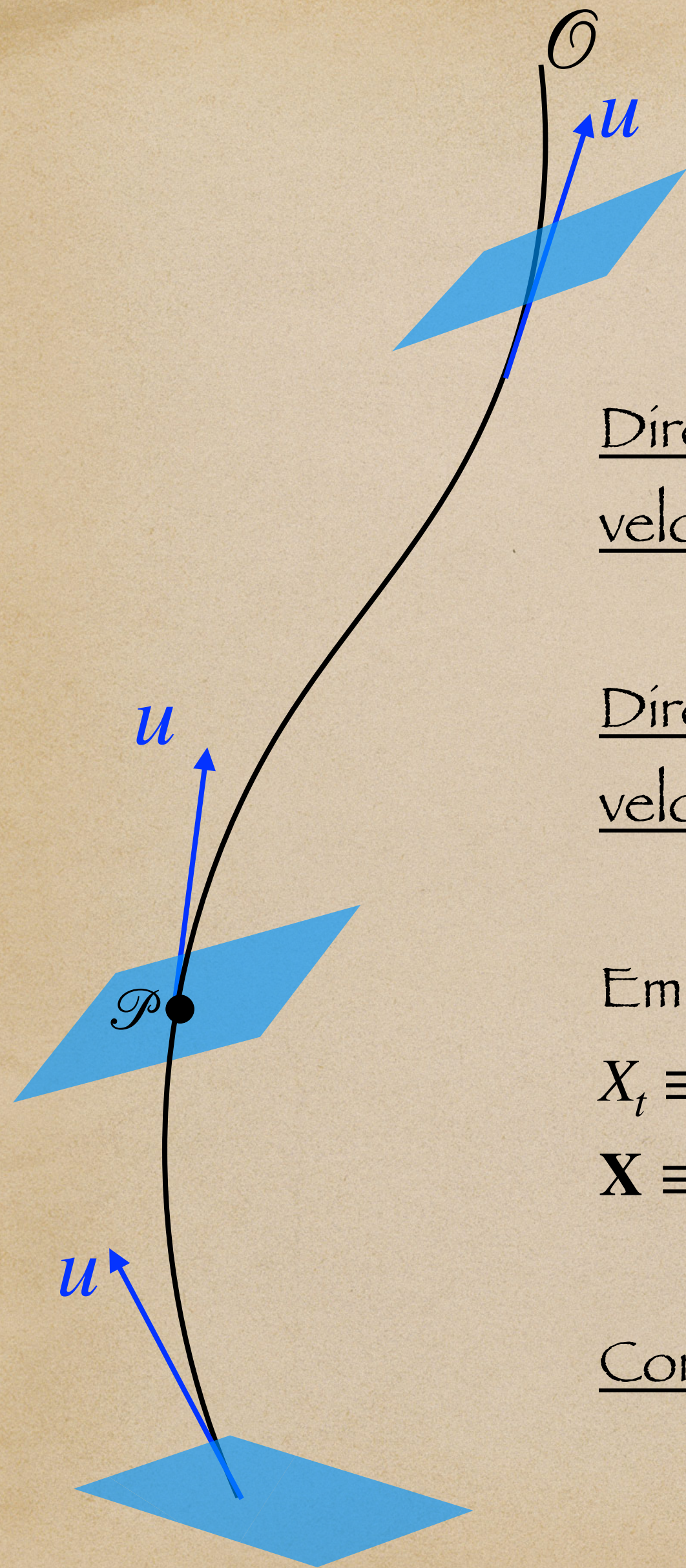
$$\tau = \int_{\gamma} \sqrt{-ds^2} = \int_{\lambda_{\mathcal{P}}}^{\lambda_{\mathcal{Q}}} \sqrt{-\sum_{\mu,\nu} g_{\mu\nu} \frac{dx^{\mu}}{d\lambda} \frac{dx^{\nu}}{d\lambda}} d\lambda$$

Se a curva γ é parametrizada pelo tempo-próprio τ então

$$u = \frac{d\gamma}{d\tau} = \sum_{\mu} \frac{dx^{\mu}}{d\tau} e_{\mu} \text{ (no evento } \mathcal{P}\text{)}, \quad u^{\mu} = \frac{dx^{\mu}}{d\tau},$$

é chamada de 4-velocidade. Nesse caso

$$g(u, u) = \sum_{\mu,\nu} g_{\mu\nu} u^{\mu} u^{\nu} \equiv \sum_{\mu,\nu} g_{\mu\nu} \frac{dx^{\mu}}{d\tau} \frac{dx^{\nu}}{d\tau} = -1$$



Direções "temporais" no evento \mathcal{P} como visto por um observador com 4-velocidade u : Vetores paralelos à u

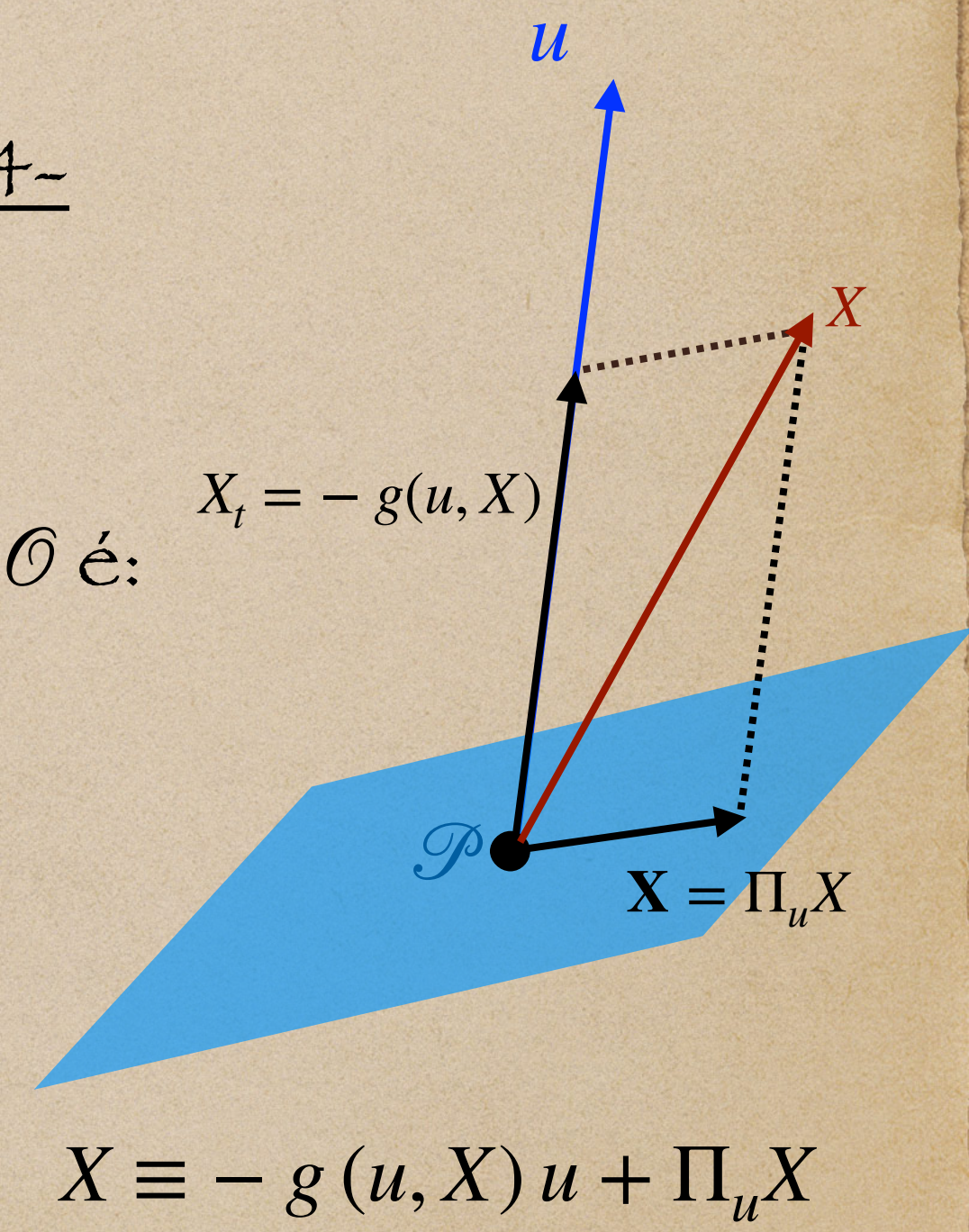
Direções "espaciais" no evento \mathcal{P} associadas a um observador com 4-velocidade u : 4-vetores \mathbf{l} em \mathcal{P} tal que $g(u, \mathbf{l}) = 0$.

Em geral, se X é um 4-vetor, sua componente temporal com relação a \mathcal{O} é:

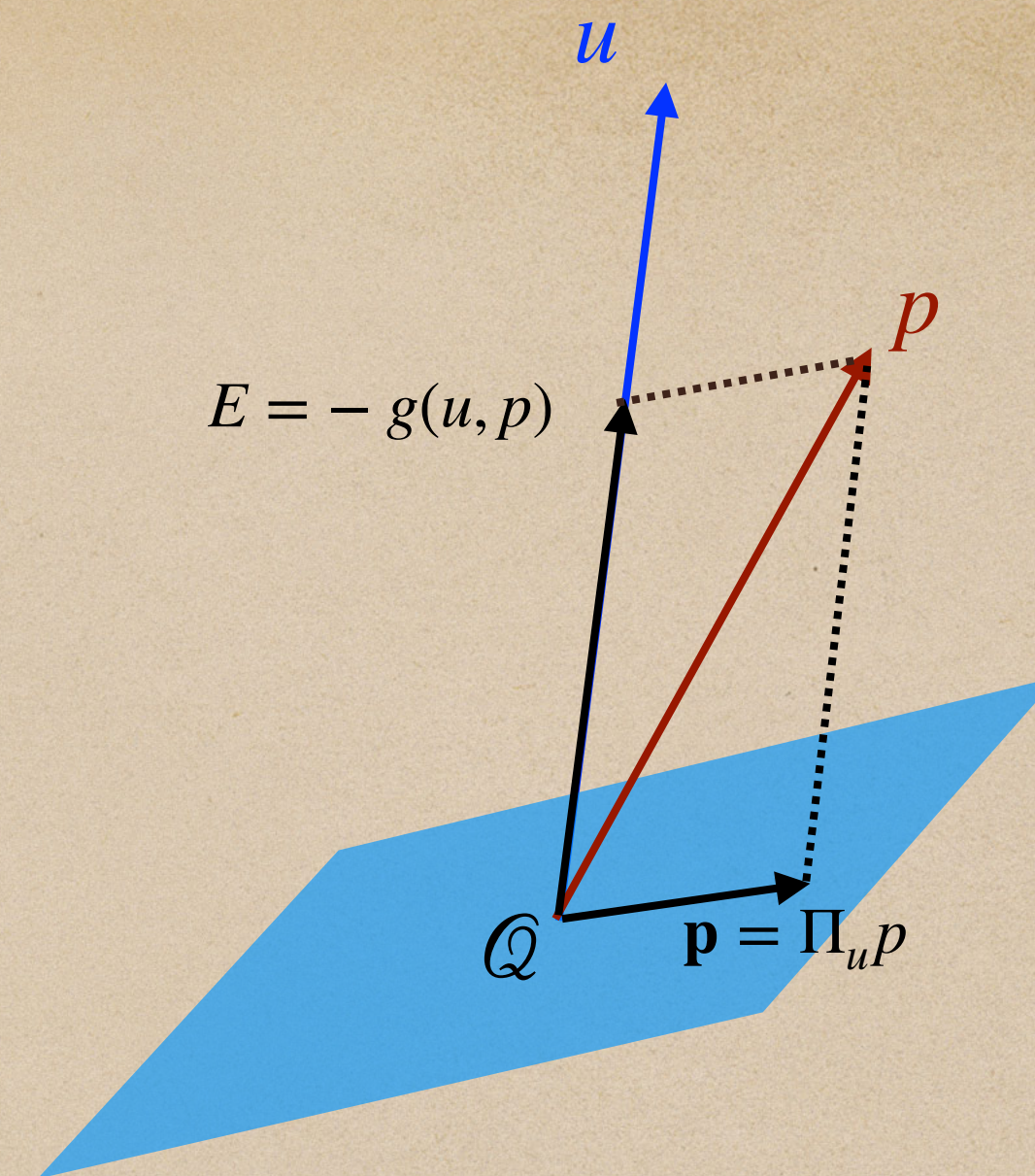
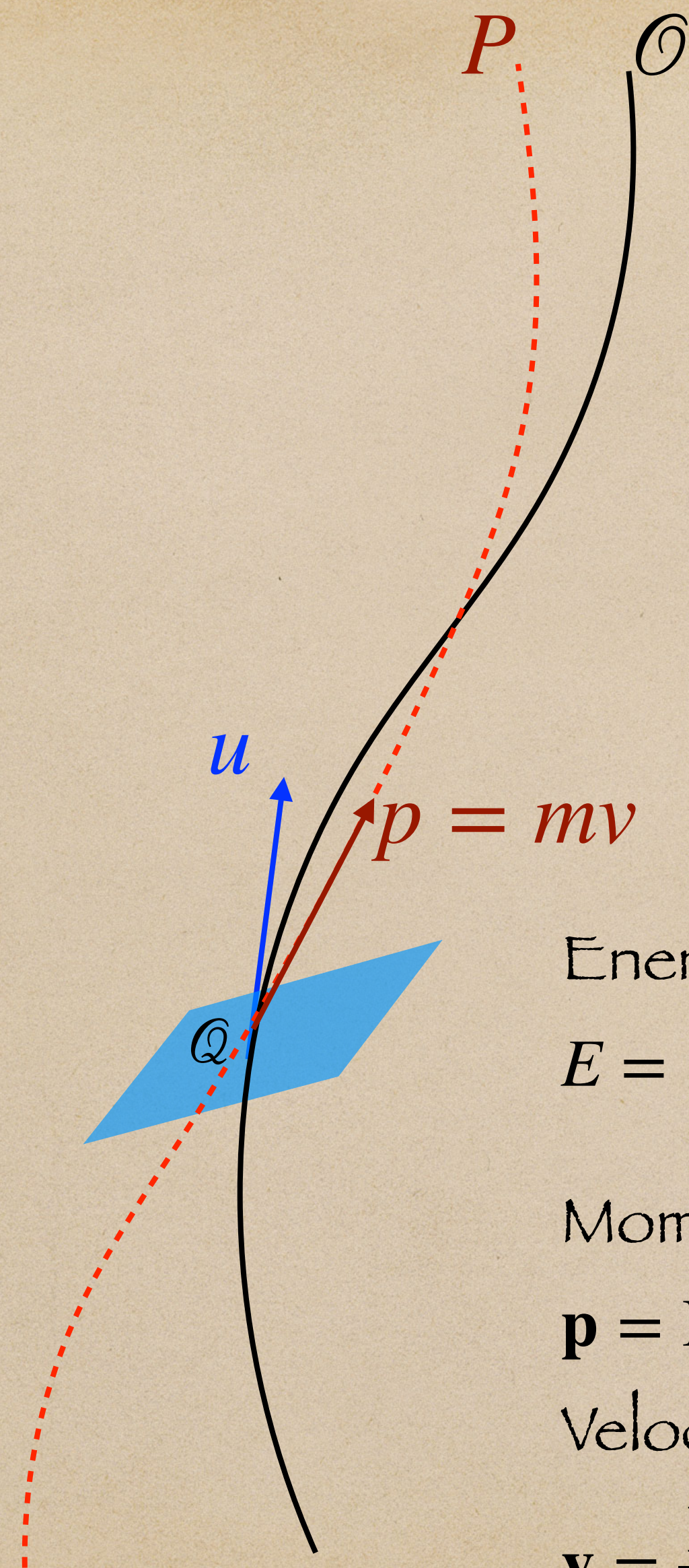
$X_t \equiv -g(u, X)u$ e sua componente espacial é da forma

$$\mathbf{X} \equiv \Pi_u X \equiv g(u, X)u + X$$

Cone de Luz em \mathcal{P} : 4-vetores k em \mathcal{P} tal que $g(k, k) = 0$



$$X \equiv -g(u, X)u + \Pi_u X$$



Energia da partícula P (no evento Q) como medida pelo observador \mathcal{O}

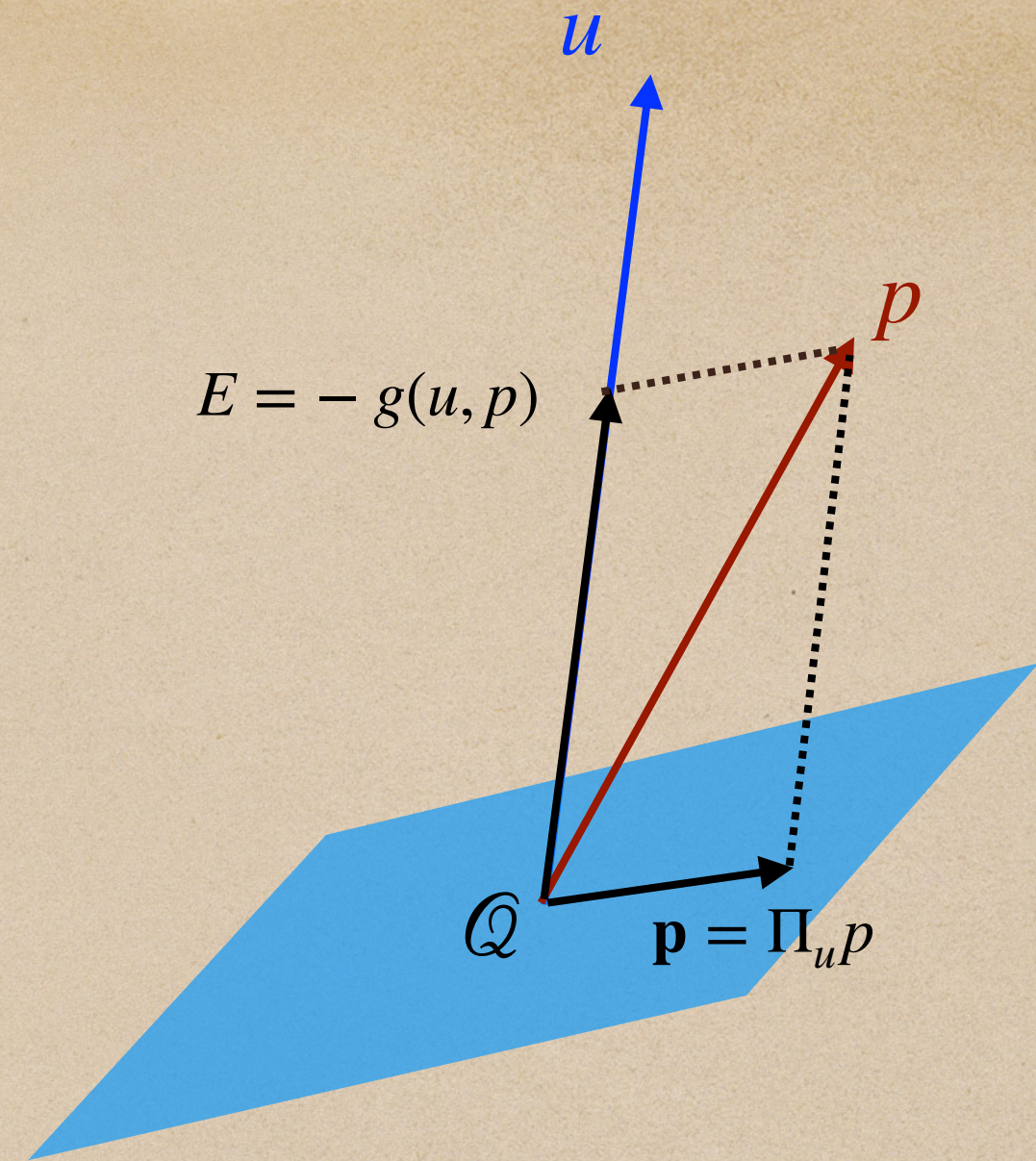
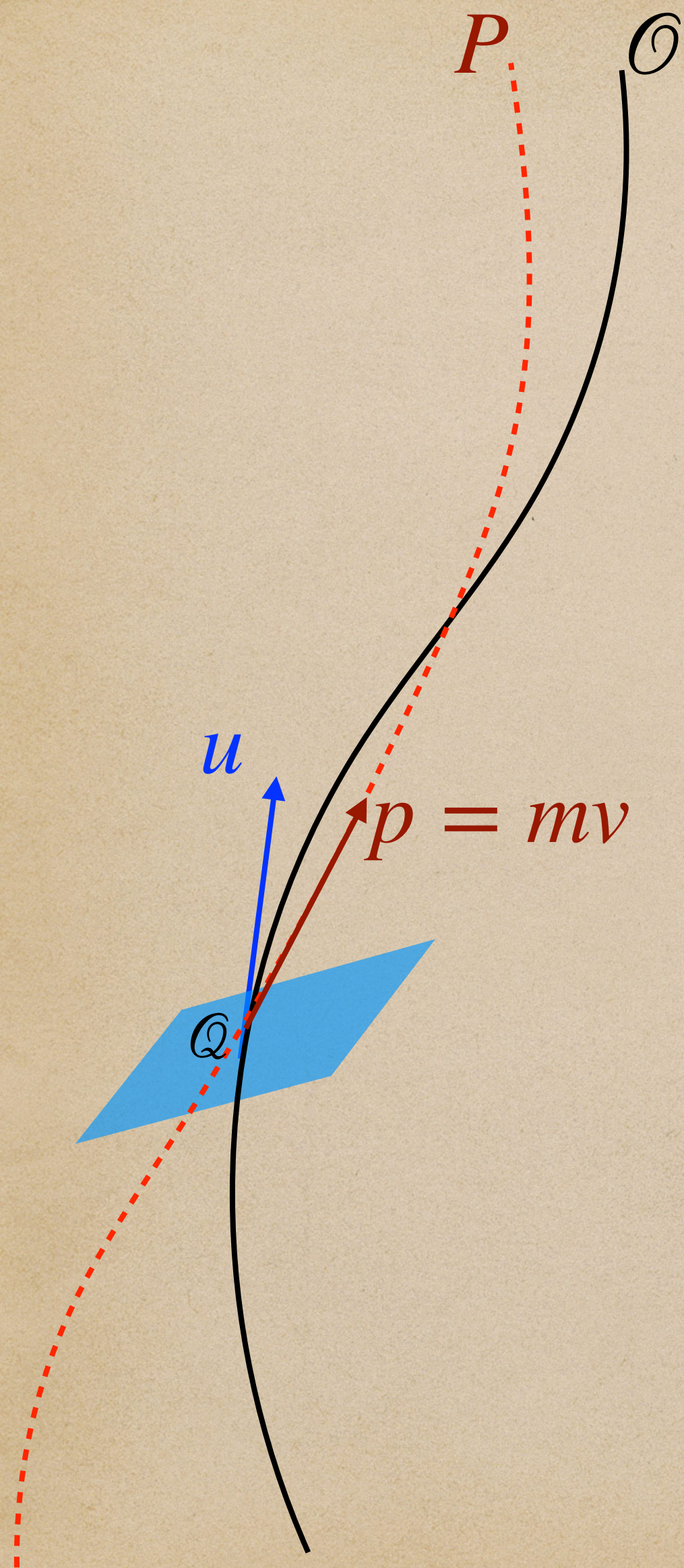
$$E = -g(u, p) = - \sum_{\mu, \nu} g_{\mu\nu} u^\mu p^\nu$$

Momento espacial da partícula P (no evento Q) como medido pelo observador \mathcal{O}

$$\mathbf{p} = \Pi_u p$$

Velocidade espacial da partícula P (no evento Q) como medida pelo observador \mathcal{O}

$$\mathbf{v} = \frac{\mathbf{p}}{E} = \frac{\Pi_u v}{-g(u, v)}, \quad p = mv$$



Podemos decompor a 4-velocidade v como

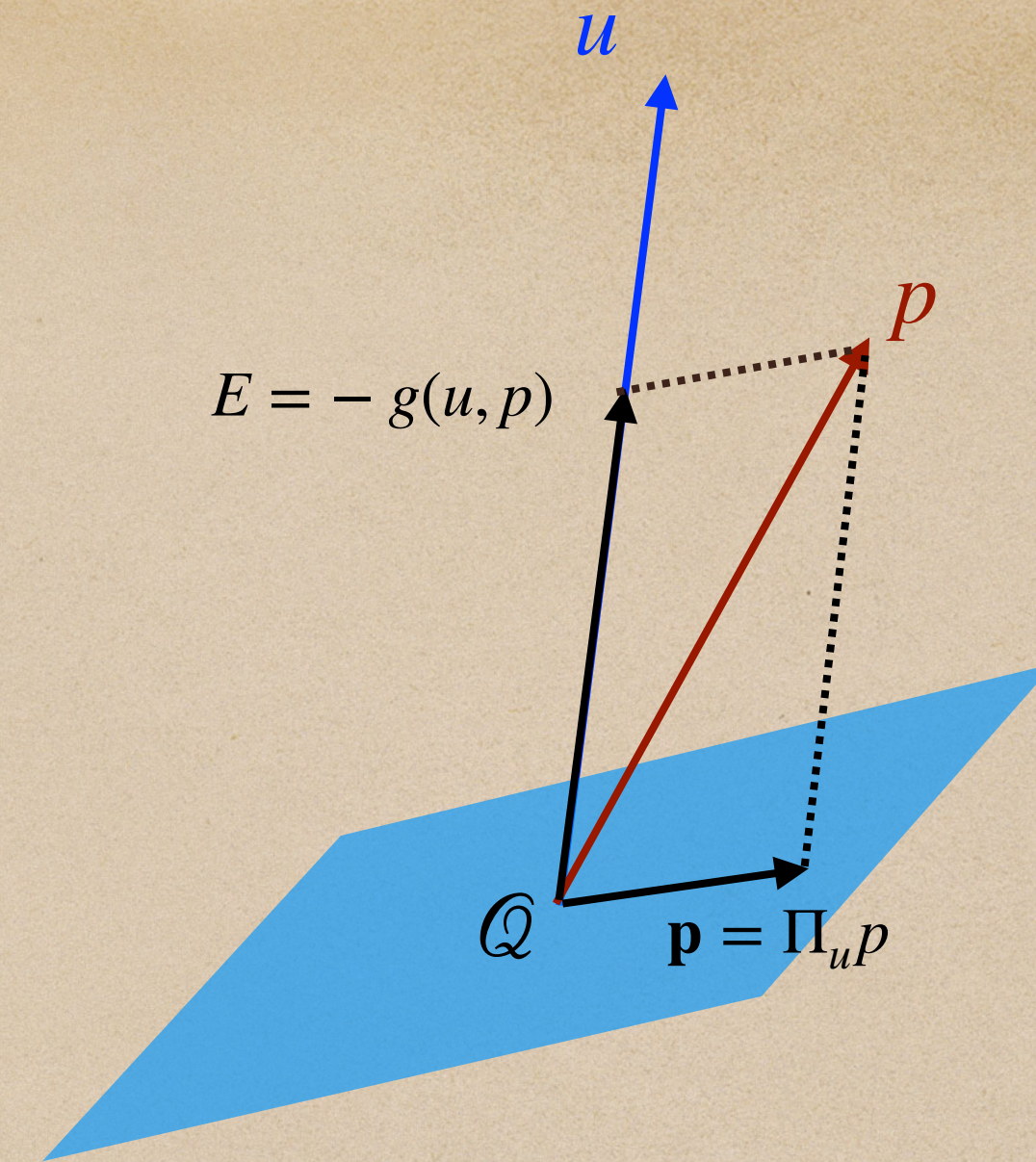
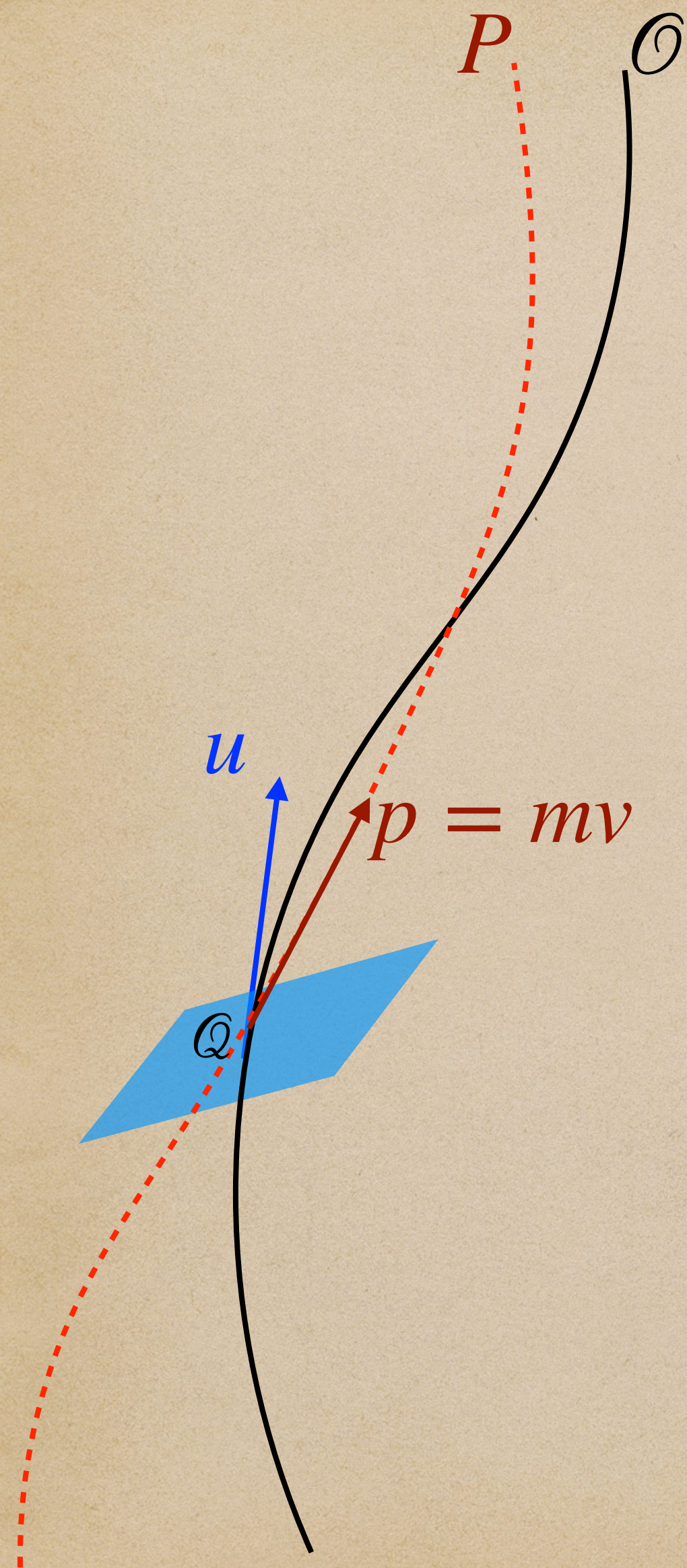
$$v = -g(u, v)u + \Pi_u v = -g(u, v)(u + \mathbf{v}). \text{ Como } g(v, v) = -1 \rightarrow -g(u, v) = \frac{1}{\sqrt{1 - \mathbf{v}^2}} \equiv \gamma(\mathbf{v})$$

Usando a decomposição $v = \gamma(\mathbf{v})(u + \mathbf{v})$ e que $p = mv$ temos $p = Eu + \Pi_u p = (Eu + \mathbf{p})$ com a energia da partícula P (no evento Q) como medido pelo observador \mathcal{O} sendo

$$E = -g(u, p) = \gamma(\mathbf{v})m$$

e o momento espacial da partícula P (no evento Q) como medido pelo observador \mathcal{O}

$$\mathbf{p} = \gamma(\mathbf{v})m\mathbf{v}$$



Podemos decompor a 4-velocidade v como

$$v = -g(u, v)u + \Pi_u v = -g(u, v)(u + \mathbf{v}). \text{ Como } g(v, v) = -1 \rightarrow -g(u, v) = \frac{1}{\sqrt{1 - \mathbf{v}^2}} \equiv \gamma(\mathbf{v})$$

Usando a decomposição $v = \gamma(\mathbf{v})(u + \mathbf{v})$ e que $p = mv$ temos $p = Eu + \Pi_u p = (Eu + \mathbf{p})$ com a energia da partícula P (no evento Q) como medido pelo observador O sendo

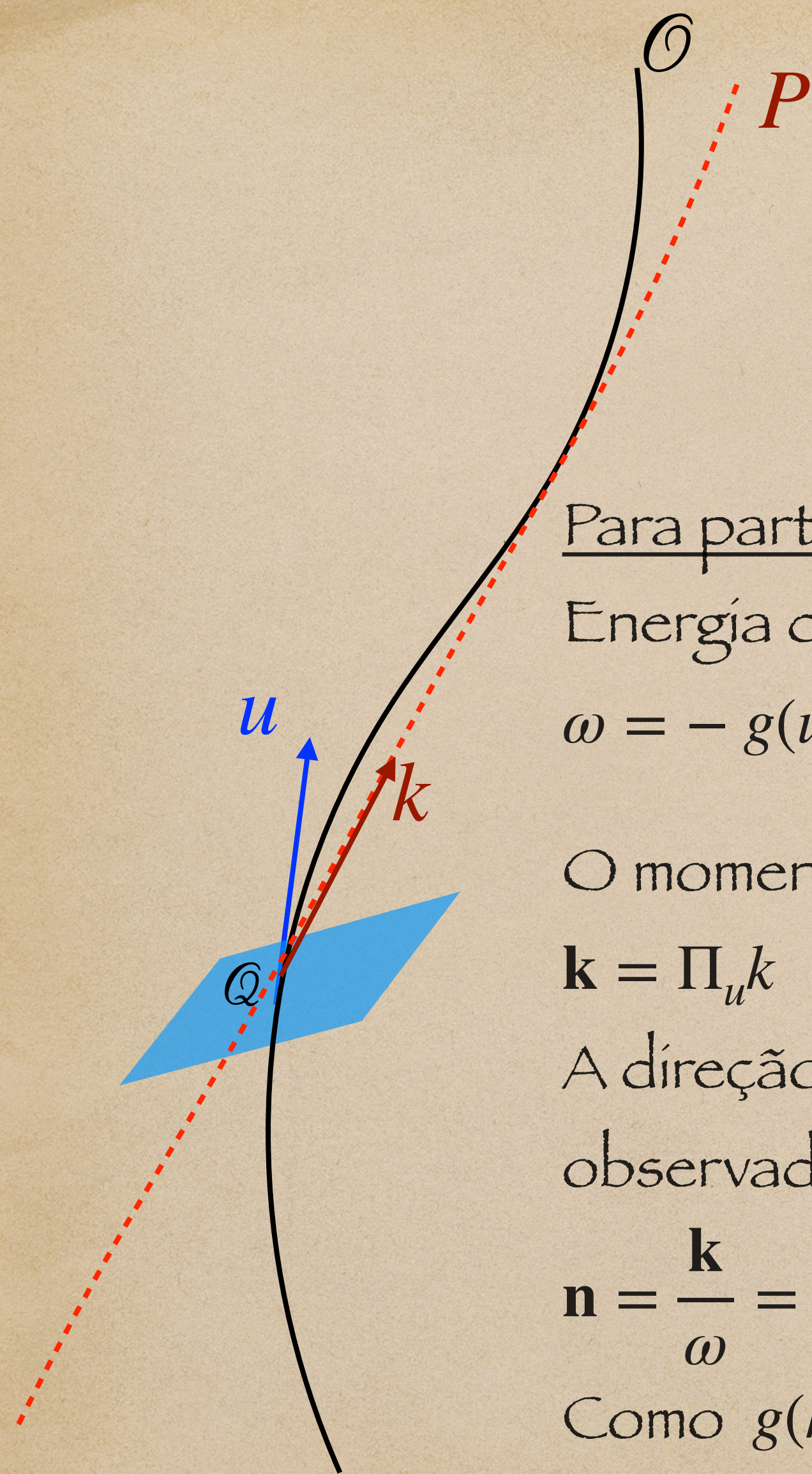
$$E = -g(u, p) = \gamma(\mathbf{v})m$$

e o momento espacial da partícula P (no evento Q) como medido pelo observador O

$$\mathbf{p} = \gamma(\mathbf{v})m\mathbf{v}$$

$$\text{Note que } g(p, p) = g(mv, mv) = -m^2 \text{ e } g(p, p) = g(Eu + \mathbf{p}, Eu + \mathbf{p}) = -E^2 + \mathbf{p}^2$$

$$\text{Logo: } E = \sqrt{m^2 + \mathbf{p}^2}$$



Para partículas sem massa com 4-vetor de onda k :

Energia da partícula P (no evento Q) como medida pelo observador \mathcal{O}

$$\omega = -g(u, k) = - \sum_{\mu, \nu} g_{\mu\nu} u^\mu k^\nu$$

O momento espacial da partícula P (no evento Q) como medida pelo observador \mathcal{O} é:

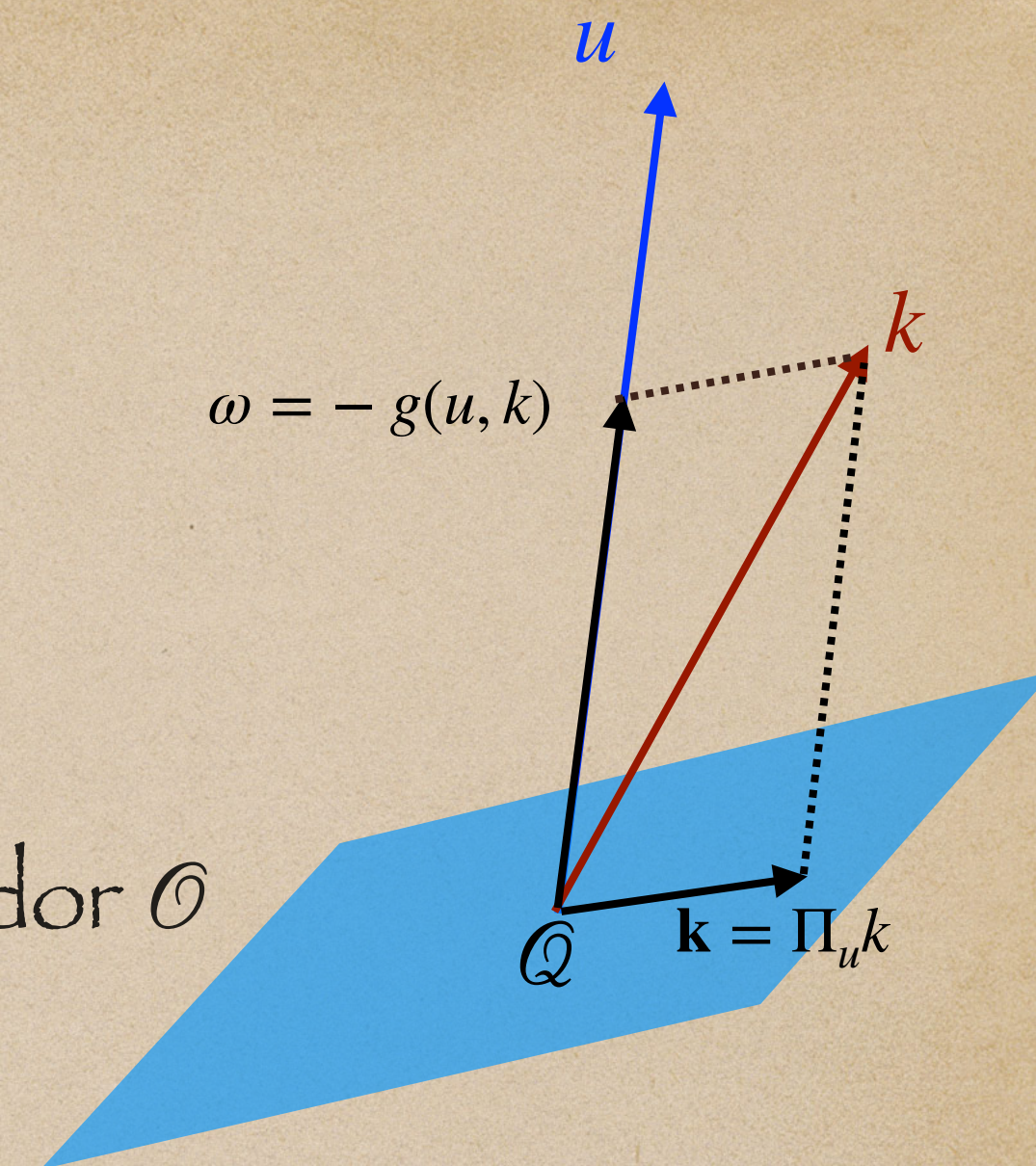
$$\mathbf{k} = \Pi_u k$$

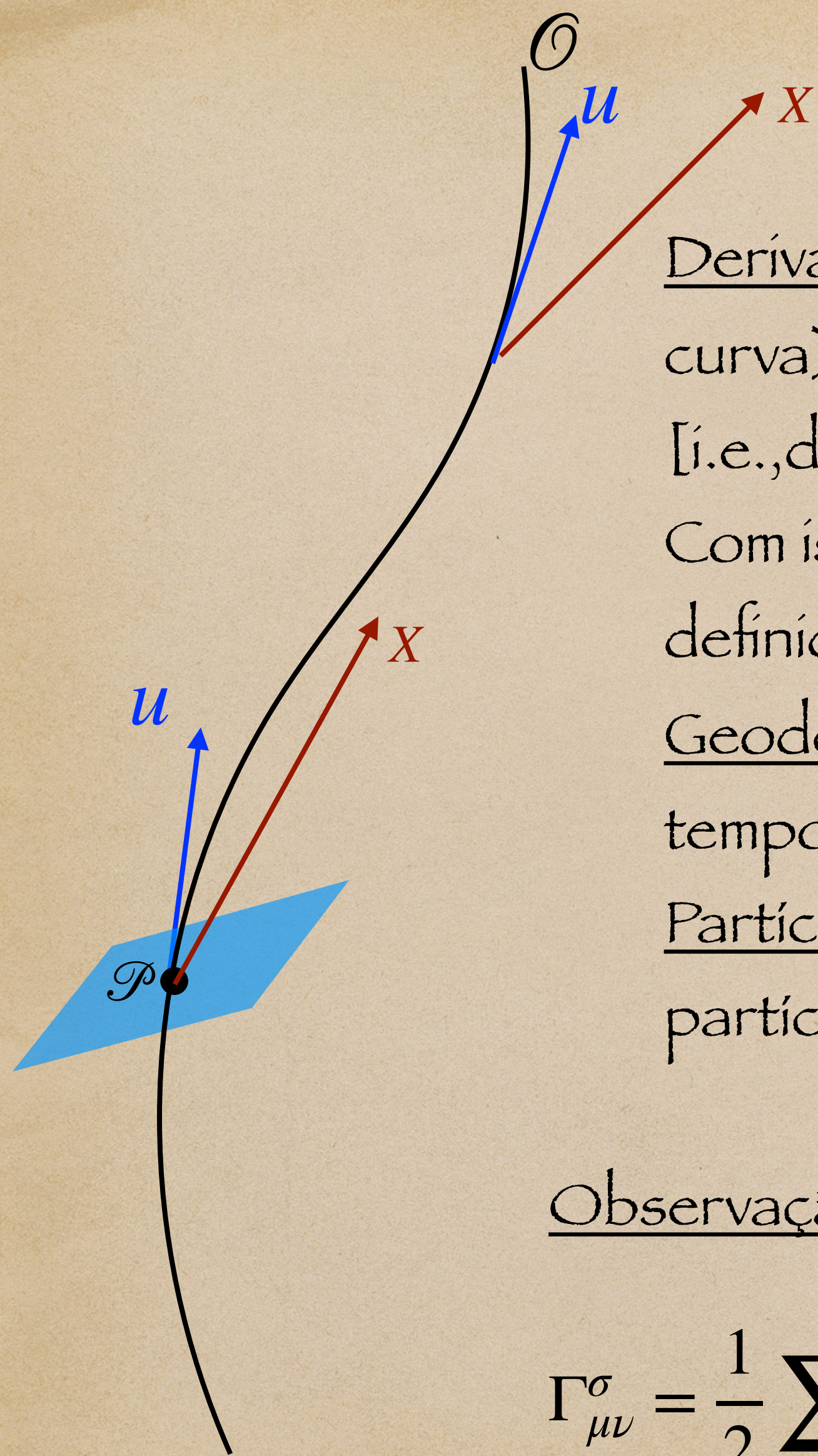
A direção de espacial propagação da partícula P (no evento Q) como medido pelo observador \mathcal{O}

$$\mathbf{n} = \frac{\mathbf{k}}{\omega} = \frac{\Pi_u k}{-g(u, k)}$$

Como $g(k, k) = 0$ e $k = -g(u, k)u + \Pi_u k = \omega(u + \mathbf{n})$ temos

$$\mathbf{n}^2 = g(\mathbf{n}, \mathbf{n}) = 1 \rightarrow 1 = |\mathbf{n}| = \frac{|\mathbf{k}|}{\omega} \text{ e portanto temos a relação de dispersão usual } \omega = |\mathbf{k}|$$





Derivada covariante na direção u : D_u (leva 4-vetores em 4-vetores para cada ponto da curva). Ela satisfaz (entre outras propriedades): $D_u g(X, Y) = g(D_u X, Y) + g(X, D_u Y)$ [i.e., derivada da métrica é zero]

Com isso, podemos definir uma noção de paralelismo ao longo da curva. Um campo X definido sobre a curva é propagado paralelamente se $D_u X = 0$

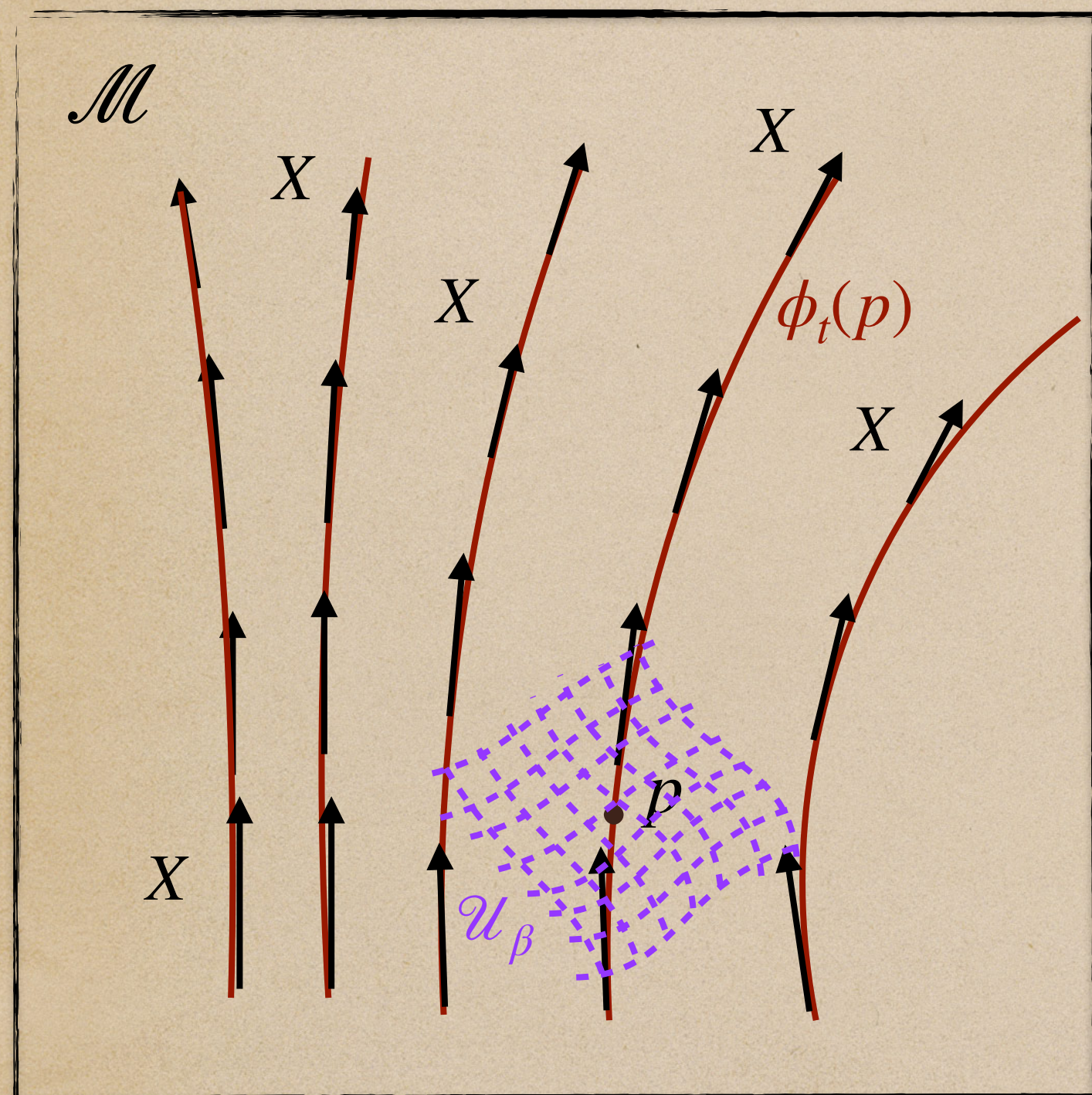
Geodésicas: Curvas auto-paralelas $D_u u = 0$ ("curvas mais retas possíveis no espaço-tempo")

Partículas livres (com ou sem massa): Movem-se em geodésicas [do tipo-tempo para partículas com massa e do tipo luz para partículas sem massa]

Observação: Em coordenadas, $D_u u = 0 \leftrightarrow \frac{d^2 x^\mu}{d\tau^2} + \sum_{\sigma\lambda} \Gamma_{\sigma\lambda}^\mu \frac{dx^\sigma}{d\tau} \frac{dx^\lambda}{d\tau} = 0$, $u^\mu = \frac{dx^\mu}{d\tau}$, onde

$$\Gamma_{\mu\nu}^\sigma = \frac{1}{2} \sum_{\rho} g^{\sigma\rho} \left(\frac{\partial g_{\mu\rho}}{\partial x^\nu} + \frac{\partial g_{\rho\nu}}{\partial x^\mu} - \frac{\partial g_{\mu\nu}}{\partial x^\rho} \right) \text{ e note que } \Gamma_{\mu\nu}^\sigma = \Gamma_{\nu\mu}^\sigma.$$

Derivada Covariante



Observação: A derivada covariante de um campo vetorial X na direção Y :

$$D_Y X = \sum_{\sigma, \nu} Y^\nu \left[\frac{\partial X^\sigma}{\partial x^\nu} + \sum_{\mu} \Gamma_{\mu\nu}^\sigma X^\mu \right] \frac{\partial}{\partial x^\sigma},$$

vamos denotar o termo entre chaves por $\nabla_\nu X^\sigma$ e elas definem as componentes do tensor (1,1)

$$\nabla_\nu X^\sigma = \frac{\partial X^\sigma}{\partial x^\nu} + \sum_{\mu} \Gamma_{\mu\nu}^\sigma X^\mu$$

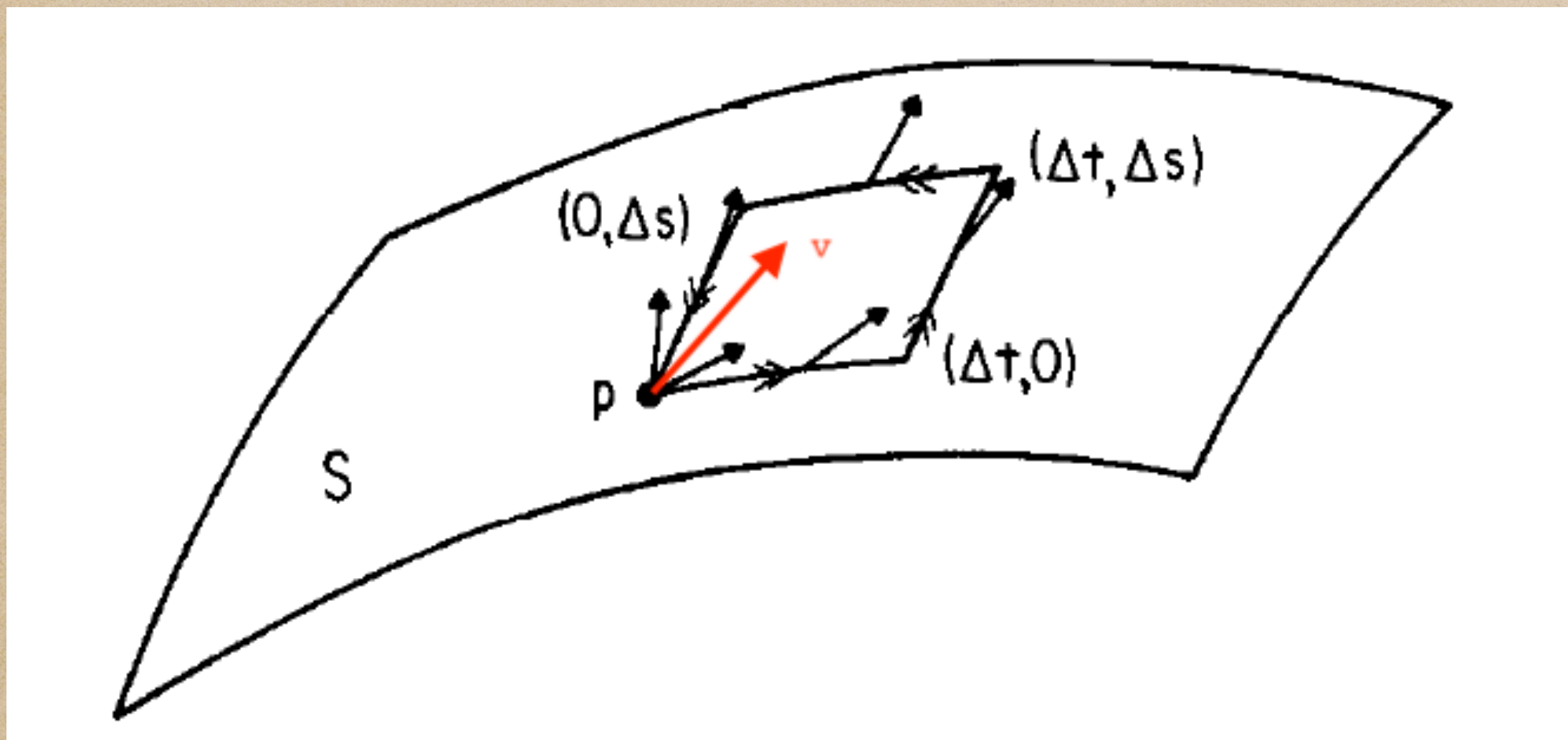
chamada de derivada covariante de X . Para covetores (1-formas) ω

$$\nabla_\nu \omega_\sigma = \frac{\partial \omega_\sigma}{\partial x^\nu} - \sum_{\mu} \Gamma_{\sigma\nu}^\mu \omega_\mu$$

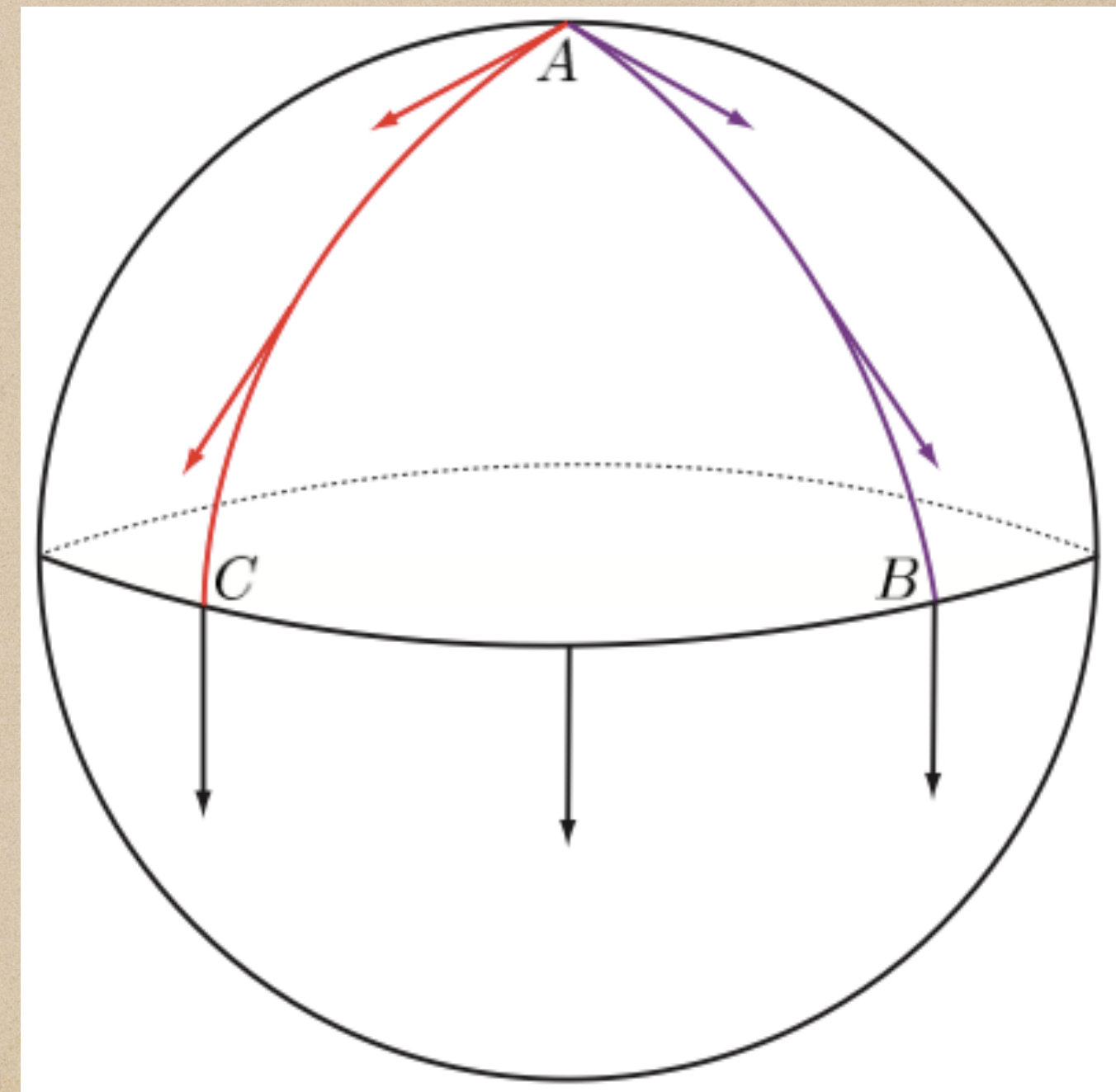
$$\left\{ \frac{\partial}{\partial x^1}, \dots, \frac{\partial}{\partial x^n} \right\}$$

$$D_{\partial_\nu} \partial_\mu \equiv \sum_{\sigma} \Gamma_{\mu\nu}^\sigma \partial_\sigma$$

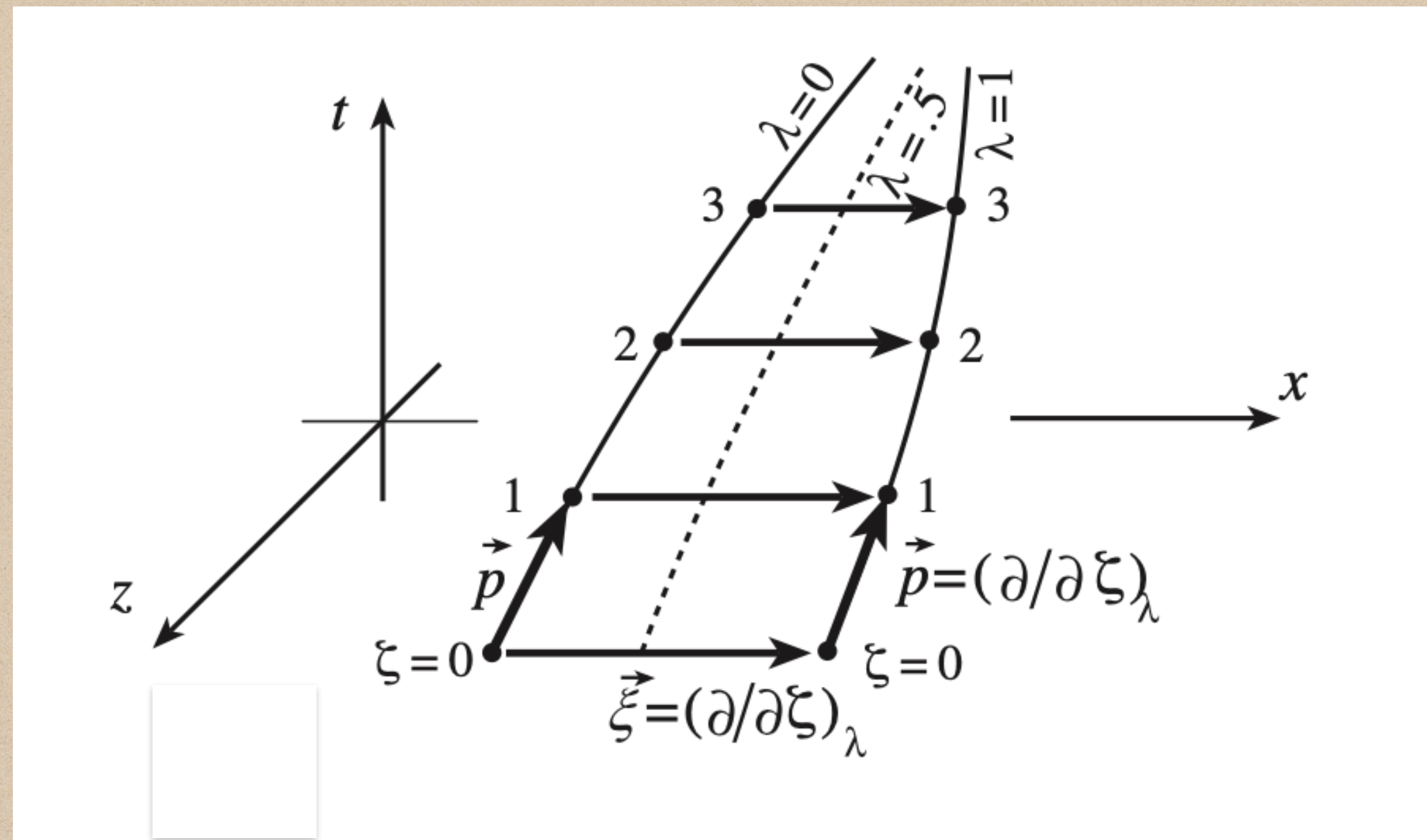
CURVATURA: $(D_s D_u - D_u D_s) X^a = -R_{bcd}{}^a u^b s^c X^d$



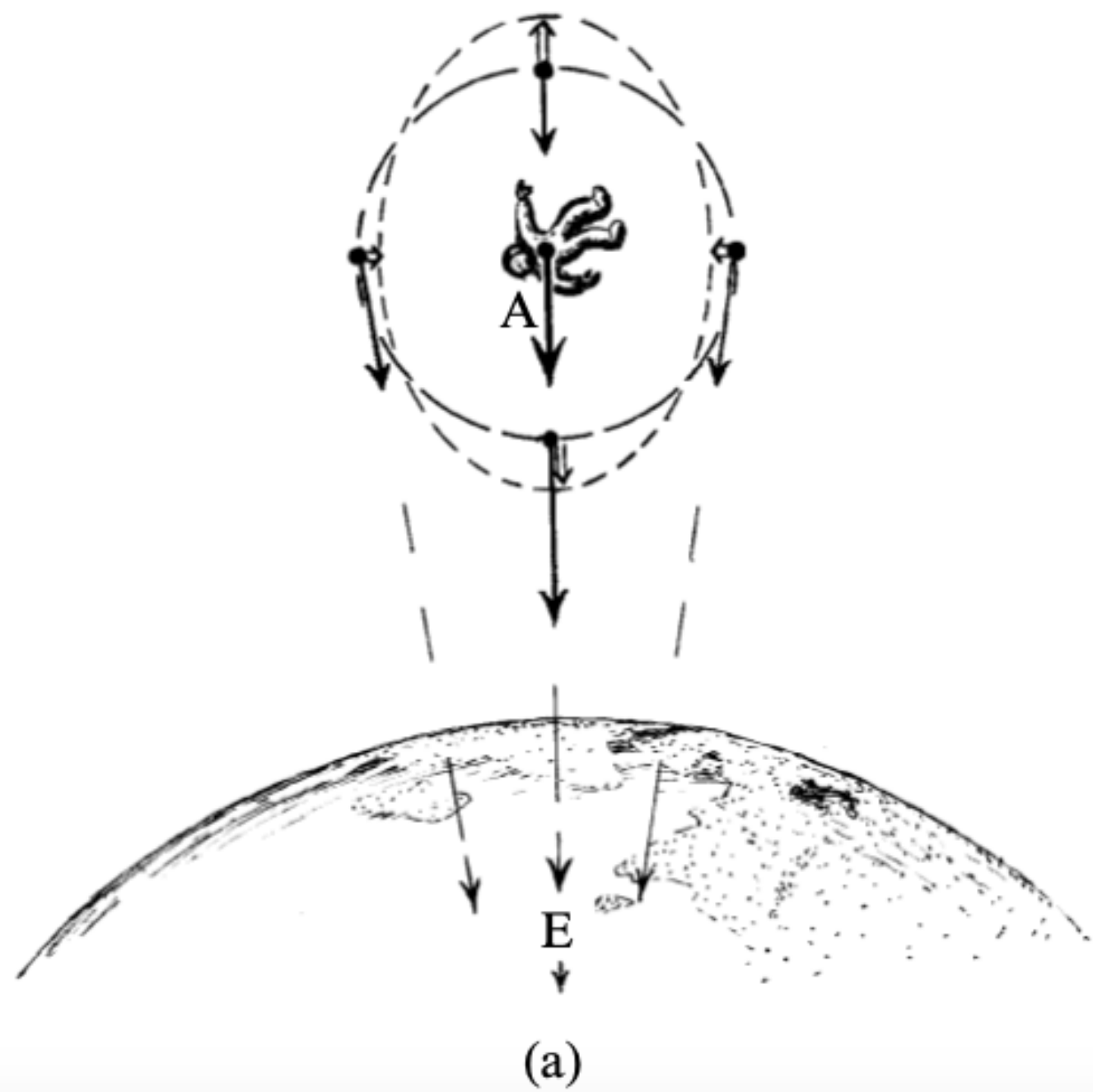
$$\delta X^a = R_{bcd}{}^a u^b s^c X^d \Delta t \Delta s$$



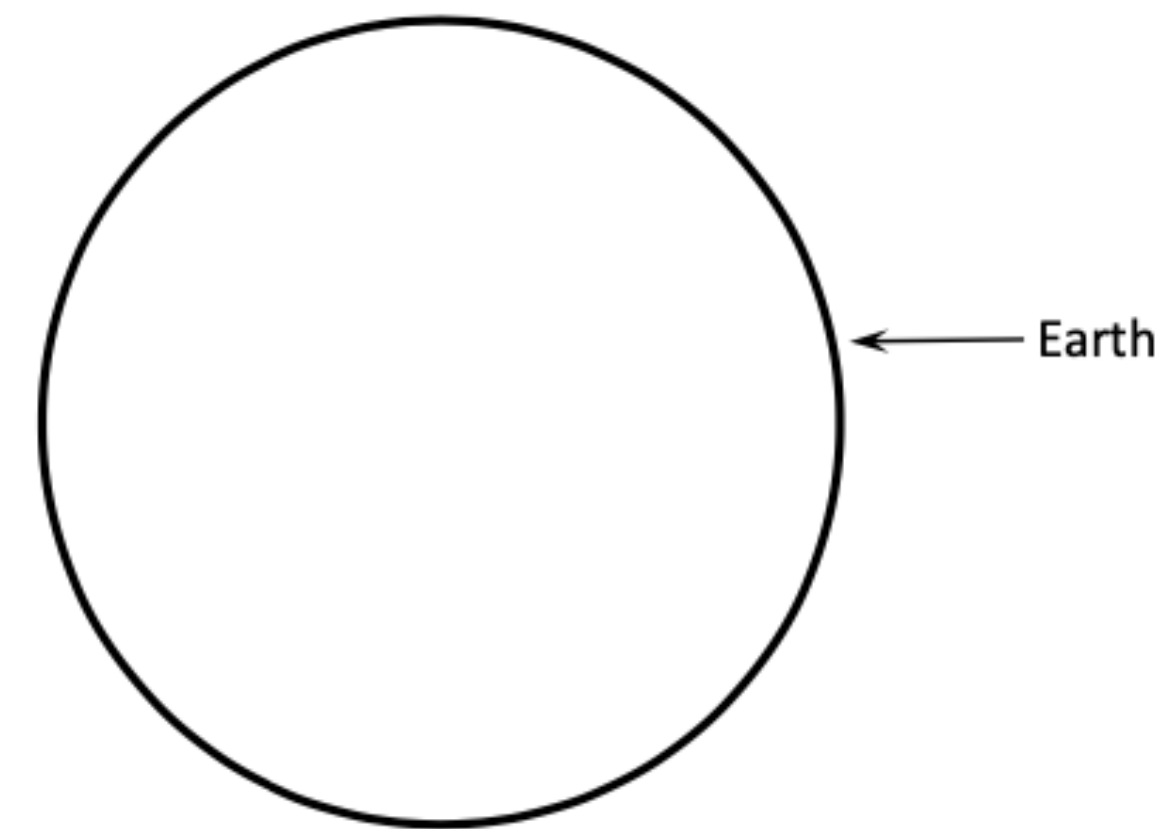
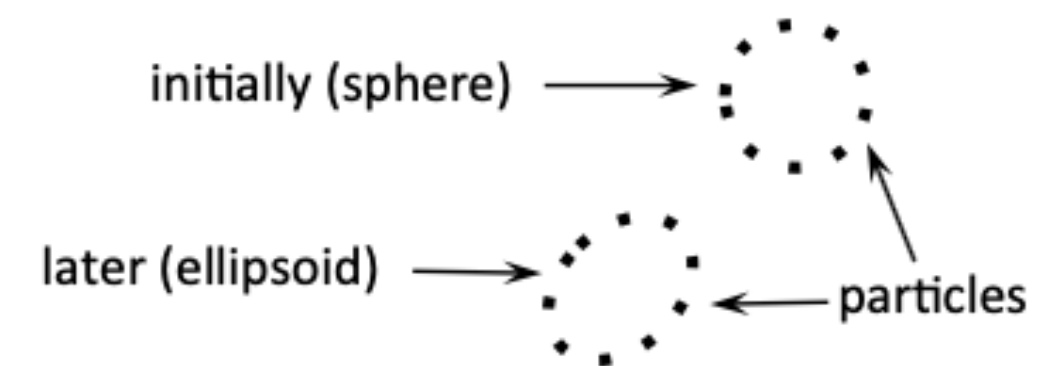
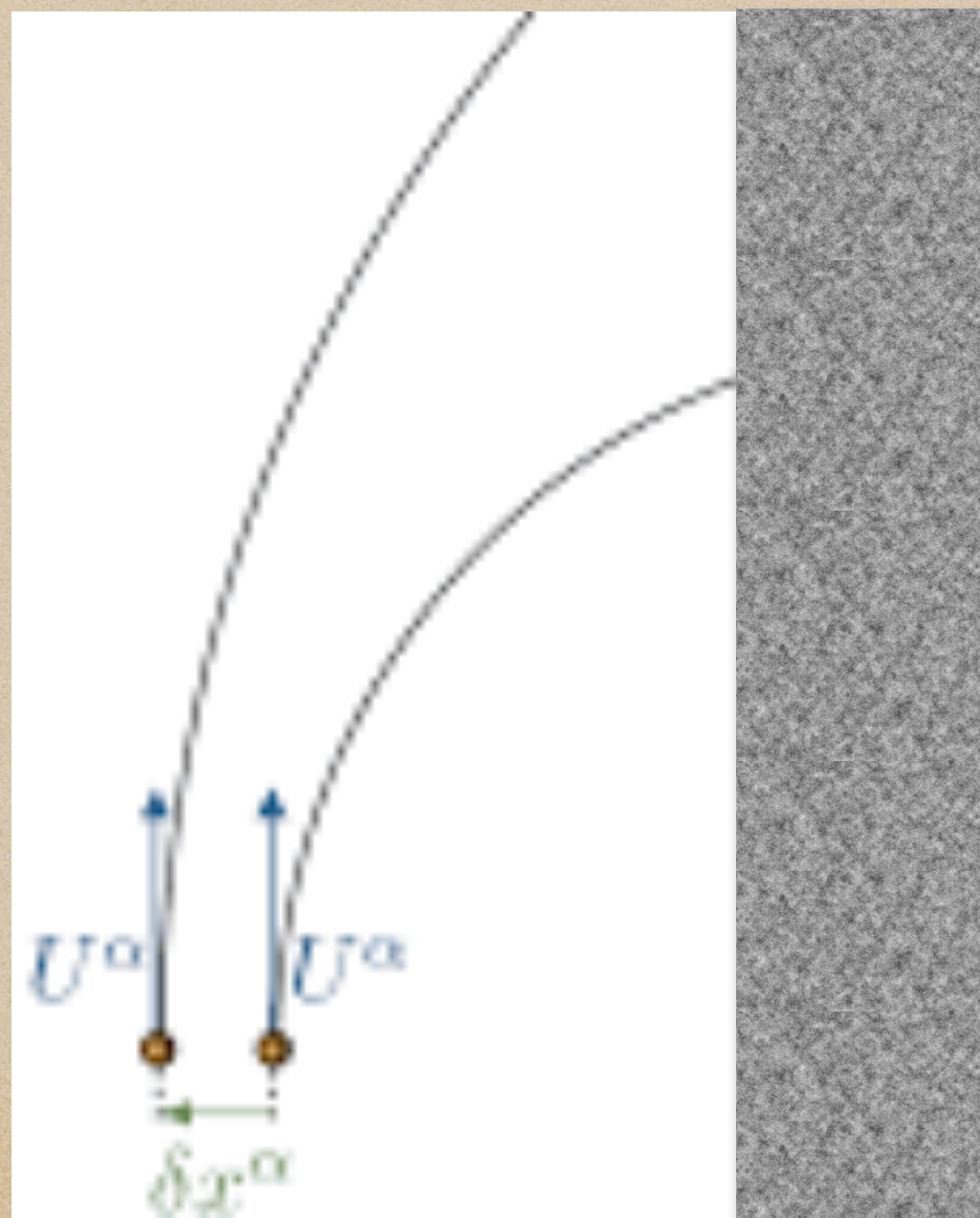
CURVATURA: $(D_s D_u - D_u D_s) X^a = -R_{bcd}{}^a u^b s^c X^d$



$$D_u D_u \xi^a = -R_{bcd}{}^a u^b \xi^c u^d$$



$$D_u D_u \xi^a = -R_{bcd}{}^a u^b \xi^c u^d$$



As Equações de Einstein

Chegamos assim às Equações de Einstein

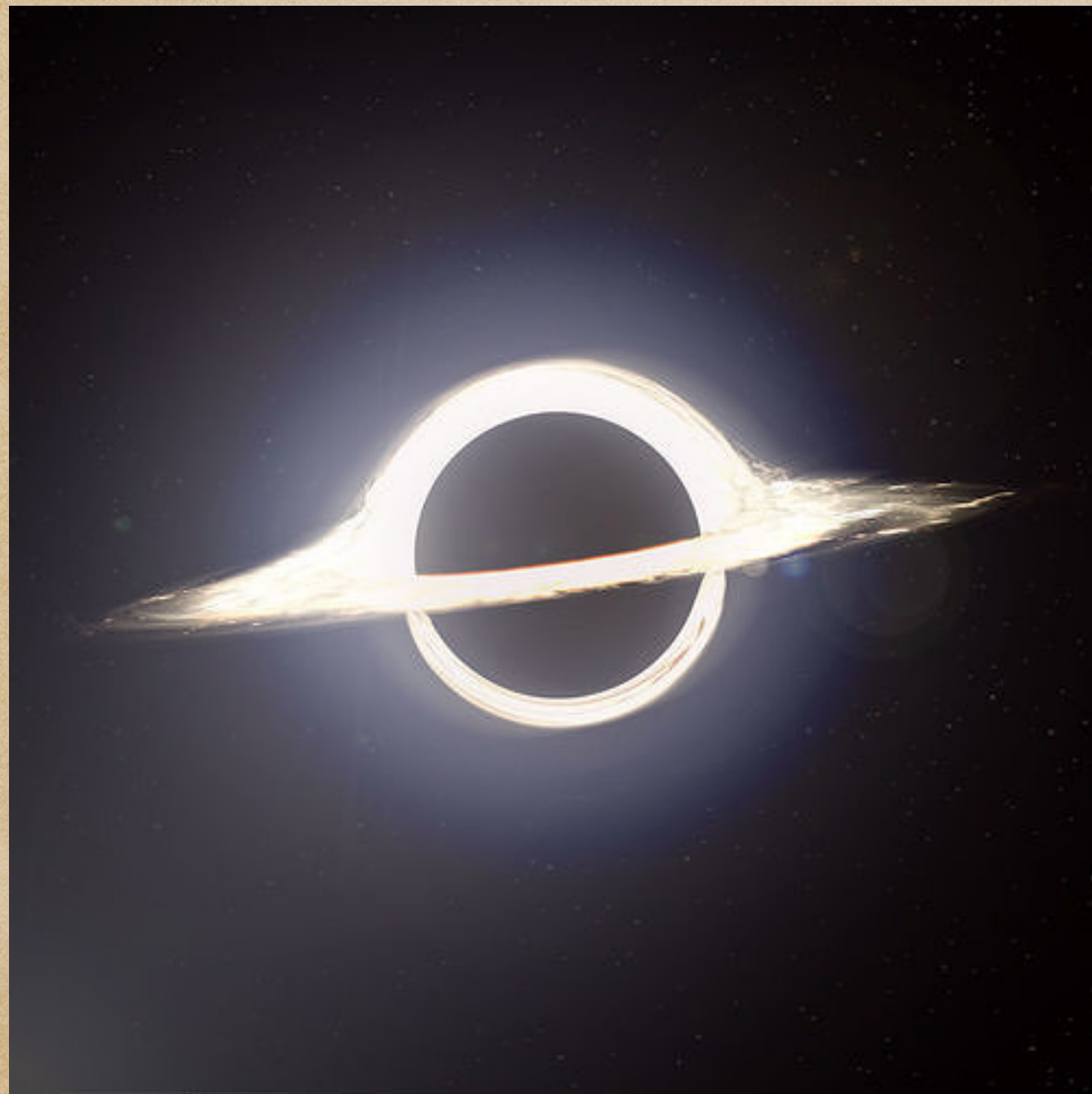
$$G[g] \equiv \mathfrak{Ric}[g] - \frac{1}{2}R[g]g = 8\pi T[g, \Psi] \quad (G_{ab}[g] = R_{ab} - \frac{1}{2}Rg_{ab} = 8\pi T_{ab})$$

Que relacionam o conteúdo de energia-momento do espaço-tempo com a sua geometria de uma maneira dinâmica.

Nas palavras de J. Wheeler:

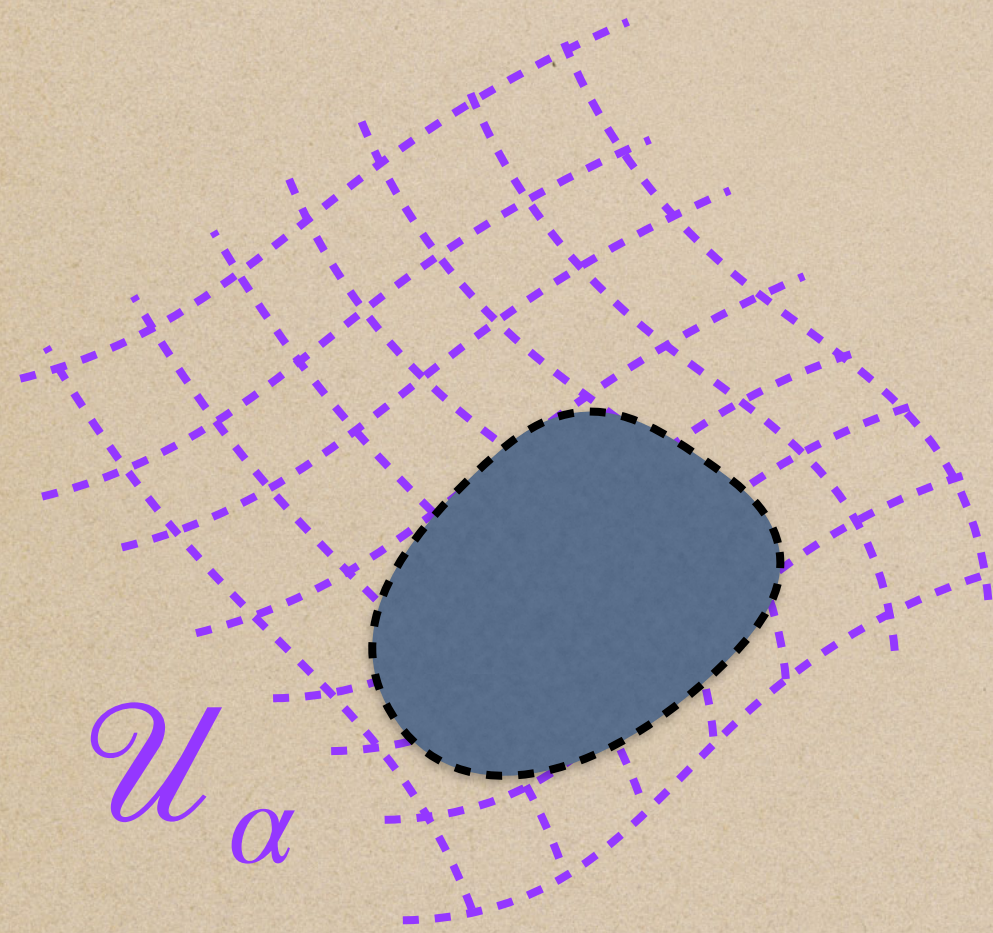
“Spacetime tells matter how to move;
matter tells spacetime how to curve.”

$G[g] \equiv \mathfrak{Ric}[g] - \frac{1}{2}R[g]g$ é o tensor de Einstein, obtido a partir do tensor de curvatura \mathfrak{R} (que, por conta da derivada covariante ser sem torção e compatível com a métrica g , depende apenas de g) e $T[g, \Psi]$ é o tensor de energia-momento que descreve a distribuição de matéria Ψ .



Áreas e Volumes

\mathcal{M}



Volumes Espaço-Temporais: Em uma variedade Lorentziana (\mathcal{M}, g) , tome uma região \mathcal{V} que está contida em uma carta local $(\mathcal{U}_\alpha, \psi_\alpha)$. O volume espaço-temporal da região \mathcal{V} é dado por

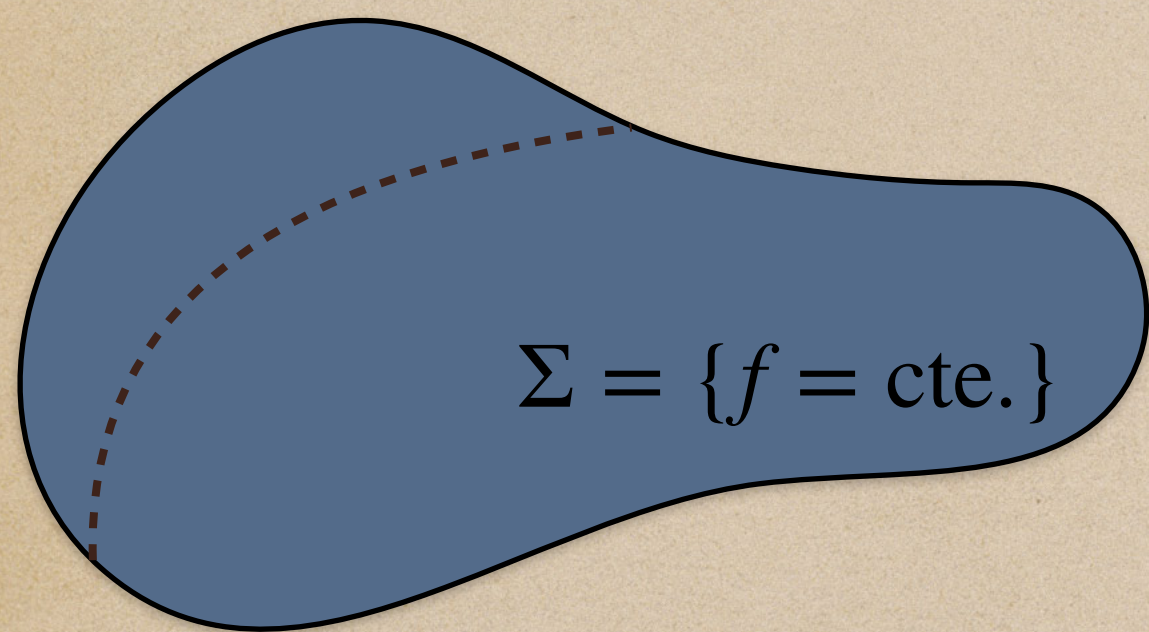
$$\text{Vol}(\mathcal{V}) = \int_{\mathcal{V}} \sqrt{-g} dx^1 \cdots dx^n, \text{ onde } g \equiv \det g_{\mu\nu}, g_{\mu\nu} \equiv g(\partial_\mu, \partial_\nu) \text{ [ou ainda } ds^2 = \sum_{\mu, \nu} g_{\mu\nu} dx^\mu dx^\nu \text{].}$$

Observação: Tal definição não depende da coordenada escolhida (de fato, é possível torna-la explicitamente invariante de coordenadas usando o conceito de n-formas e integrais de n-formas)

$$\left\{ \frac{\partial}{\partial x^1}, \dots, \frac{\partial}{\partial x^n} \right\} \quad \{ dx^1, \dots, dx^n \}$$

Áreas e Volumes

\mathcal{M}



Volumes de Superfícies (n-1)-dimensionais: Em uma variedade Lorentziana (\mathcal{M}, g) , tome uma região subvariedade n-1 dimensional Σ (superfície definida por uma função $f = \text{cte.}$, com $f \in \mathcal{F}(\mathcal{M})$). Vamos tomar uma carta local tal que $x^1 = f$ e $g_{1\nu \neq 1} \equiv g(\partial_1, \partial_{\nu \neq 1}) = 0$ (ou seja, a superfície é definida via $x^1 = \text{cte.}$ e os x^j , $j = 2, \dots, n$ definem coordenadas em Σ . No entanto, estamos assumindo que ∂_1 não é tipo-luz). Nessas coordenadas (e é sempre possível escolher um tal sistema de coordenadas), a métrica fica na forma

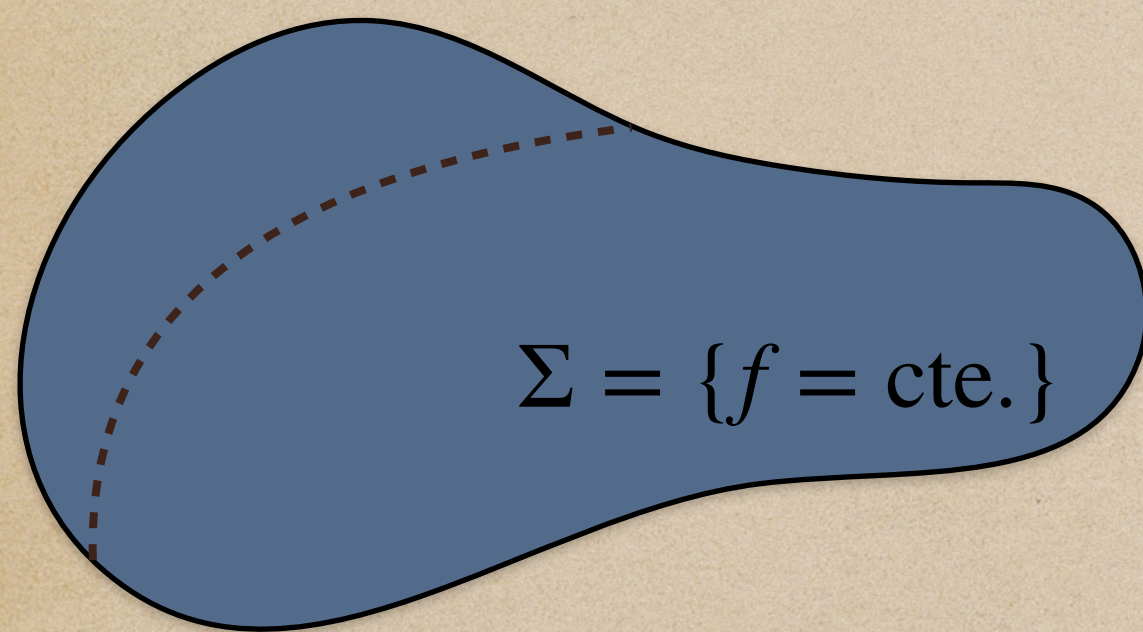
$$g = g_{11}dx^1 \otimes dx^1 + \sum_{i,j=2}^n g_{ij}dx^i \otimes dx^j \quad (\text{ou } ds^2 = g_{11}(dx^1)^2 + \sum_{i,j} g_{ij}dx^i dx^j)$$

A métrica $g|_{\Sigma}$ induzida sobre Σ é obtida fazendo $x^1 = \text{cte.}$ e, assim

$$g|_{\Sigma} = \sum_{i,j=2}^n g_{ij}dx^i \otimes dx^j \quad (\text{ou } ds^2 = \sum_{i,j} g_{ij}dx^i dx^j)$$

Áreas e Volumes

\mathcal{M}



Volumes de Superfícies (n-1)-dimensionais: Tendo a métrica $g|_{\Sigma}$

induzida sobre Σ , $g|_{\Sigma} = \sum_{i,j=2}^n g_{ij} dx^i \otimes dx^j$ (ou $ds^2 = \sum_{i,j} g_{ij} dx^i dx^j$), o volume

da hipersúcie Σ é

$$\text{Vol}(\Sigma) = \int_{\Sigma} \sqrt{|h|} dx^2 \dots dx^n, \text{ onde } h \equiv \det g_{ij},$$

Áreas e Volumes

Volumes de Superfícies (n-2)-dimensionais: Em uma variedade Lorentziana (\mathcal{M}, g) , tome uma região subvariedade n-2 dimensional \mathcal{S} (superfície definida por duas funções $f_j = c_j$, com $f_j \in \mathcal{F}(\mathcal{M})$, $j = 1, 2$). Vamos tomar uma carta local tal que $x^1 = f_1$, $x^2 = f_2$ e $g_{\alpha\nu} \equiv g(\partial_\alpha, \partial_{\nu \neq 1, 2}) = 0$, $\alpha = 1, 2$, e $g_{12} \equiv g(\partial_1, \partial_2) = 0$ [embora essa última, de fato, não seja necessária]. Ou seja, a superfície é definida via $x^1 = c_1, x^2 = c_2$ e os x^α , $j = 3, \dots, n$ definem coordenadas em \mathcal{S} . Nessas coordenadas (e é sempre possível escolher um tal sistema de coordenadas), a métrica fica na forma

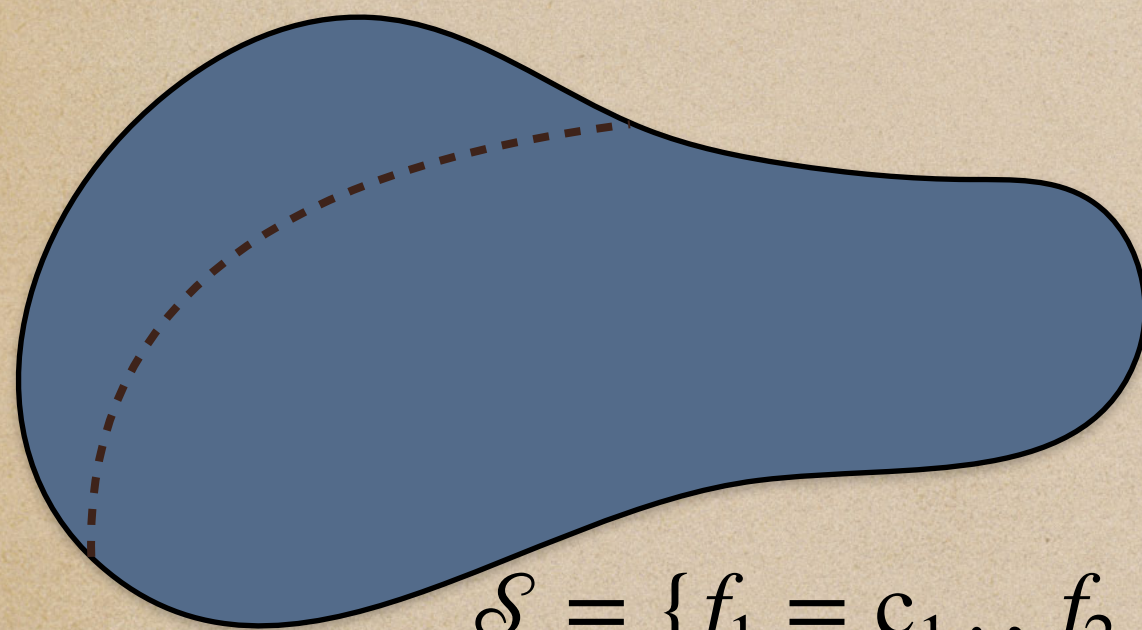
$$g = g_{11}dx^1 \otimes dx^1 + g_{22}dx^2 \otimes dx^2 + \sum_{\alpha, \beta=3}^n g_{\alpha\beta}dx^\alpha \otimes dx^\beta \text{ (ou)}$$

$$ds^2 = g_{11}(dx^1)^2 + g_{22}(dx^2)^2 + \sum_{\alpha, \beta=3}^n g_{\alpha\beta}dx^\alpha dx^\beta$$

A métrica $g|_{\mathcal{S}}$ induzida sobre Σ é obtida fazendo $x^1 = \text{cte.}$ e, assim

$$g|_{\mathcal{S}} = \sum_{\alpha, \beta=3}^n g_{\alpha\beta}dx^\alpha \otimes dx^\beta \text{ (ou } ds^2 = \sum_{\alpha, \beta} g_{\alpha\beta}dx^\alpha dx^\beta)$$

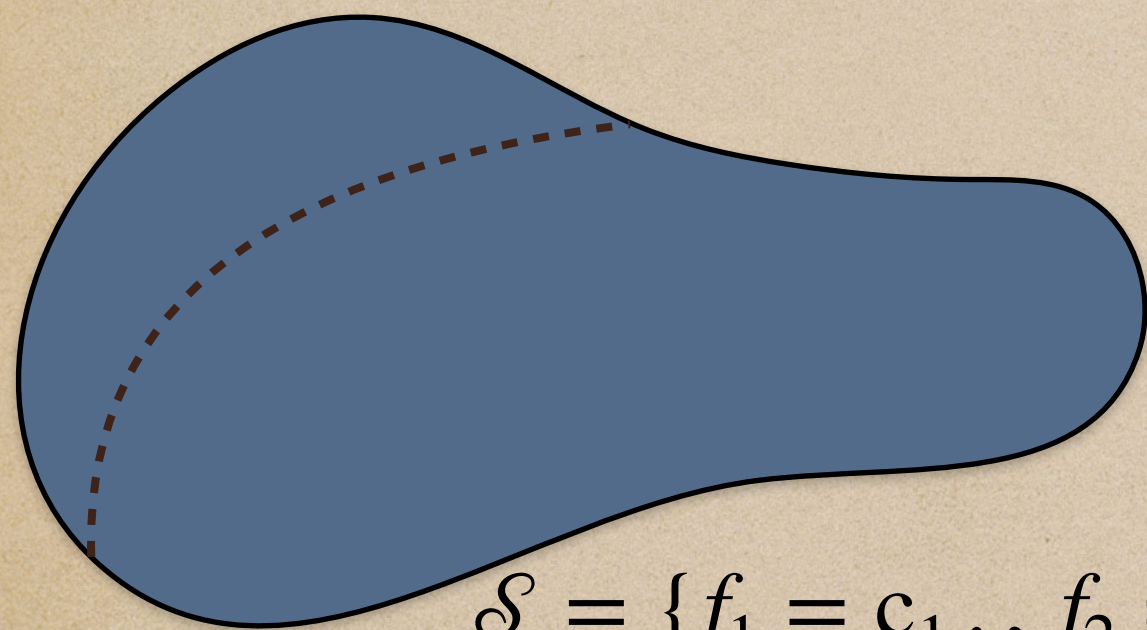
\mathcal{M}



$$\mathcal{S} = \{f_1 = c_1, f_2 = c_2\}$$

Áreas e Volumes

\mathcal{M}



$$\mathcal{S} = \{f_1 = c_1, \dots, f_2 = c_2\}$$

Volumes de Superfícies (n-2)-dimensionais: Tendo a métrica $g|_{\mathcal{S}}$

induzida sobre \mathcal{S} , $g|_{\mathcal{S}} = \sum_{\alpha, \beta=3}^n g_{\alpha\beta} dx^\alpha \otimes dx^\beta$ (ou $ds^2 = \sum_{\alpha, \beta} g_{\alpha\beta} dx^\alpha dx^\beta$), o

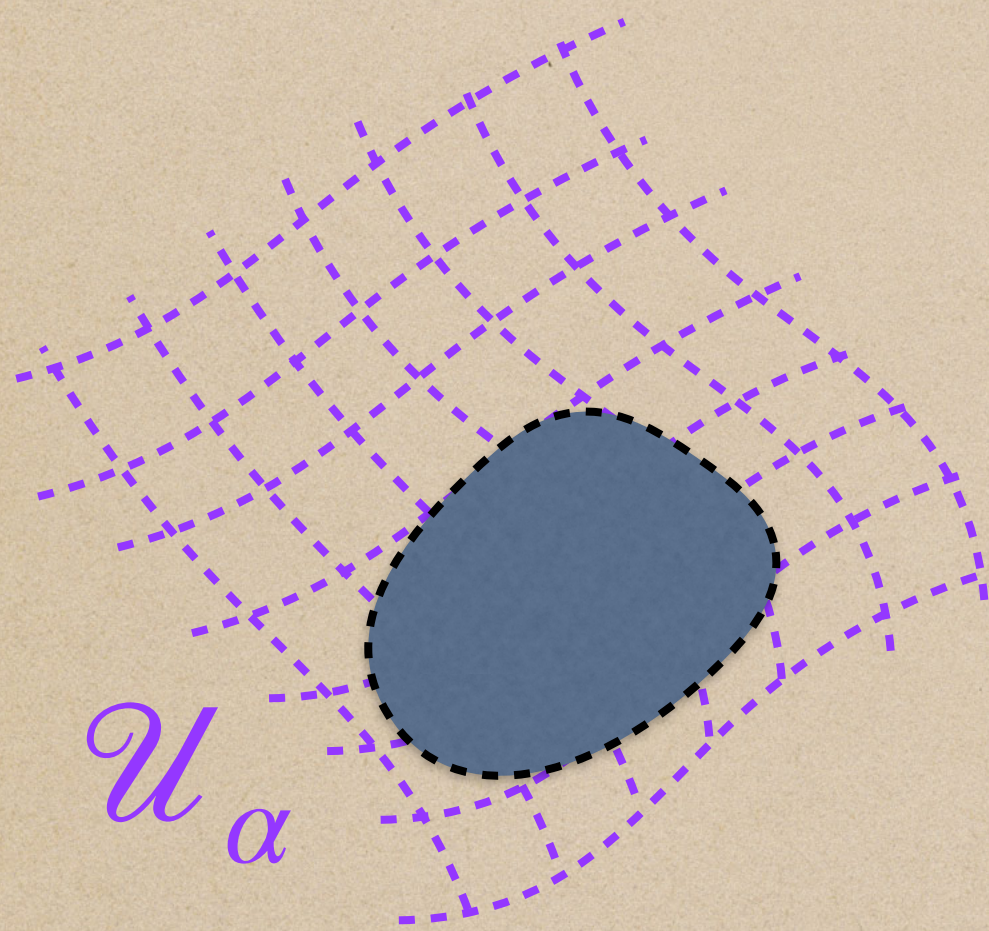
volume da superfície \mathcal{S} é

$$\text{Vol}(\mathcal{S}) = \int_{\mathcal{S}} \sqrt{|\sigma|} dx^3 \dots dx^n, \text{ onde } \sigma \equiv \det g_{\alpha\beta}.$$

Observação: Quando $n=4$ (caso de mais interesse para nós), Σ é uma superfície 3-dimensional e $\text{Vol}(\Sigma)$ define um volume. Já \mathcal{S} define uma superfície 2-dimensional e $\text{Vol}(\mathcal{S})$ define a área de \mathcal{S}

Integração

\mathcal{M}



Integração em \mathcal{M} : Em uma variedade Lorentziana (\mathcal{M}, g) , tome uma região \mathcal{V} que está contida em uma carta local $(\mathcal{U}_\alpha, \psi_\alpha)$ e uma função $f: \mathcal{M} \rightarrow \mathbb{R}$ (cuja representação coordenada é integrável em qualquer carta). A integral de f na região \mathcal{V} é dado por

$$\int_{\mathcal{V}} f \equiv \int_{\mathcal{V}} f(x^1, \dots, x^n) \sqrt{-g} dx^1 \dots dx^n, \text{ onde } g \equiv \det g_{\mu\nu}, g_{\mu\nu} \equiv g(\partial_\mu, \partial_\nu)$$

[ou ainda $ds^2 = \sum_{\mu, \nu} g_{\mu\nu} dx^\mu dx^\nu$] e $f(x^1, \dots, x^n) \equiv f \circ \psi_\alpha^{-1}(x^1, \dots, x^n)$ denota

a representação coordenada de f na carta usada.

Observação: Tal definição não depende da coordenada escolhida (de fato, é possível torna-la explicitamente invariante de coordenadas usando o conceito de n-formas e integrais de n-formas)

$$\left\{ \frac{\partial}{\partial x^1}, \dots, \frac{\partial}{\partial x^n} \right\} \quad \{dx^1, \dots, dx^n\}$$

Integração

Integração em Superfícies (n-1)-dimensionais: Tendo a métrica $g|_{\Sigma}$

induzida sobre Σ , $g|_{\Sigma} = \sum_{i,j=2}^n g_{ij} dx^i \otimes dx^j$ (ou $ds^2 = \sum_{i,j} g_{ij} dx^i dx^j$), a integral

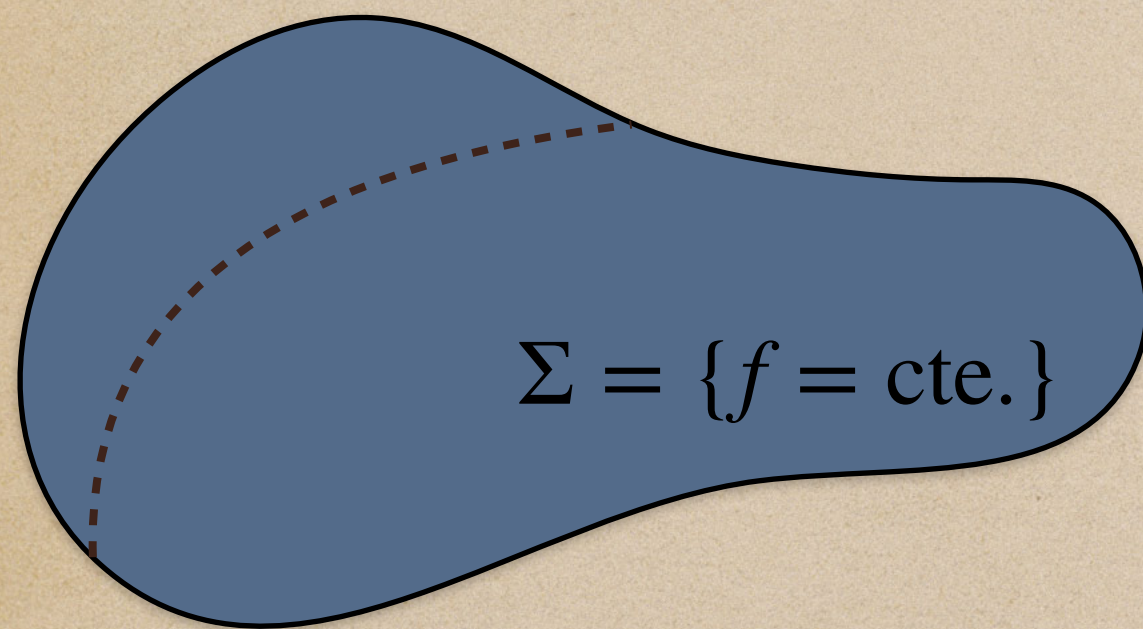
de uma função $f: \Sigma \rightarrow \mathbb{R}$ em Σ é

$$\int_{\Sigma} f = \int_{\Sigma} f(x^2, \dots, x^n) \sqrt{|h|} dx^2 \dots dx^n, \text{ onde } h \equiv \det g_{ij} \text{ e } f(x^2, \dots, x^n) \text{ é a}$$

representação coordenada da função f nas coordenadas $\{x^2, \dots, x^n\}$ de Σ (suposta integrável).

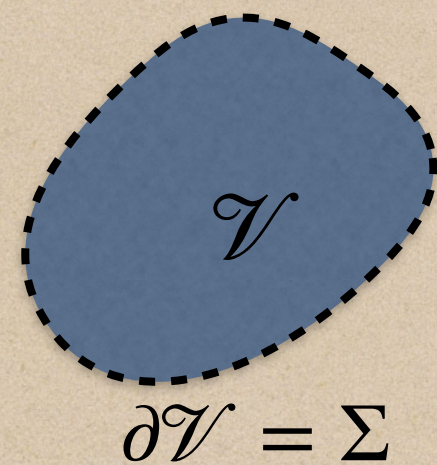
Observação: A definição para integral em superfícies \mathcal{S} de dimensão $n-k$ é completamente análoga.

\mathcal{M}



Integração

\mathcal{M}



Teorema de Gauss [versão campo vetorial]: Em uma variedade Lorentziana (\mathcal{M}, g) , tome um campo vetorial $X \in T_0^1\mathcal{M}$ e uma região n -dimensional \mathcal{V} cuja fronteira $\partial\mathcal{V} = \Sigma$ é uma superfície $(n-1)$ -dimensional.

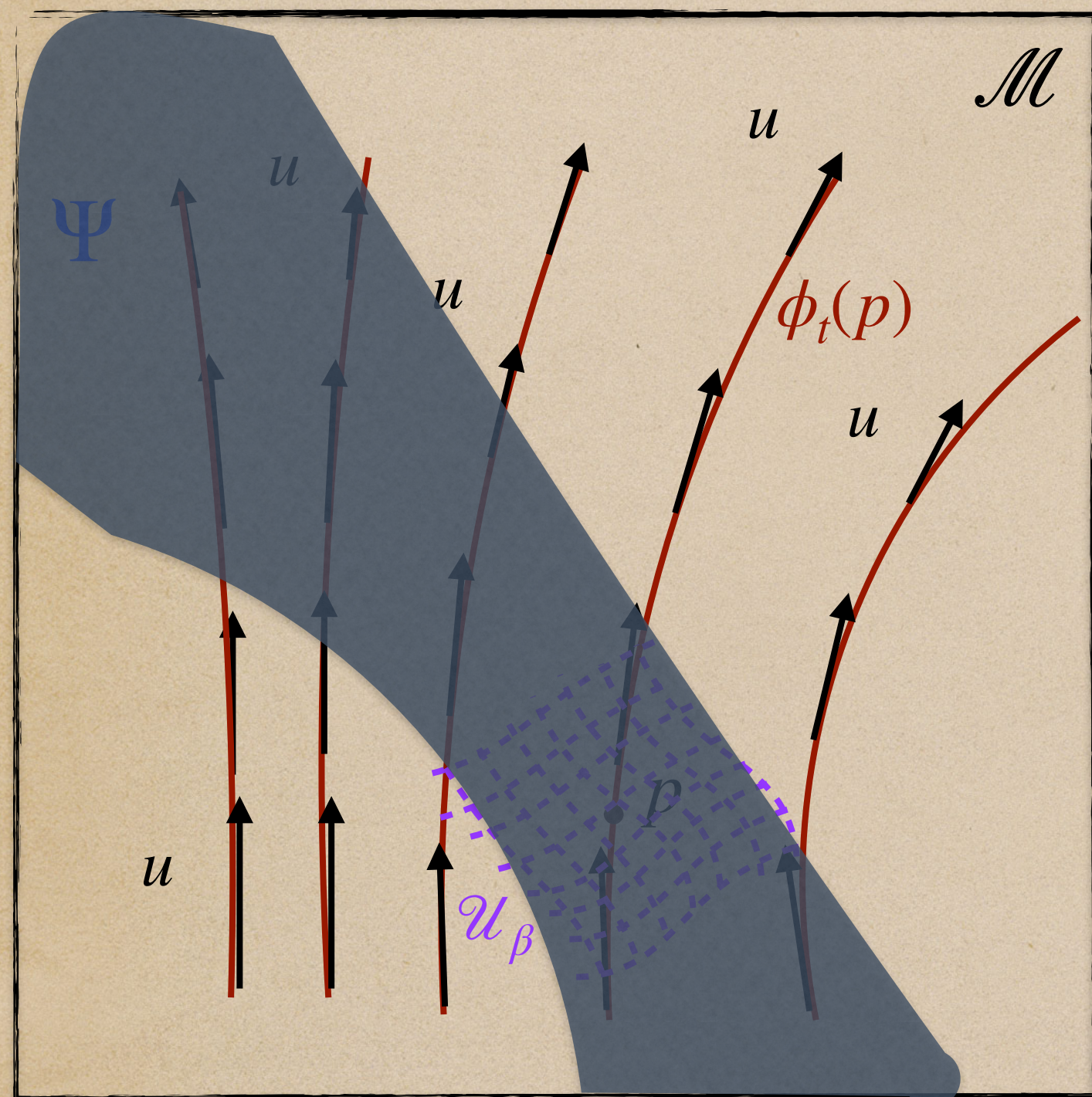
Então

$$\int_{\mathcal{V}} \nabla_a X^a = \int_{\partial\mathcal{V}} X^a n_a,$$

onde n é o vetor normal à $\partial\mathcal{V} = \Sigma$ que aponta "para dentro" de \mathcal{V} nas regiões de $\partial\mathcal{V} = \Sigma$ em que n é tipo-tempo e "para fora" de \mathcal{V} nas regiões de $\partial\mathcal{V} = \Sigma$ em que n é tipo-espaço.

$$\left\{ \frac{\partial}{\partial x^1}, \dots, \frac{\partial}{\partial x^n} \right\} \quad \{dx^1, \dots, dx^n\}$$

Símetrias



$$\left\{ \frac{\partial}{\partial x^0}, \dots, \frac{\partial}{\partial x^3} \right\} \quad \{dx^0, \dots, dx^3\}$$

Campos de Killing e Símetrias: Considere um espaço-tempo (\mathcal{M}, g) e uma partícula teste m nesse espaço-tempo. Na ausência de forças externas a partícula move-se ao longo de uma geodésica que será o extremo da ação associada à Lagrangiana

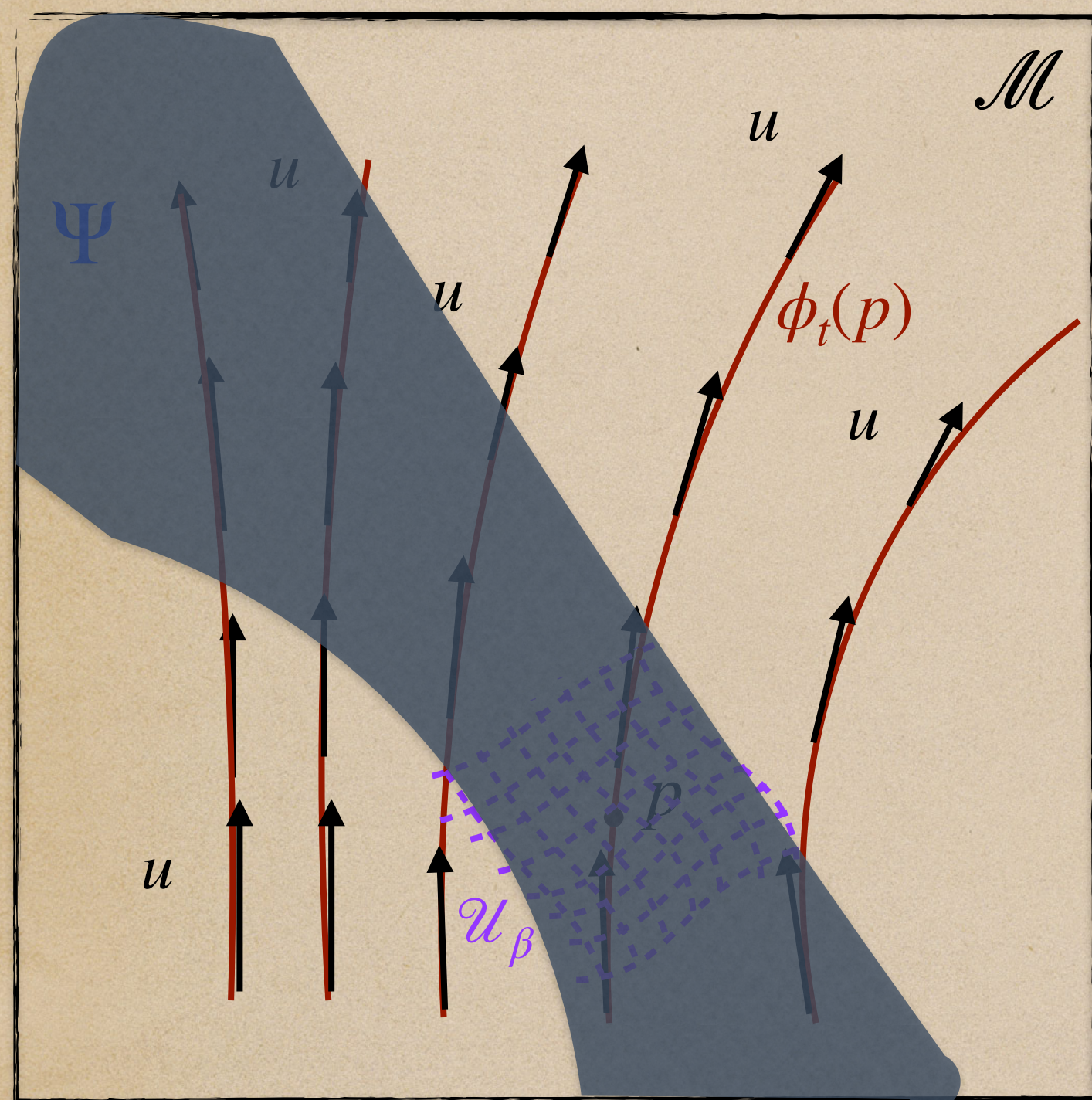
$$L(\gamma, \gamma') \equiv \frac{1}{2} \sum_{\mu, \nu} g_{\mu\nu} \frac{dx^\mu}{d\tau} \frac{dx^\nu}{d\tau}$$

Note então que, se existir algum sistema de coordenadas $\{x^\mu\}$ tal que as componentes $g_{\mu\nu}$ da métrica NÃO dependam de uma certa coordenada x^σ

(i.e., $\partial_\sigma g_{\mu\nu} = 0$) então $\frac{\partial L}{\partial x^\sigma} = 0$ e assim $\frac{d}{d\tau} \left(\frac{\partial L}{\partial \dot{x}^\sigma} \right) = 0$, onde $\dot{x}^\mu \equiv \frac{dx^\mu}{d\tau}$.

Portanto, temos uma quantidade conservada, $P_\sigma \equiv \frac{\partial L}{\partial \dot{x}^\sigma}$ ao longo da geodésica, associada à variável x^σ .

Símetrias



$$\left\{ \frac{\partial}{\partial x^0}, \dots, \frac{\partial}{\partial x^3} \right\} \quad \{dx^0, \dots, dx^3\}$$

Campos de Killing e Símetrias: O campo vetorial $\xi \equiv \frac{\partial}{\partial x^\sigma}$ em (\mathcal{M}, g) é dito um Campo de Killing e ele é o gerador das símetria associada à invariância da métrica por x^σ . Tal transformação de símetria é implementada via o fluxo (curvas integrais) ϕ_λ^ξ de ξ .

Note que $P_\sigma \equiv \frac{\partial L}{\partial \dot{x}^\sigma} = \sum_\mu g_{\sigma\mu} \dot{x}^\mu = g(\partial_\sigma, u)$, onde usamos que $g_{\sigma\mu} = g(\partial_\sigma, \partial_\mu)$ e

$u = \sum_\mu \dot{x}^\mu \partial_\mu$. Assim, podemos escrever a quantidade conservada associada à

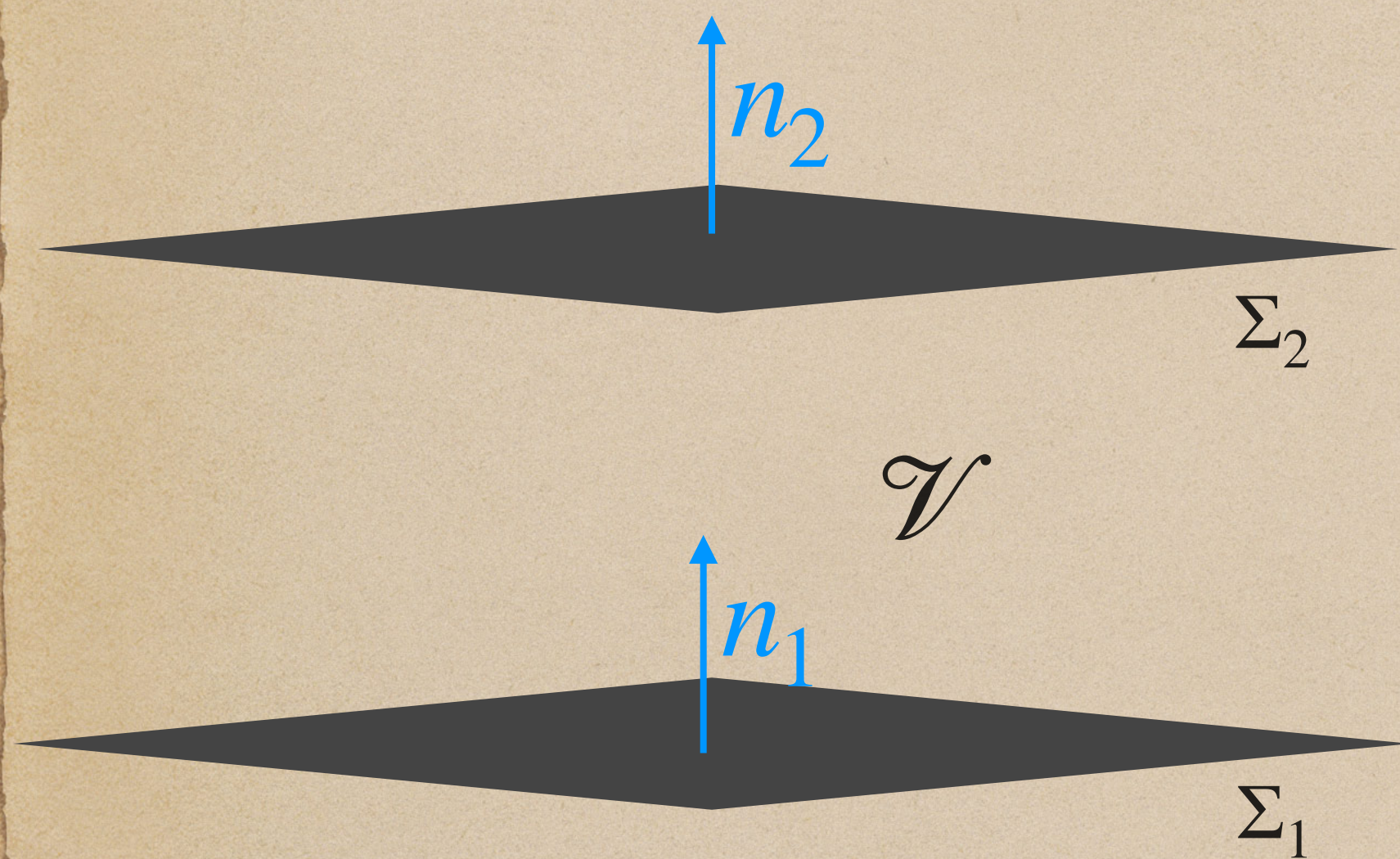
ξ como:

$$P_\sigma = g(\xi, u)$$

Observação: 1-Existe uma definição mais geral e livre de sistema de coordenadas para símetrias e campos de Killing usando o conceito de isomorfismos e derivadas de Lie.

2-Note que $\nabla_{(\mu} \xi_{\nu)} = 0$

Símetrias



$$\partial\mathcal{V} = \Sigma_1 \cup \Sigma_2$$

Campos de Killing e Símetrias: Quando temos um campo de Killing tipo-tempo ξ e matéria descrita por um tensor de energia momento $T^{\mu\nu}$

$\nabla_\mu T^{\mu\nu} = 0$, podemos definir uma corrente $J^\mu = -T^{\mu\nu}\xi_\nu$. Como campos de Killing satisfazem a condição $\nabla_{(\mu}\xi_{\nu)} = 0$, temos que

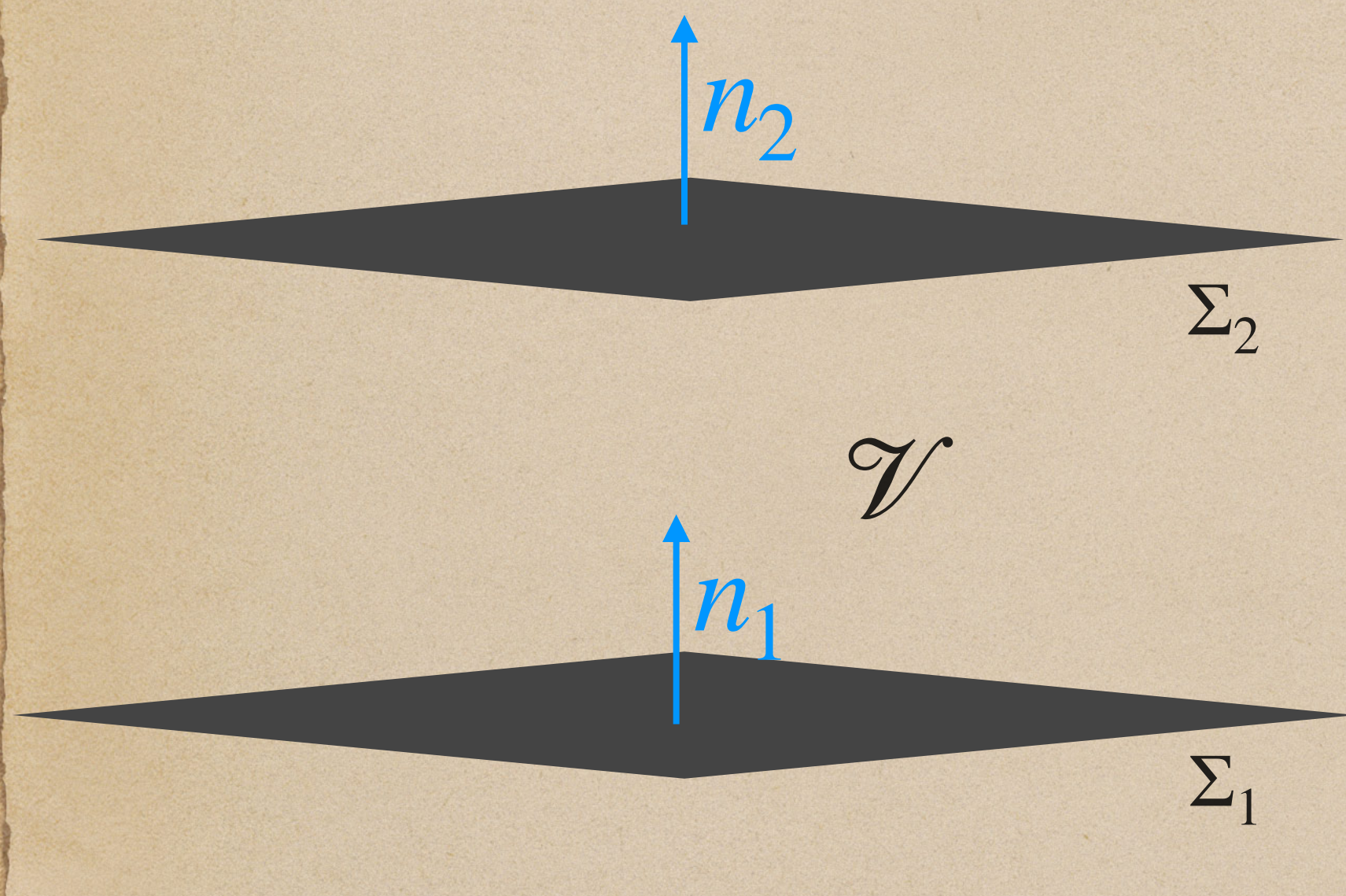
$$\nabla_\mu J^\mu = -(\nabla_\mu T^{\mu\nu})\xi_\nu - T^{\mu\nu}\nabla_\mu\xi_\nu = 0.$$

Assim $J^\mu = -T^{\mu\nu}\xi_\nu$ define uma corrente conservada que tem associada uma lei de conservação (no caso, conservação da energia). Para ver isso, vamos tomar a região \mathcal{V} mostrada ao lado e integrar $\nabla_\mu J^\mu = 0$ nela.

Assim, pelo teorema de Gauss

$$0 = \int_{\mathcal{V}} \nabla_\mu J^\mu = \int_{\partial\mathcal{V}} J^\mu n_\mu \equiv \int_{\Sigma_1} J^\mu (n_1)_\mu + \int_{\Sigma_2} J^\mu (-n_2)_\mu$$

Símetrias



$$\partial\mathcal{V} = \Sigma_1 \cup \Sigma_2$$

Campos de Killing e Símetrias: Temos então que

$$E_{\Sigma_j} \equiv - \int_{\Sigma_j} J^\mu (n_j)_\mu = \int_{\Sigma_j} T^{\mu\nu} (n_j)_\mu \xi_\nu,$$

interpretado como a energia total da matéria no instante Σ_j como medido por observadores que seguem as curvas integrais de ξ com $\xi^\mu \xi_\mu = -1$ é conservada:

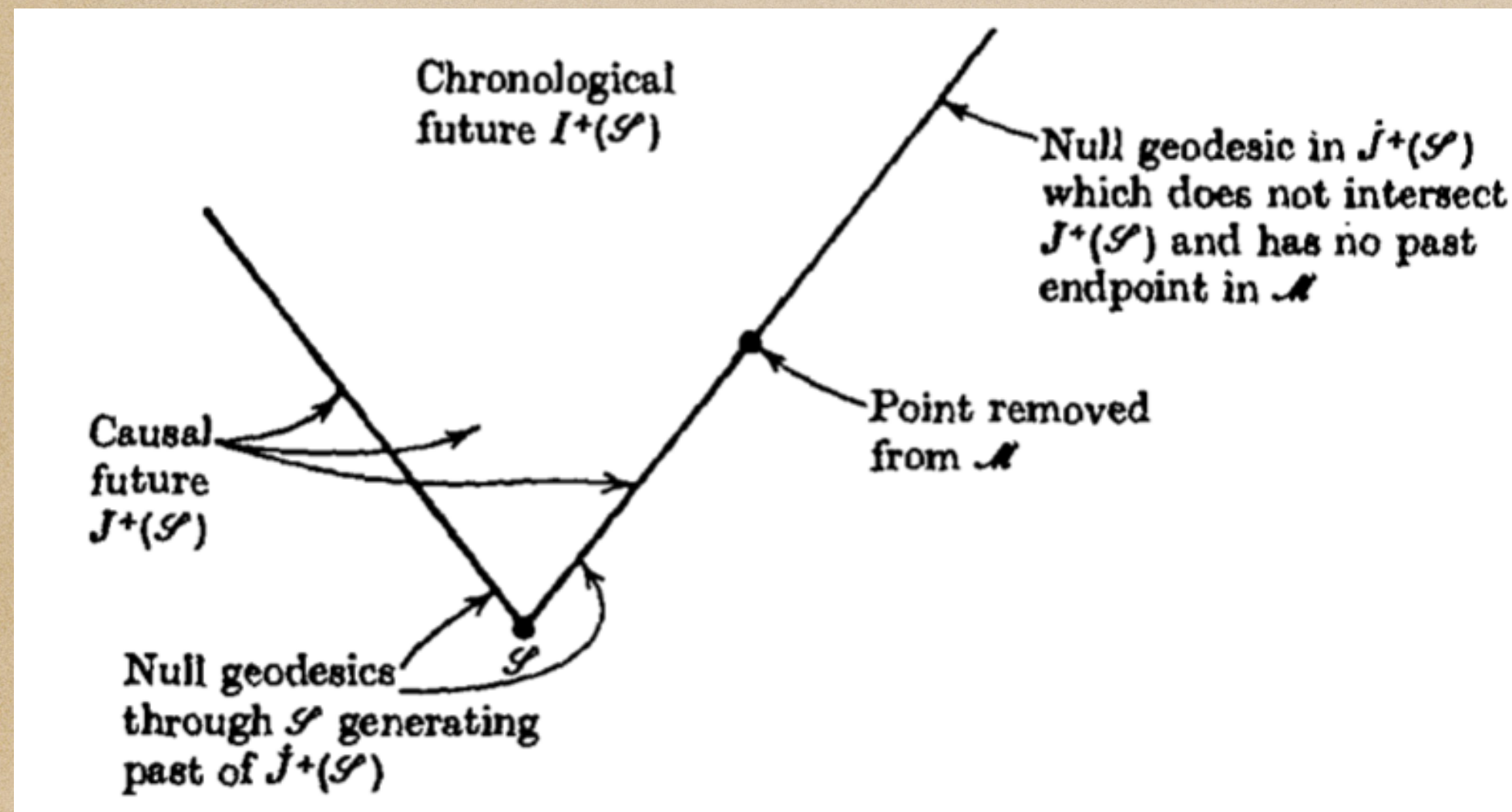
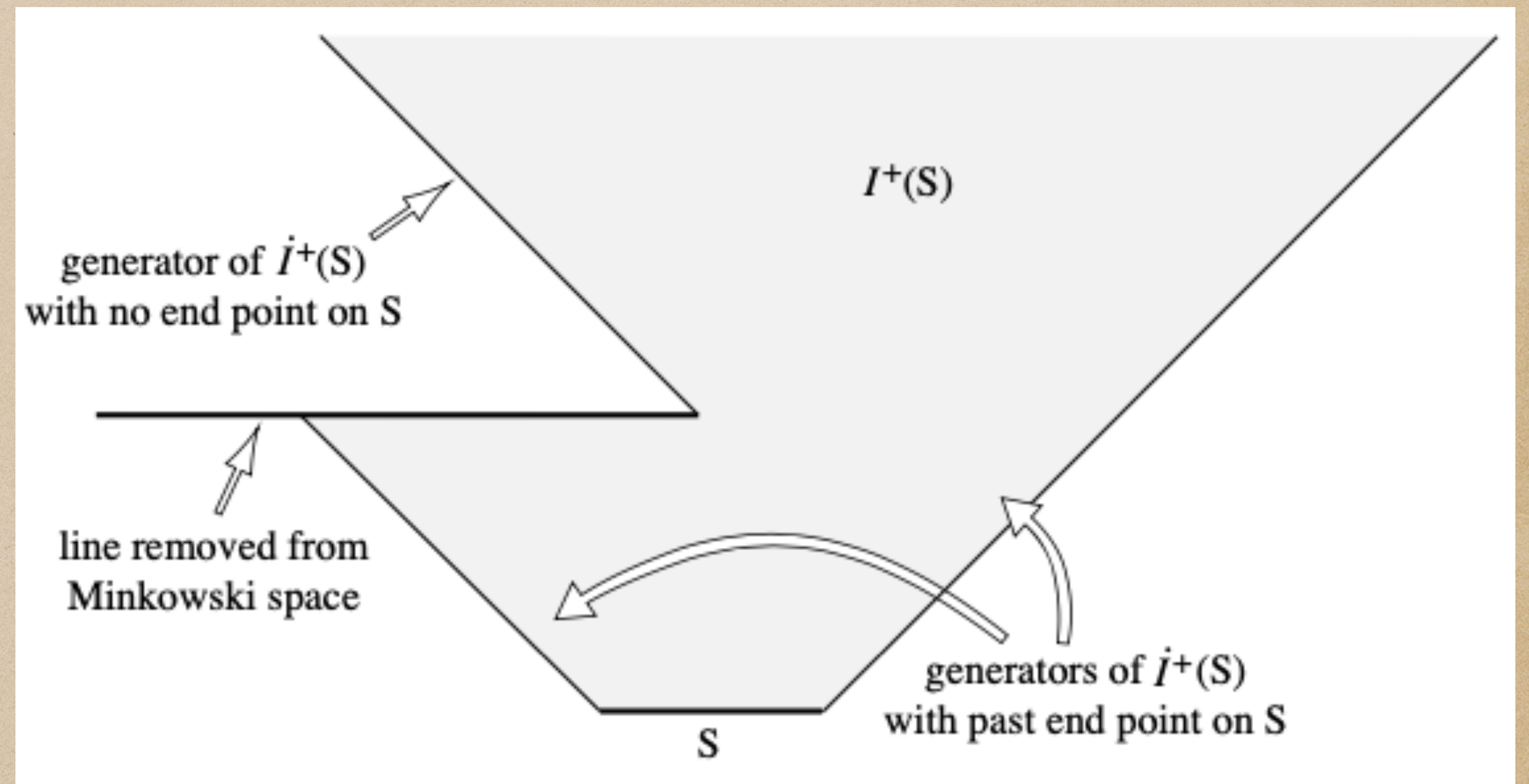
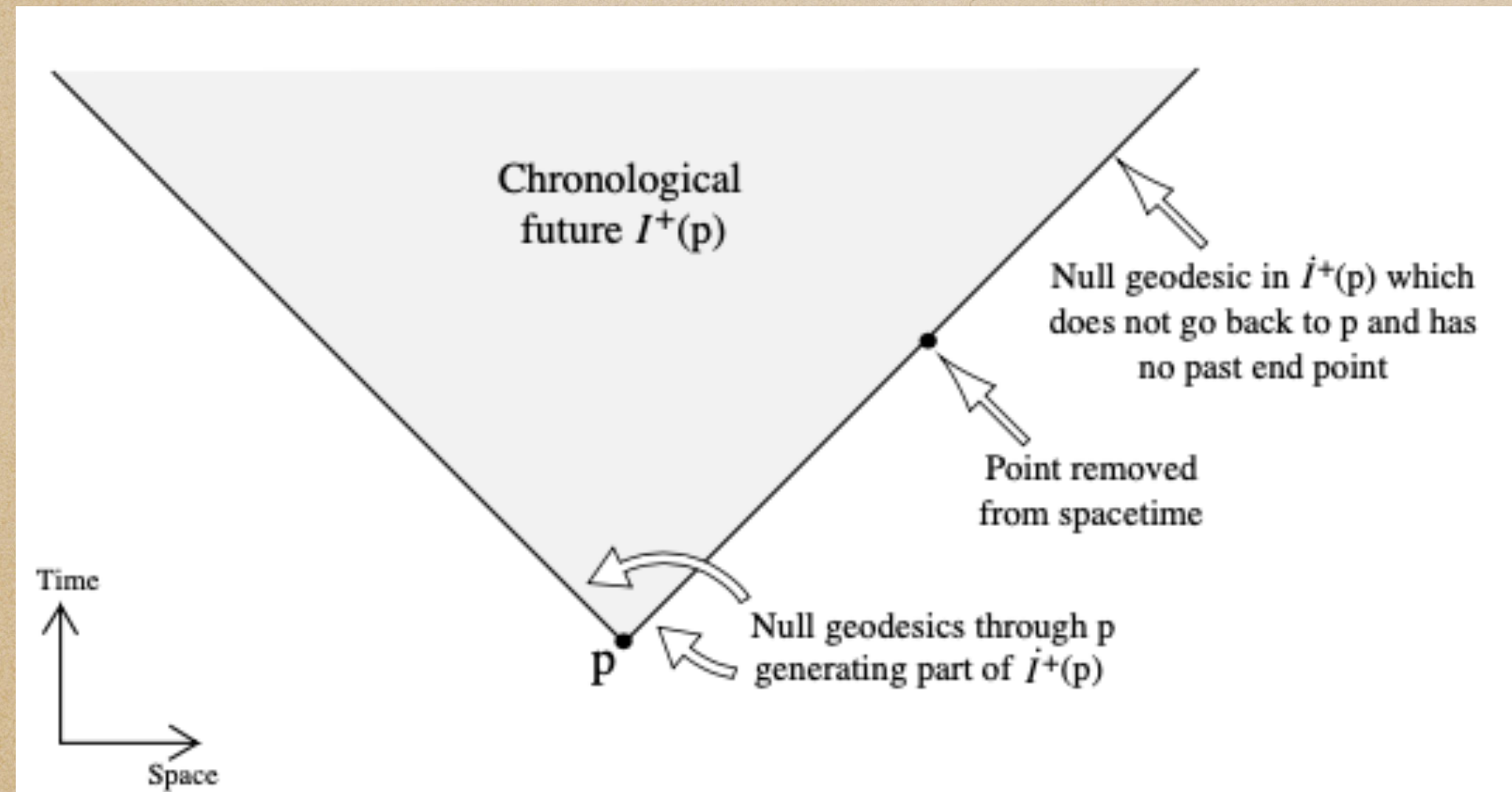
$$0 = \int_{\mathcal{V}} \nabla_\mu J^\mu = \int_{\partial\mathcal{V}} J^\mu n_\mu \equiv \int_{\Sigma_1} J^\mu (n_1)_\mu + \int_{\Sigma_2} J^\mu (-n_2)_\mu = -E_{\Sigma_1} + E_{\Sigma_2}$$

e portanto

$$E_{\Sigma_1} = E_{\Sigma_2}$$

Estrutura Causal

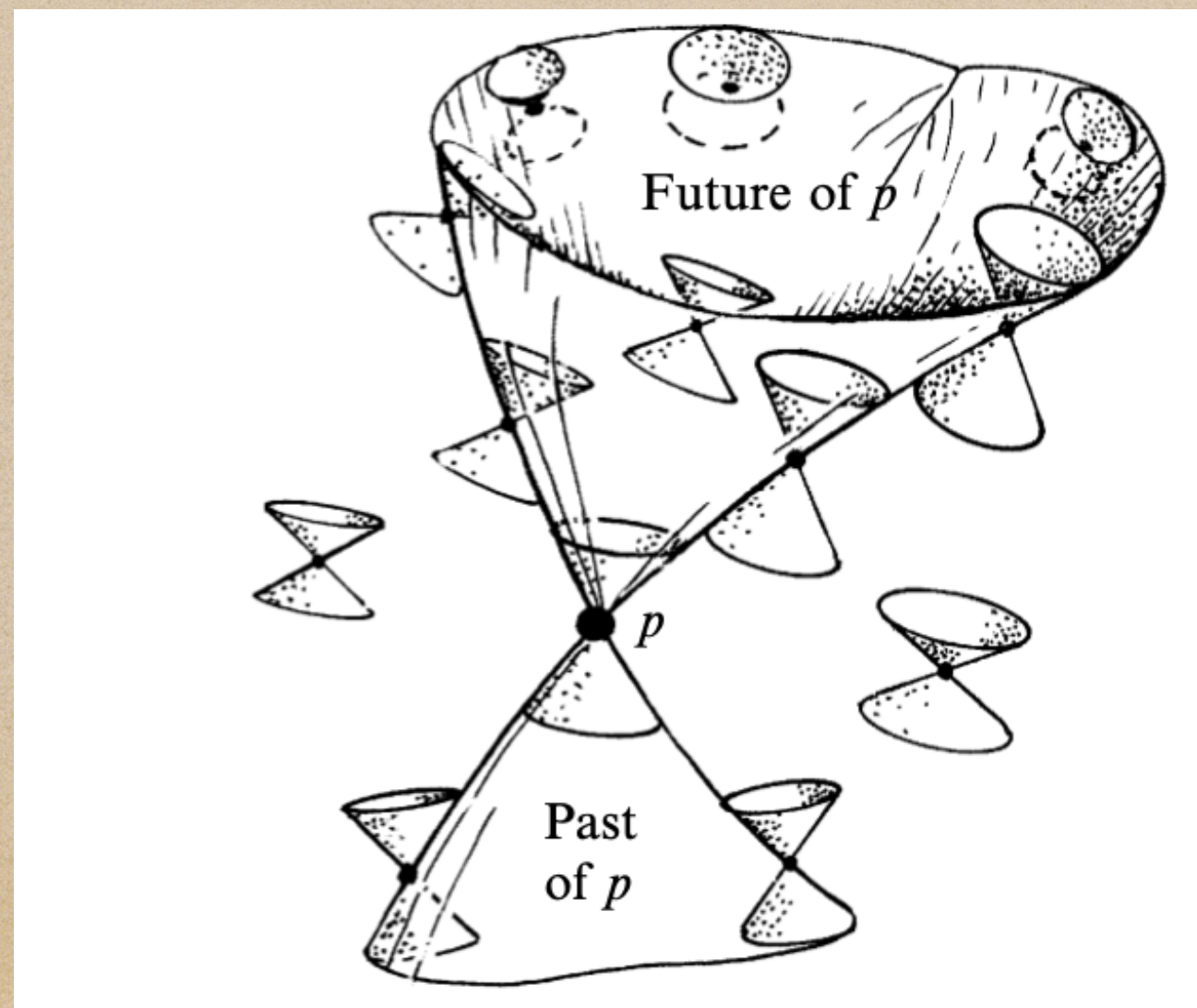
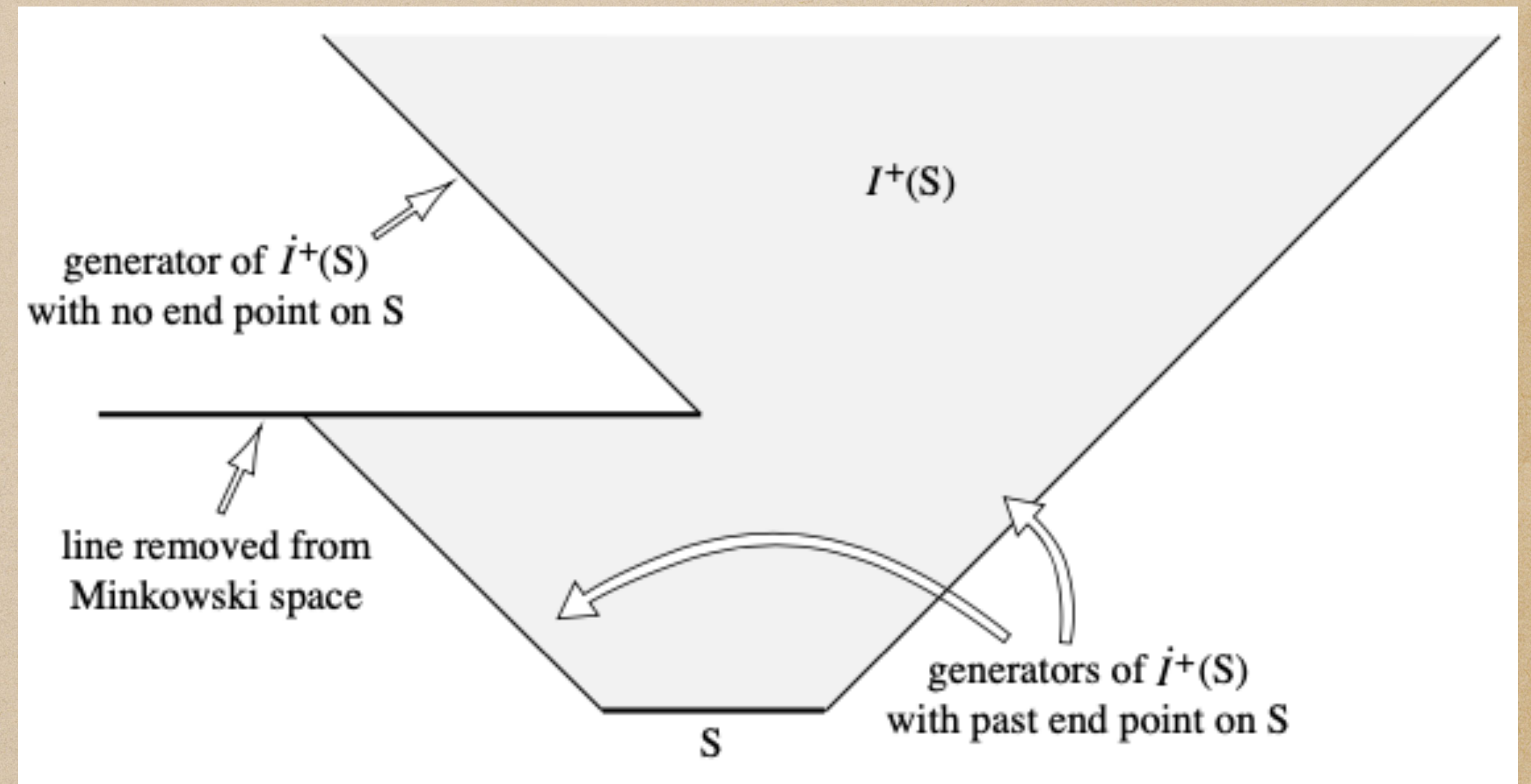
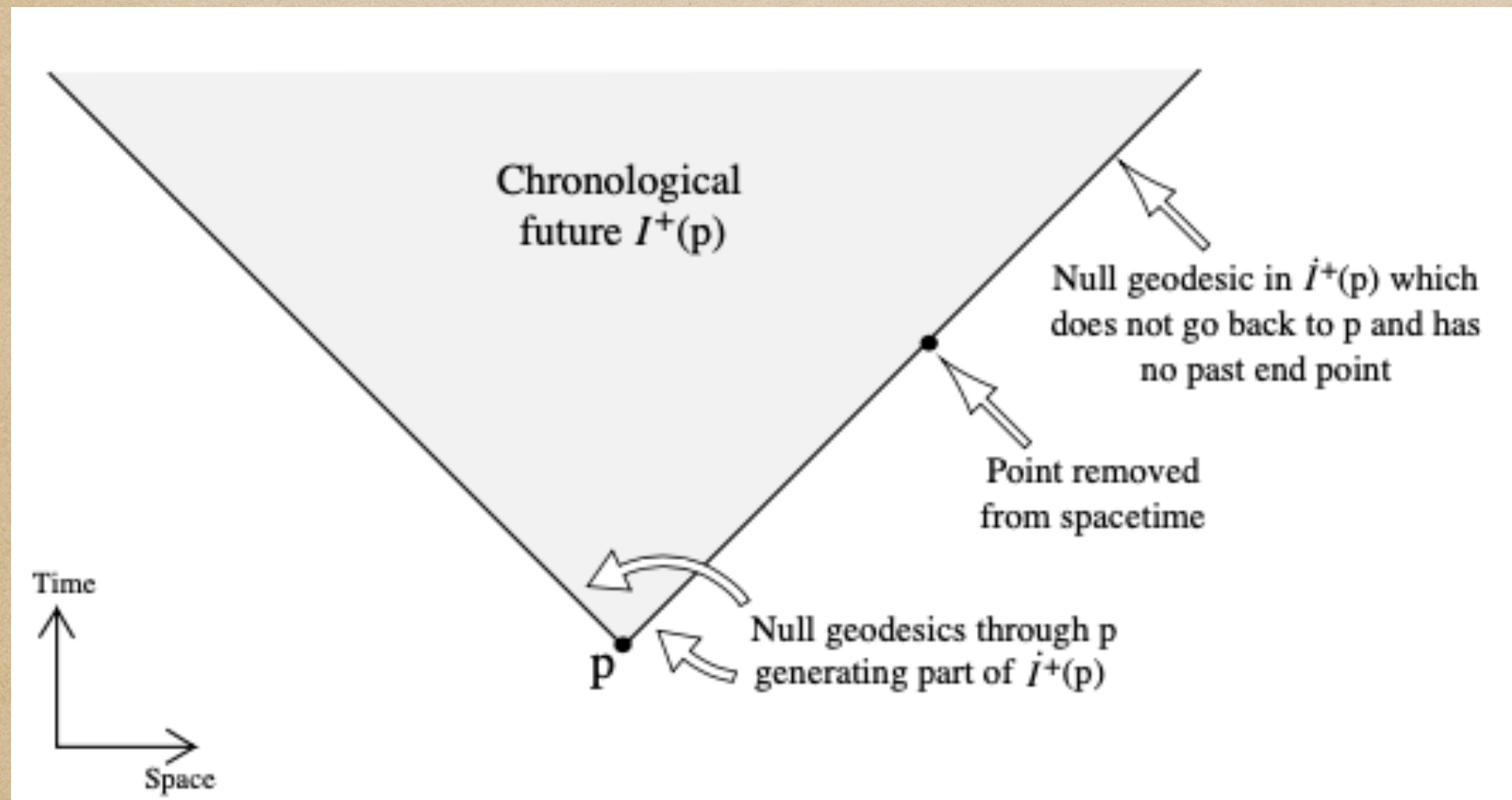
Causalidade—O Futuro Cronológico e Causal:



Futuro causal: Conjunto $J^+(S)$ de eventos q de \mathcal{M} tal que existe uma curva causal (tipo-tempo ou tipo-luz) de algum evento de S até q

Estrutura Causal

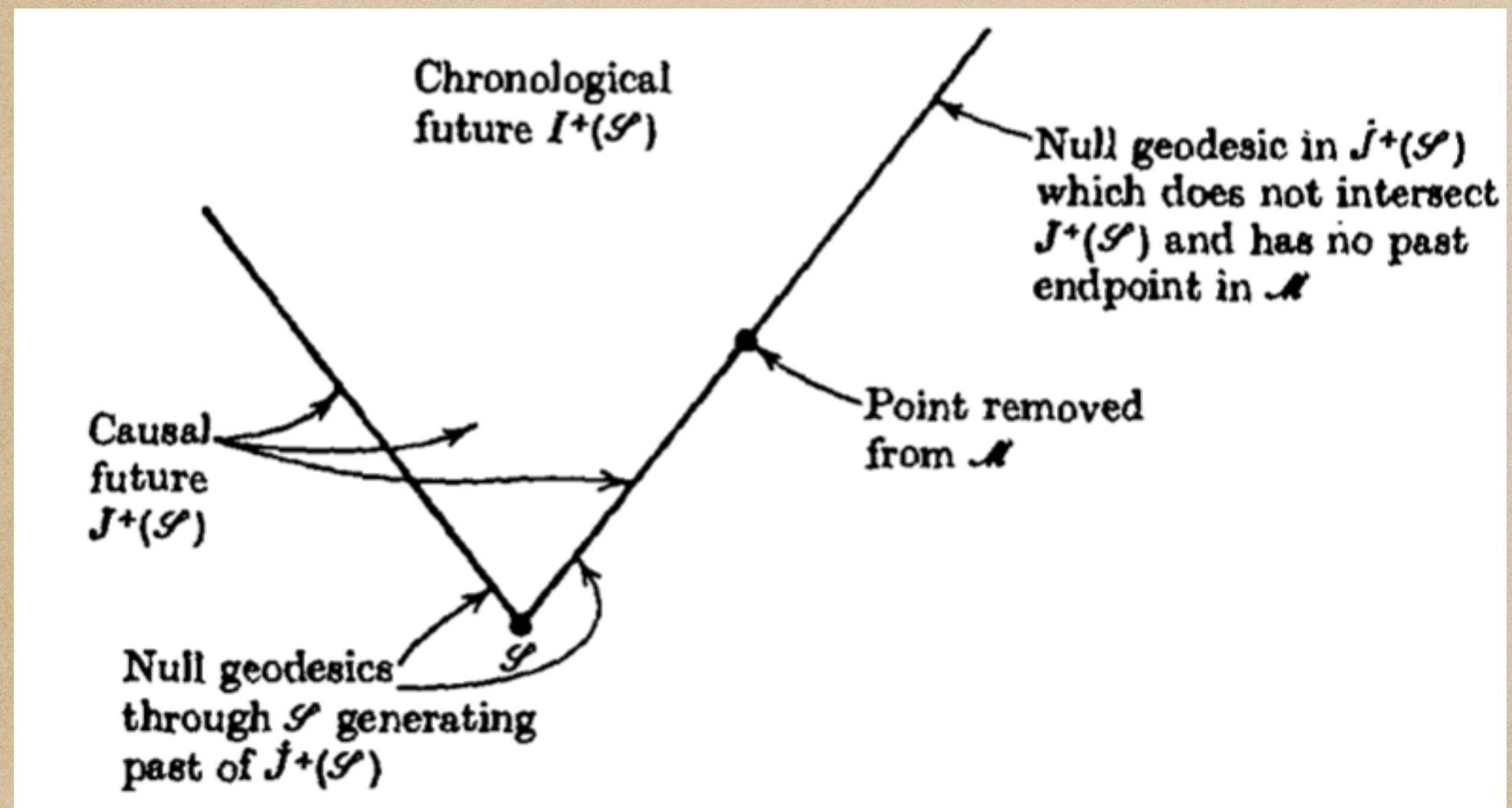
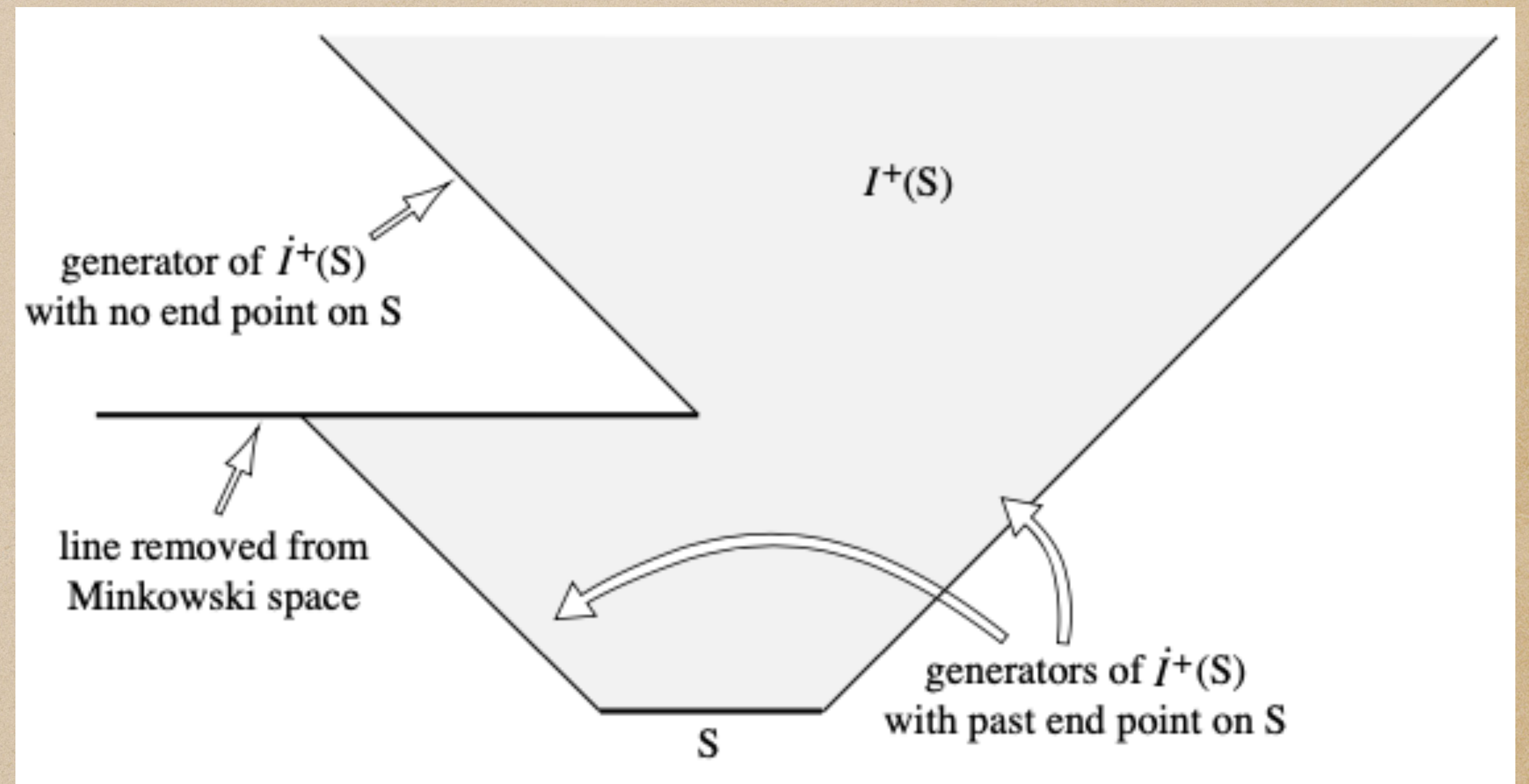
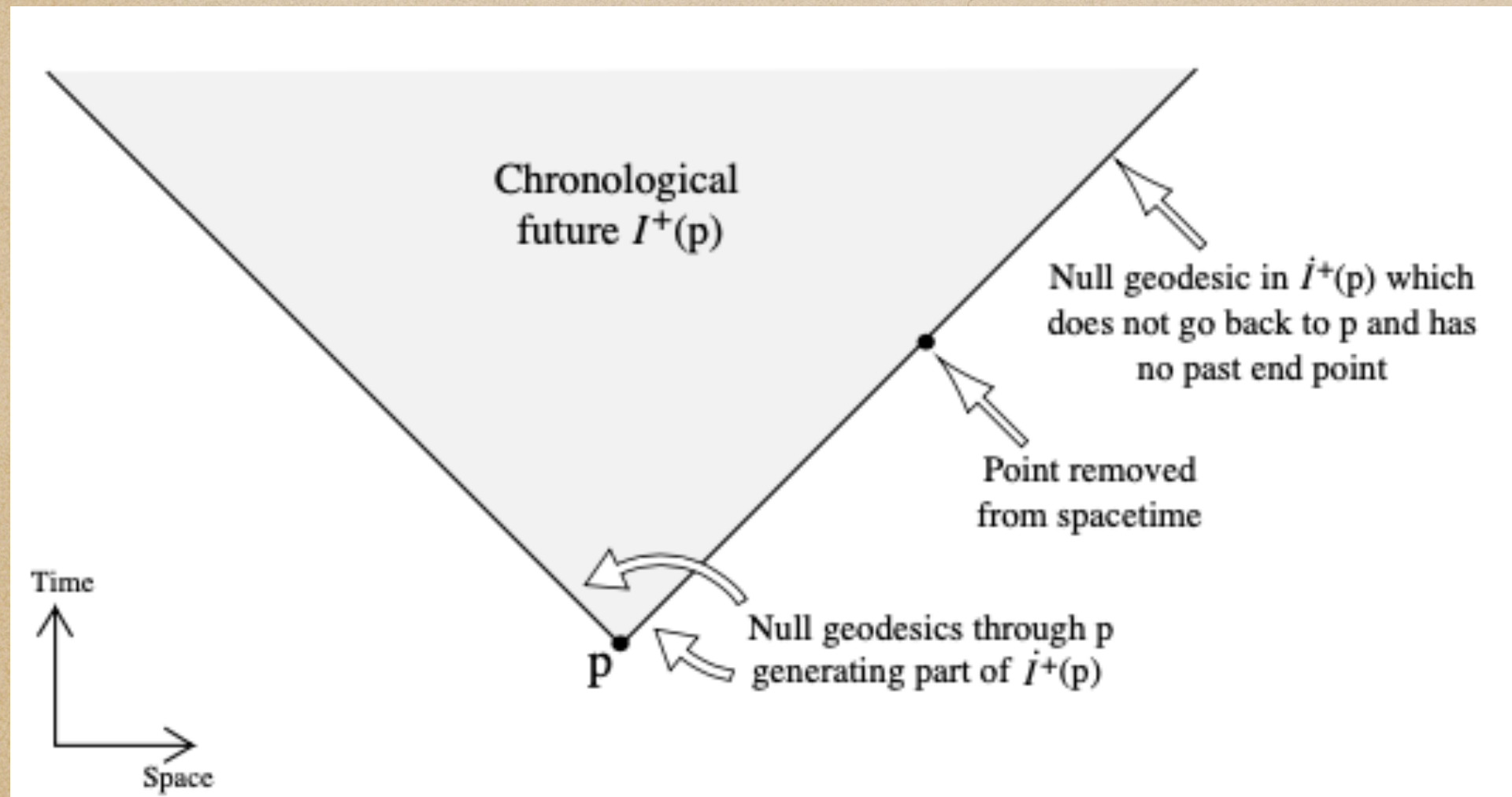
Causalidade—O Futuro Cronológico e Causal:



Futuro cronológico: Conjunto $I^+(S)$ de eventos q de \mathcal{M} tal que existe uma curva tipo-tempo de algum evento de S até q

Estrutura Causal

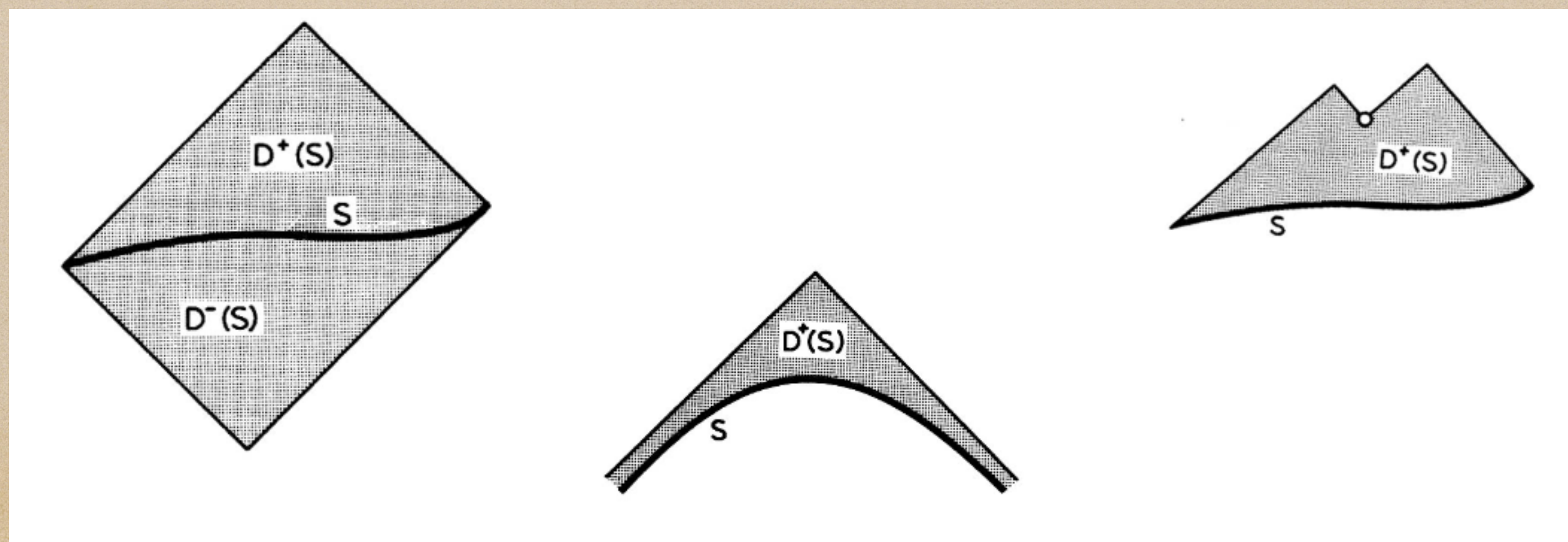
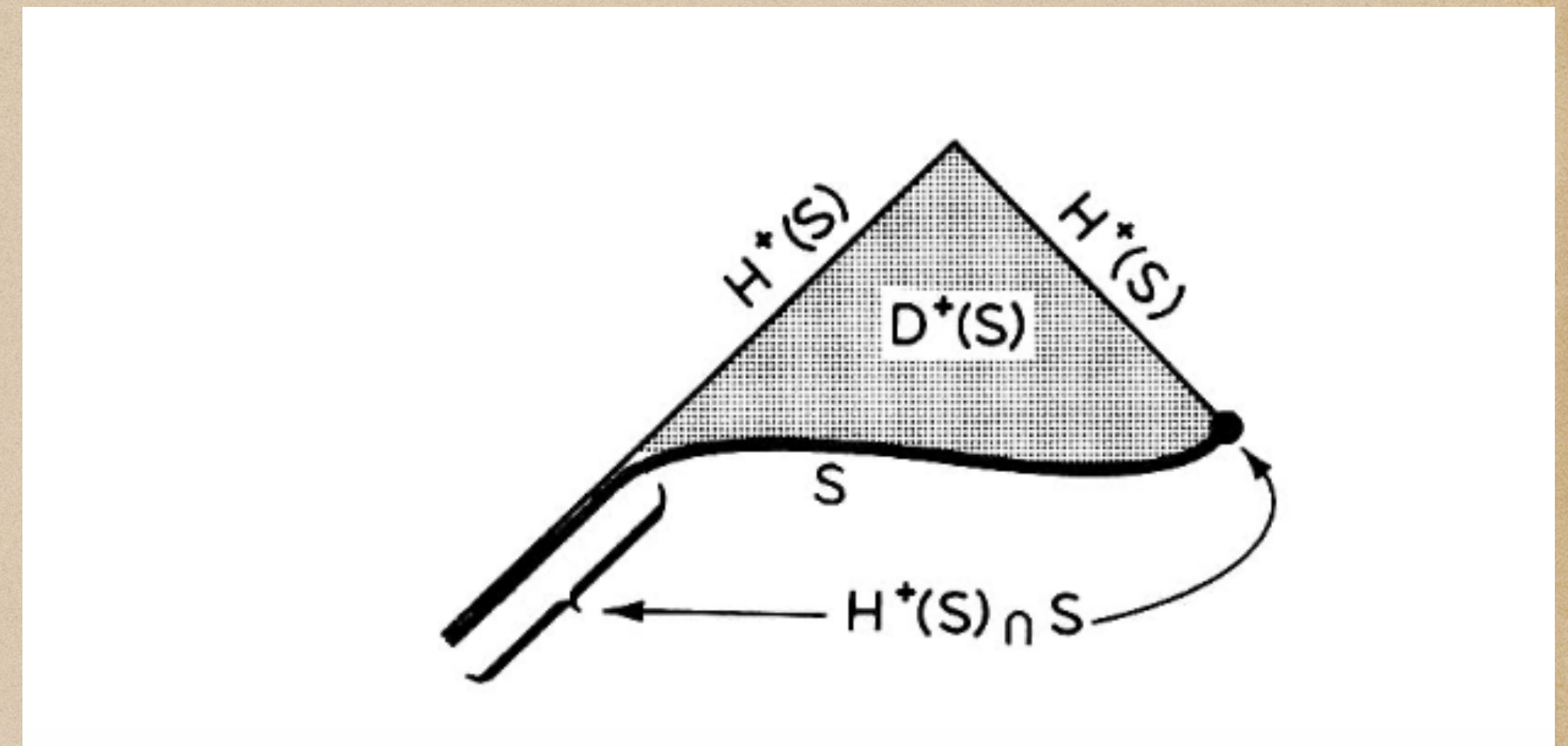
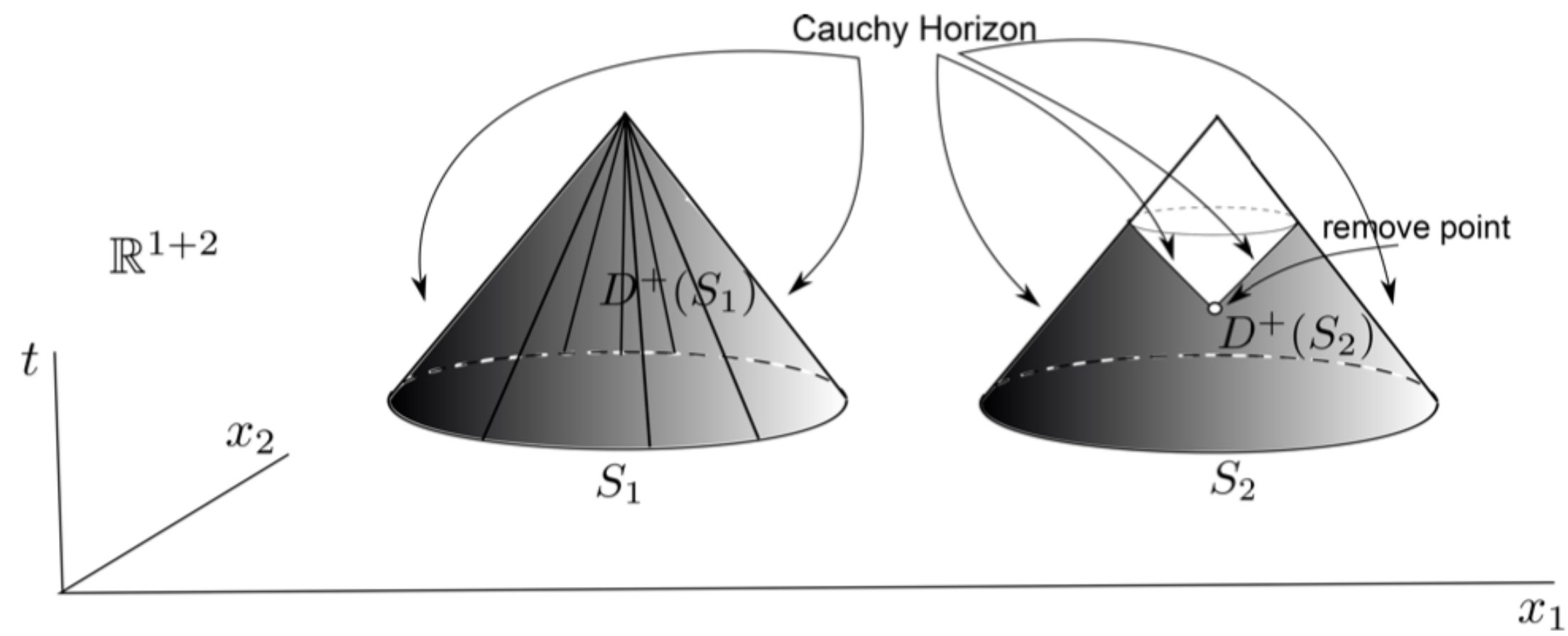
Causalidade—O Futuro Cronológico e Causal:



Fronteiras dos conjuntos futuros: A fronteira $\partial J^+(S) = \partial I^+(S)$ é gerada por geodésicas tipo-luz que ou são inextensíveis para o passado ou têm ponto final em S

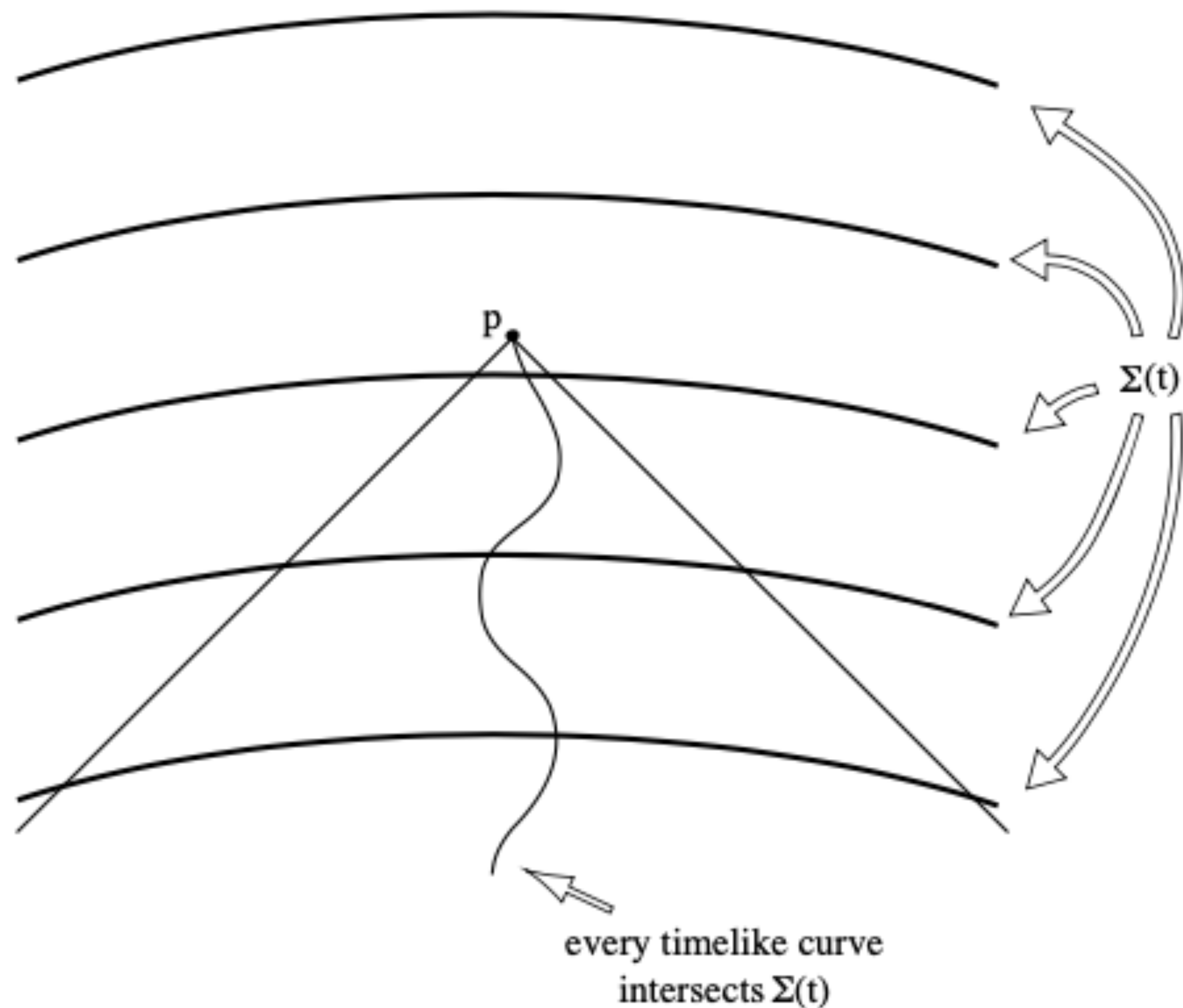
Estrutura Causal

Causalidade—Domínio de Dependência e Superfícies de Cauchy



Estrutura Causal

Causalidade—Domínio de Dependência e Superfícies de Cauchy



Superfície de Cauchy: Hiperfície Σ que satisfaz $D(\Sigma) \equiv D^+(\Sigma) \cup D^-(\Sigma) = \mathcal{M}$.

Um espaço-tempo (\mathcal{M}, g) que admite uma superfície de Cauchy é dito Globalmente Hiperbólico